

Санкт-Петербургский государственный университет

Сорина Полина Олеговна

Выпускная квалификационная работа

Молекулярно-термодинамическое моделирование образования везикул в водно-солевых растворах ионных поверхностно-активных веществ

Уровень образования: *бакалавриат*

Направление: *04.03.01 «Химия»*

Основная образовательная программа: *СВ.5014.2017 «Химия»*

Профиль: «Физико-химический»

Научный руководитель:
профессор кафедры физической
химии, д. х. н., проф. Виктор
Алексей Исмаилович

Рецензент:
доцент кафедры коллоидной
химии, к. х. н. Ванин Александр
Александрович

Санкт-Петербург
2021

Содержание

Введение	3
2. Обзор литературы	5
2.1. Везикулы в растворах ПАВ и их молекулярно-термодинамическое описание	5
2.2. Классическая модель Нагаражана-Рукенштейна	7
2.3. Электростатический вклад в свободную энергию	9
2.4. Агрегативное равновесие и материальный баланс	10
3. Теоретическая часть	14
3.1. Трансмембранный потенциал и электростатический вклад в свободную энергию	14
3.2. Алгоритм моделирования везикул в катионных растворах ПАВ.....	18
4. Обсуждение результатов	22
4.1. Влияние геометрических характеристик везикулы и солевого фона на трансмембранный потенциал	22
4.2. pH внутреннего раствора везикулы и профили электростатического потенциала	27
4.3. Свободная энергия агрегации и распределение везикул по размерам.....	33
Выводы	38
Благодарности	39
Список цитированной литературы	40
Приложения	43
А. Программное обеспечение FORTRAN для расчета агрегативных характеристик водно-солевых растворов смеси двух ПАВ с учетом образования сферических и стержнеобразных мицелл и везикул	43
Б. Программное обеспечение FORTRAN для расчета в приближении НЛПБ электростатических потенциалов и электростатической свободной энергии заряженной диэлектрической капсулы заданной геометрии, находящейся в водно-солевом растворе	128

Введение

Везикулы представляют собой замкнутые бислойные агрегированные структуры, окруженные извне раствором и содержащие раствор в своей внутренней части. Растворы везикул – типичные представители широкого класса систем, называемого мягкой материей. Особенность таких систем – способность откликаться на небольшие внешние воздействия радикальной перестройкой их мезомасштабной структуры, в результате чего может происходить существенное изменение макроскопических свойств системы. Чувствительность к изменениям в среде обуславливает применение таких систем в разработке так называемых «умных материалов» [1,2]. Везикулы образуются в растворах многих классических и природных поверхностно-активных веществ (ПАВ) и блоксополимеров [3,4]. Благодаря своим уникальным свойствам, системы с везикулами широко используются в бытовой химии, косметике и медицине [5]. Помимо везикул, в растворах ПАВ образуются агрегаты и других форм: сферические и червеобразные мицеллы, глобулы, диски, тороидальные агрегаты, плоские бислои и пространственные сетки. При этом определяющее влияние на тип и размер агрегатов оказывает строение и концентрация молекул ПАВ, а также такие факторы, как температура и состав растворителя, в частности, присутствие электролита, и его концентрация, рН раствора.

Большинство везикул имеет вид сферического бислоя. В водных растворах везикул ПАВ гидрофильные вещества могут проникнуть во внутреннюю область везикулы, тогда как гидрофобные молекулы способны проникать в мембрану везикулы, размещаясь среди хвостов ПАВ. Таким образом, везикулы могут выступать в качестве капсул и контейнеров и используются для транспортировки веществ [6].

Исследование и синтез липосом [7], которые представляют собой везикулы, состоящие из амфифильных молекул фосфолипидов, имеет важное значение в биологии. Моделирование везикул, образованных ПАВ более простого строения, может служить как прототип для выявления механизмов процессов, происходящих в амфифильных мембранах, образованных сложными молекулами.

Строгое статистико-механическое рассмотрение агрегации в растворах ПАВ, весьма затруднительно, ввиду сложности этих систем. Поэтому наиболее продуктивным подходом, позволяющим связать молекулярные характеристики ПАВ с агрегативным поведением раствора, являются молекулярно-термодинамические модели [8–10], сочетающие элементы статистико-механического описания с эмпирическими соотношениями.

В настоящее время большое внимание уделяется катионным системам. Их использование позволяет относительно просто управлять мезомасштабной структурой и физико-химическими свойствами раствора путем варьирования соотношения разных ПАВ в растворе, солевого фона и кислотности.

Важнейшей характеристикой везикул и мембран, в особенности катионных, является трансмембранный потенциал - разность электрических потенциалов на внешней и внутренней поверхностях мембраны. Трансмембранный потенциал является движущей силой переноса подвижных ионов через мембрану, поэтому возможность регулировать величину и знак трансмембранного вызывает большой интерес. В связи с этим особенно важной задачей является поиск аналитического выражения для расчета трансмембранного потенциала.

Таким образом, целью данной работы было аналитическое описание электростатической составляющей свободной энергии агрегации и трансмембранного потенциала, исследование поведения трансмембранного потенциала в зависимости от солевого фона раствора и геометрических параметров везикулы, а также разработка алгоритмов и написание программного обеспечения для моделирования образования везикул в катионных растворах ПАВ в присутствии соли с учетом возможности образования агрегатов других форм.

2. Обзор литературы

2.1. Везикулы в растворах ПАВ и их молекулярно-термодинамическое описание

Агрегация молекул ПАВ в везикулы наблюдается как самопроизвольно, так и в результате стимулирующего воздействия, например, под влиянием ультразвука. Образование везикул наблюдается в растворах двухвостых ПАВ, блок-сополимеров, фосфолипидов [3,11]. Форма двухвостых молекул ПАВ является благоприятной для образования искривленного бислоя, что отражается значением фактора упаковки [12], который будет рассматриваться нами в этом разделе. Самопроизвольная агрегация везикул наблюдается в растворах катионных однохвостых ПАВ, где наличие голов противоположных знаков позволяет создать ионную пару. Такая ионная пара имеет строение, аналогичное двухвостому ПАВ, что позволяет им образовывать стабильные везикулы.

Основными экспериментальными методами для обнаружения агрегатов различной морфологии являются криогенная трансмиссионная электронная микроскопия [13], малоугловое рассеяние нейтронов (SANS) [14], а также малоугловое рассеяние рентгеновских лучей (SAXS) [15]. Примерами систем, в которых наблюдаются везикулы, являются водные растворы смеси алкилсульфата натрия (SOS, SDS) с бромидом алкилтриметиламмония (CTAB, DTAB) [16,17], смеси додецилбензолсульфоната натрия (SDBS) с различными алкилтриметиламмониевыми и пиридиниевыми катионными ПАВ (DTAB, СТАТ, СРyCl, DTAC) [18] и смеси поверхностно-активных катионных ионных жидкостей таких, как хлорид 1-додецил-3-метилимидазолия ($C_{12}mimCl$), хлорид 1-гексадецил-3-метилимидазолия ($C_{16}mimCl$), с анионными ПАВ (SDS, SDBS) [19]. Катионные везикулы обнаружены в смесях классического однохвостого с двухвостым ПАВ, например, в смеси SDS с бромидом дидодецилдиметиламмония (DDAB) [20,21].

Важнейший этап в развитии представлений о морфологии агрегированных структур - введение фактора упаковки молекул ПАВ в работах Израелашвили и сотр. [12]. Эта величина (P) представляет собой отношение объема хвоста молекулы ПАВ v к длине максимально растянутого хвоста l_c и оптимальной площади поверхности

a_{opt} , приходящейся на молекулу ПАВ в агрегате: $P = v/a_{opt}l_c$. Величина a_{opt} определяется, как площадь на одну молекулу ПАВ при минимальной свободной энергии мицеллообразования. Для сферических мицелл фактор упаковки равен 1/3, для цилиндрических – 1/2 и для плоских бислоев – 1. Для обратных мицелл $P > 1$. Израелашвили показал, что образование везикул с оптимальным значением площади на молекулу a_{opt} сопровождается упаковкой молекул ПАВ в усеченный конус; в таком случае фактор упаковки $1/2 < P < 1$. Это накладывает ограничения на минимальный (критический) радиус везикулы. При сильном искривлении поверхности сферического бислоя для сохранения благоприятного значения фактора упаковки необходимо увеличивать толщину внешнего слоя, которая не может быть больше значения l_c . Таким образом, Израелашвили получено приближенное значение для критического внешнего радиуса везикулы (ур. 1):

$$R_c \approx \frac{l_c}{1-v/a_{opt}l_c} \quad (1)$$

В настоящее время имеется хорошо разработанный аппарат феноменологической термодинамики для описания агрегации в растворах ПАВ [22]. Предсказывать образование агрегатов в растворах ПАВ, исходя из молекулярных параметров амфифилов, позволяют молекулярно-термодинамические модели. Наиболее известными являются модели Нагаражана и Рункенштейна [9], Бланкшайна и сотр. [10], Нинхэма и сотр. [8,23]. Согласно этим теориям, существует несколько вкладов в свободную энергию образования мицелл, каждый из которых можно описать своим набором формул. Более подробно эти вклады будут рассмотрены в разделе 2.2. Каждая из упомянутых моделей содержит целый ряд приближений, поэтому для увеличения предсказательной способности моделей необходимо их усовершенствование. В частности, требуется более детальный подход к решению электростатической задачи, классическое описание которой приводится в разделе 2.3.

Поиск минимума свободной энергии мицеллообразования, которая вычисляется согласно выбранной модели, позволяет найти энергетически стабильные агрегаты.

2.2. Классическая модель Нагаражана-Рукенштейна

Нами рассматриваются катионные везикулы, состоящие из ПАВ вида А и В. Расчет свободной энергии агрегации подразумевает использование геометрических характеристик, таких как объем агрегата и площадь поверхности гидрофобно-гидрофильной границы. Их определение при моделировании смешанных везикул означает нахождение следующих оптимальных параметров: внутреннего радиуса везикулы R , толщин внешнего и внутреннего слоев τ_{out} и τ_{in} , составов внешнего и внутреннего слоев $\alpha_{out} = \frac{N_{A out}}{N_{A out} + N_{B out}}$ и $\alpha_{in} = \frac{N_{A in}}{N_{A in} + N_{B in}}$, где $N_{A out}$ и $N_{A in}$ – число молекул ПАВ вида А во внешнем и внутреннем слоях, $N_{B out}$ и $N_{B in}$ – число молекул ПАВ вида В во внешнем и внутреннем слоях везикулы соответственно.

Согласно модели Нагаражана-Рукенштейна [9], свободную энергию мицеллообразования можно представить как сумму нескольких вкладов (ур. 2):

$$g = g_{tr} + g_{int} + g_{rep} + g_{def} + g_{ion} + g_{mix} \quad (2),$$

где g_{tr} – гидрофобный вклад, g_{int} – вклад поверхностного натяжения межфазной границы, g_{rep} – стерический вклад отталкивания голов ПАВ, g_{def} – деформационный вклад, g_{ion} – электростатический вклад, который учитывается в случае наличия ионных ПАВ, g_{mix} – вклад смешения, он присутствует, если в системе находится смесь нескольких ПАВ.

Гидрофобный вклад является основной движущей силой агрегации молекул ПАВ в растворе. Это связано с плохой растворимостью углеводородных хвостов в воде и их стремлением избежать соприкосновения с ней. Для каждой группы CH_3 -, CH_2 -, CH -, согласно модели, существует своя эмпирическая формула для расчета данного вклада в зависимости от температуры [9]. Гидрофобный вклад, приходящийся на одну молекулу ПАВ, рассчитывается исходя из количества каждой из групп в углеводородном хвосте данной молекулы.

Вклад, отвечающий за поверхностное натяжение границы «углеводород – вода», определяется приходящейся на одну молекулу ПАВ площадью поверхности гидрофобно-гидрофильной границы, и площадью экранирования полярной головой

ПАВ углеводородного хвоста от контакта с водой. Та часть поверхности, которая остается неэкранированной, и определяет величину данного вклада (ур. 3).

$$g_{int} = \sigma_{S-W}(a - a_0) \quad (3),$$

где σ_{S-W} – межфазное натяжение границы углеводород-вода, a – площадь поверхности, приходящаяся на одну молекулу ПАВ, a_0 – площадь экранирования межфазной границы головой ПАВ.

Вклад стерического отталкивания голов ПАВ отражает взаимодействия исключенного объема между головами ПАВ, находящимися, согласно классическим моделям, на фиксированном расстоянии относительно гидрофобно-гидрофильной границы. Обычно этот вклад оценивается на основе того или иного двумерного уравнения состояния [9] и определяется отношением молекулярной площади сечения головы ПАВ (a_p) к площади поверхности, которая приходится на одну молекулу ПАВ в слое (a). В модели Нагаражана-Рукенштейна используется двумерное уравнение состояния Ван-дер-Ваальса (ур. 4):

$$g_{rep} = -\ln\left(1 - \frac{a_p}{a}\right) \quad (4)$$

Деформационный вклад зависит от того, насколько сильно растянут углеводородный хвост в данном слое везикулы. Для расчета энергии деформации используется теория Семенова для блоксополимеров [24], исходя из которой данный вклад имеет квадратичную зависимость от толщины слоя везикулы, в котором находится рассматриваемая молекула ПАВ, а численное значение коэффициента определяется геометрией агрегата [9].

Вклад смещения хвостов ПАВ в ядре оценивается с помощью теории Флори-Хаггинса. В классическом варианте модели параметры Флори выражены через параметры растворимости Гильдебранда, величины которых известны для широкого круга веществ [25].

При рассмотрении везикул стоит обратить внимание на то, что они имеют форму сферического бислоя, а значит, имеют два слоя (внутренний и внешний). Таким образом, при расчете свободной энергии образования везикулы на одну

молекулу ПАВ необходимо использовать параметры, которые учитывают относительные вклады слоев в величину свободной энергии: $\chi_{out} = \frac{N_{out}}{N_{out}+N_{in}}$ и $\chi_{in} = \frac{N_{in}}{N_{out}+N_{in}}$, где N_{out} и N_{in} – число молекул ПАВ во внешнем и внутреннем слоях везикулы соответственно. В таком случае свободная энергия агрегации примет следующий вид (ур. 5):

$$g = \chi_{out}g_{out} + \chi_{in}g_{in} \quad (5),$$

где g_{out} и g_{in} – свободные энергии агрегации внешнего и внутреннего слоев соответственно.

Вычисление электростатического вклада, обусловленного тем, что головы ПАВ заряжены, рассматривается нами в следующем разделе 2.3.

2.3. Электростатический вклад в свободную энергию

Расчет электростатического вклада в свободную энергию ведется согласно теории Гуи-Чапмена, в которой учитывается возникновение двойного электрического слоя вблизи заряженной поверхности. Для расчета электростатического потенциала используют нелинеаризованное уравнение Пуассона-Больцмана (НЛПБ, ур. 6):

$$\vec{\nabla}(-\varepsilon\vec{\nabla}\varphi) = \sum_i C_i^{bulk} z_i e_0 e^{-\frac{z_i \varphi e_0}{k_B T}} \quad (6),$$

где φ – значение потенциала в данной точке пространства, ε – диэлектрическая проницаемость среды, e_0 – элементарный заряд, C_i^{bulk} – концентрация иона сорта i при бесконечном отдалении от заряженной поверхности, z_i – зарядовое число иона сорта i , k_B – константа Больцмана, T – температура.

Для расчета электростатического вклада в свободную энергию необходимо провести интегрирование потенциала по величине поверхностного заряда мицеллы q_{mic} . Такое интегрирование по физическому смыслу представляет собой процесс заряжения поверхности агрегата от нуля до значения q_{mic} (ур. 7):

$$G_{ion} = \int_0^{q_{mic}} \varphi dq \quad (7)$$

Стоит отметить, что уравнение НЛПБ не имеет аналитического решения для сферической симметрии, поэтому для вычисления электростатической энергии везикулы применяют численные методы или используют линеаризованное уравнение Пуассона-Больцмана (ЛПБ, ур. 8) при условии небольших значений потенциалов $|\varphi| \ll \frac{k_B T}{e}$.

$$\frac{d^2 \varphi(r)}{dr^2} + \frac{2}{r} \frac{d\varphi(r)}{dr} - \varphi(r) = 0 \quad (8)$$

В большинстве работ используется приближение электронейтральности внутренней части везикулы. Для вычисления электростатического вклада в свободную энергию Нагаражан [9] использует приближенное решение уравнения Пуассона-Больцмана для плоской геометрии с добавлением фактора кривизны в случае рассмотрения везикул и других искривленных морфологий. Винтерхальтер [26] для расчета электростатической энергии использует теорию ЛПБ и разложение по кривизне.

В работах Бланкштайна [27] и Брашера [17] рассматривался общий случай возможной регуляции заряда внутри и снаружи везикулы в рамках теории НЛПБ. Электростатический вклад в свободную энергию рассчитывался путем численного решения интегрального уравнения. Однако в данных работах авторы не вводили понятие трансмембранного потенциала и не рассматривали его поведение в различных условиях. Поэтому в настоящем исследовании этим задачам будет уделено особое внимание.

2.4. Агрегативное равновесие и материальный баланс

Для учета нахождения в системе везикул разного размера необходимо построение сложных вычислительных алгоритмов, что затрудняет поиск решения данной задачи, поэтому чаще всего используется приближение о монодисперсности везикул [9,10].

Нагаражан [9] рассматривал зависимость числа агрегации везикулы от ее состава для системы, состоящей из катионного и анионного ПАВ. Бланкштайн [10]

так же с учетом агрегативного равновесия исследовал зависимость концентрации везикулы от ее состава и числа агрегации. Однако в данных работах не была изучена возможность сосуществования везикул разного размера при заданной брутто-концентрации ПАВ. Для везикул постановка такой задачи наиболее актуальна, поскольку для них характерна большая полидисперсность.

Для определения стабильных агрегатов, помимо нахождения минимума свободной энергии агрегации, необходимо учитывать энтропийный фактор. Это требует рассмотрения равновесия между мицеллой и мономерными неагрегированными ПАВ. Химический потенциал мицеллы, образованной из N_A молекул ПАВ вида А и N_B молекул ПАВ вида В, можно записать следующим образом (ур. 9):

$$\mu_N = N_A \mu_{1A} + N_B \mu_{1B} \quad (9),$$

где μ_N – химический потенциал мицеллы, состоящей из $N = N_A + N_B$ молекул ПАВ, μ_{1A} и μ_{1B} – химические потенциалы мономеров ПАВ вида А и В соответственно.

Для разбавленного раствора химический потенциал компонента системы имеет вид (ур. 10):

$$\mu = \mu^* + kT \ln X \quad (10),$$

где μ^* – стандартный химический потенциал компонента, X – мольная доля компонента в растворе.

Используя (ур. 10) для химических потенциалов μ_N , μ_{1A} и μ_{1B} совместно с (ур. 9), получаем (ур. 11):

$$X_N = X_{1A}^{N_A} \cdot X_{1B}^{N_B} \cdot e^{-N \cdot \Delta \mu_N^*} \quad (11),$$

где X_N – мольная доля мицеллы с числом агрегации N , X_{1A} – мольная доля мономеров ПАВ вида А, X_{1B} – мольная доля мономеров ПАВ вида В, $\Delta \mu_N^* = \frac{\mu_N^* - N_A \mu_{1A}^* - N_B \mu_{1B}^*}{N}$ – стандартная свободная энергия мицеллообразования.

Как видно из данной формулы (ур. 11), увеличение числа агрегации вызывает заметное снижение равновесной концентрации X_N , а уменьшение $\Delta\mu_N^*$ способствует ее росту.

Обозначим исходные брутто-концентрации ПАВ вида А и В: $X_{tot A}$ и $X_{tot B}$. Общая брутто-концентрация ПАВ является их суммой: $X_{tot} = X_{tot A} + X_{tot B}$. Также введем величину концентрации X_1 для мономеров неагрегированных ПАВ как сумму концентраций мономеров ПАВ вида А и В: $X_1 = X_{1A} + X_{1B}$.

Зная исходную концентрацию каждого вида ПАВ в растворе, можно записать уравнение материального баланса в общем виде (ур. 12):

$$X_{tot A} + X_{tot B} = X_{1A} + X_{1B} + \sum_m \sum_{N_m} N_m \cdot X_{N_m} \quad (12)$$

Данное выражение отражает тот факт, что ПАВ в растворе находится либо в мономерной форме, либо в составе агрегата. Расчет агрегированного количества ПАВ подразумевает суммирование по агрегатам всех форм (m) и размеров (N_m). При этом каждое значение X_{N_m} удовлетворяет агрегативному равновесию (ур. 11). Процесс решения системы из $m \cdot N_m$ уравнений (ур. 11) и уравнения (ур. 12) является сложной вычислительной задачей, которой посвящена значительная часть настоящей работы.

Таким образом, в данной работе были поставлены следующие задачи:

- решение уравнения ЛПБ для везикулы с учетом возможного нарушения электронейтральности её внутренней части, получение аналитического выражения для электростатической энергии образования везикулы;
- получение аналитического решения для трансмембранного потенциала в приближении ЛПБ и анализ его поведения при изменении параметров системы: солёности раствора, диэлектрической проницаемости мембраны, радиуса, толщины и составов слоев везикулы, молекулярных параметров ПАВ; сопоставление полученных данных с результатами численного решения НЛПБ;
- разработка программного обеспечения для молекулярно-термодинамического моделирования свободной энергии мицеллообразования везикул;

- разработка алгоритмов и написание программного обеспечения для моделирования агрегативного равновесия в растворе смешанных ПАВ с учетом уравнений материального баланса;

- установление образования стабильных везикул и прогнозирование их структурных характеристик и равновесного распределения по составу и размерам в зависимости от концентрации ПАВ и солевого фона;

- проведение расчетов с помощью разработанного программного обеспечения с целью апробации модели для смесей классических ПАВ ($C_{16}TAB+SOS$, $DTAB+SDS$, $C_{16}mimCl+SDBS$) и сопоставление с имеющимися экспериментальными данными [4,16,19].

3. Теоретическая часть

3.1. Трансмембранный потенциал и электростатический вклад в свободную энергию

В данной работе мы рассматриваем образование катионных везикул, поверхностные слои которых в большинстве наблюдаемых случаев заряжены слабо. По этой причине становится целесообразным использование теории ЛПБ для описания электростатических взаимодействий.

Схематичное двумерное изображение везикулы представлено на рис. 1.

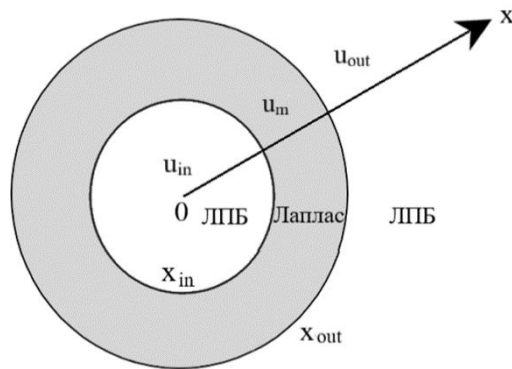


Рис. 1. Двумерное изображение везикулы с указанием внешнего, мембранного и внутреннего потенциалов, а также областей действия уравнений ЛПБ и Лапласа.

Для удобства введем безразмерные величины потенциала $u(x) = \frac{e_0 \varphi(r)}{k_B T}$, координаты $x = \kappa \cdot r$ и поверхностной плотности заряда $t = \frac{q e_0}{a \kappa \epsilon_0 k_B T}$, где κ - обратная длина Дебая.

Для получения выражений для внешнего u_{out} и внутреннего u_{in} потенциалов воспользуемся решением ЛПБ для сферической геометрии с константами А и В (ур. 13):

$$u(x) = \frac{A e^{-x}}{x} + \frac{B e^x}{x} \quad (13)$$

В силу отсутствия подвижных зарядов внутри углеводородного слоя, мембранный потенциал u_m подчиняется уравнению Лапласа (ур. 14):

$$\frac{d}{dx} \left(x^2 \frac{du_m}{dx} \right) = 0 \quad (14)$$

Интегрирование выражения (ур. 14) приводит к (ур. 15):

$$\frac{du_m}{dx} = \frac{1}{x^2} \frac{x_{in} x_{out}}{x_{in} - x_{out}} \Delta_m \quad (15),$$

где $\Delta_m = u_m(x_{in}) - u_m(x_{out})$ – трансмембранный потенциал, x_{out} – координата поверхности внешнего слоя, x_{in} – координата поверхности внутреннего слоя.

Согласно закону Гаусса, скачки напряженности на внешней и внутренней заряженных поверхностях везикулы (ур. 16, 17) пропорциональны соответствующим поверхностным плотностям заряда t_{out} и t_{in} :

$$\varepsilon_m \left(\frac{du_m}{dx} \right)_{x=x_{out}} - \varepsilon_w \left(\frac{du_{out}}{dx} \right)_{x=x_{out}} = t_{out} \quad (16)$$

$$\varepsilon_w \left(\frac{du_{in}}{dx} \right)_{x=x_{in}} - \varepsilon_m \left(\frac{du_m}{dx} \right)_{x=x_{in}} = t_{in} \quad (17),$$

где ε_m – диэлектрическая проницаемость углеводородного слоя мембраны, 2.1, ε_w – диэлектрическая проницаемость воды, 78.2.

Подставляя (ур. 15) в уравнения (ур. 16) и (ур. 17), получаем граничные условия (ур. 18, 19), записанные через эффективные поверхностные зарядовые плотности t_{out}^{eff} и t_{in}^{eff} :

$$\left(\frac{du_{out}}{dx} \right)_{x=x_{out}+0} = -t_{out}^{eff}(\Delta_m) \quad (18)$$

$$\left(\frac{du_{in}}{dx} \right)_{x=x_{in}-0} = t_{in}^{eff}(\Delta_m) \quad (19)$$

При этом выражения для эффективных поверхностных плотностей заряда имеют следующий вид (ур. 20, 21):

$$t_{out}^{eff}(\Delta_m) = \frac{t_{out}}{\varepsilon_w} - \frac{\varepsilon_m}{\varepsilon_w} \frac{x_{in}}{x_{out}} \frac{\Delta_m}{(x_{in} - x_{out})} \quad (20)$$

$$t_{in}^{eff}(\Delta_m) = \frac{t_{in}}{\varepsilon_w} + \frac{\varepsilon_m}{\varepsilon_w} \frac{x_{out}}{x_{in}} \frac{\Delta_m}{(x_{in} - x_{out})} \quad (21)$$

Для дальнейших преобразований необходимо использование следующих граничных условий: при бесконечном отдалении от везикулы и в ее центре производные потенциалов обращаются в ноль (ур. 22, 23):

$$\left. \frac{du_{out}}{dx} \right|_{x=\infty} = 0 \quad (22)$$

$$\left. \frac{du_{in}}{dx} \right|_{x=0} = 0 \quad (23)$$

Решение ЛПБ (ур. 13) для внешнего и внутреннего потенциалов везикулы с учетом (ур. 18, 19, 22, 23) приводит к следующим выражением (ур. 24, 25):

$$u_{out}(x) = t_{out}^{eff}(\Delta_m) \frac{x_{out}^2}{1 + x_{out}} \frac{e^{(x_{out}-x)}}{x} \quad (24)$$

$$u_{in}(x) = t_{in}^{eff}(\Delta_m) \frac{x_{in}^2}{[x_{in} \cosh(x_{in}) - \sinh(x_{in})]} \frac{\sinh(x)}{x} \quad (25)$$

Из уравнений (ур. 24) и (ур. 25) следует, что потенциалы имеют линейную зависимость от трансмембранного потенциала, который, в свою очередь, зависит от значений потенциалов на заряженных поверхностях. Благодаря этому, нахождение трансмембранного потенциала сводится к подстановке выражений (ур. 24, 25) для $u_{in}(x_{in})$ и $u_{out}(x_{out})$ в определение Δ_m с учетом непрерывности потенциалов на границах заряженных поверхностей: $u_m(x_{in}) = u_{in}(x_{in})$, $u_m(x_{out}) = u_{out}(x_{out})$.

Полученное аналитическое выражение для трансмембранного потенциала (ур. 26) содержит зависимость от поверхностных плотностей заряда, внешнего и внутреннего радиуса везикулы, диэлектрической проницаемости:

$$\Delta_m = \frac{t_{in} \frac{x_{in}}{x_{in} \cosh(x_{in}) - 1} - t_{out} \frac{x_{out}}{1 + x_{out}}}{\varepsilon_w - \frac{\varepsilon_m}{(x_{in} - x_{out})} \left[\frac{x_{out}}{x_{in} \cosh(x_{in}) - 1} + \frac{x_{in}}{1 + x_{out}} \right]} \quad (26)$$

Зависимость трансмембранного потенциала от солевого фона и кислотности водного раствора отражается его зависимостью от обратной длины Дебая [м^{-1}] (ур. 27):

$$\kappa = \sqrt{\frac{4\pi}{k_B T} e_0^2 N_A 1000 \sum C_i^{bulk} z_i^2} \quad (27),$$

где N_A – число Авогадро, C_i^{bulk} указывается в [моль/л].

Разложение уравнения (ур. 26) по кривизне дает следующее выражение (ур. 28):

$$\Delta_m = \frac{t_{in} - t_{out}}{\varepsilon_w + 2\varepsilon_m \tau^{-1}} + \frac{t_{in} + t_{out}}{\varepsilon_w + 2\varepsilon_m \tau^{-1}} \frac{1}{R} + O\left(\frac{1}{R^2}\right) \quad (28),$$

где R – внутренний радиус везикулы, τ – толщина мембраны.

Используя уравнение (ур. 28) для везикулы бесконечного радиуса, получаем выражение для трансмембранного потенциала асимметрично заряженного плоского бислоя (ур. 29):

$$\Delta_m^{plane} = \frac{t_{in} - t_{out}}{\varepsilon_w + 2\varepsilon_m \tau^{-1}} \quad (29)$$

Поскольку в рамках теории ЛПБ электростатический потенциал является линейной функцией поверхностных плотностей заряда слоев мембраны, наиболее простым способом получения электростатической свободной энергии везикулы является расчет работы заряджения ее поверхностей [28] (SI), что дает следующее выражение (ур. 30):

$$g_{el} = \chi_{out} \frac{\kappa a_{out}}{8\pi l_B} t_{out} u_{out}(x_{out}) + \chi_{in} \frac{\kappa a_{in}}{8\pi l_B} t_{in} u_{in}(x_{in}) \quad (30),$$

где a_{out} и a_{in} – средние площади на одну молекулу ПАВ внешней и внутренней поверхности гидрофобно-гидрофильной границы соответственно, $l_B = \frac{e_0^2}{4\pi\epsilon_w\epsilon_0 k_B T}$ – длина Бьеррума.

Выражение (ур. 30) учитывает поляризацию диэлектрической мембраны в электрическом поле [28] (SI). При этом для углеводородных мембран в везикулах вклад поляризации в общую электростатическую энергию невелик. Так, например, для везикулы CTAB+SOS с параметрами $R = 5l_{C(SOS)}$, $\alpha_{in} = 0.6$, $\alpha_{out} = 0.7$, $\tau_{in} = \tau_{out} = 0.6 l_{C(SOS)}$, $C_{salt} = 100$ мМ, где $l_{C(SOS)}$ – длина максимально растянутого хвоста SOS, вклад поляризации мембраны составляет лишь сотую долю процента от общей электростатической свободной энергии ($g_{el} = 7.3 \cdot 10^{-1}$).

3.2. Алгоритм моделирования везикул в катионных растворах ПАВ

Как и в разделе 2.4, рассмотрим раствор двух ПАВ, одно из которых катионное (А), другое – анионное (В). Предполагаем, что в растворе присутствуют монодисперсные сферические мицеллы, полидисперсные стержнеобразные мицеллы и полидисперсные везикулы. Уравнение материального баланса (ур. 12) записывается следующим образом (ур. 31):

$$X_{tot A} + X_{tot B} = X_{1A} + X_{1B} + N_{sph} X_{N_{sph}} + \sum N_{cyl} N_{cyl} X_{N_{cyl}} + \sum N_{ves} N_{ves} X_{N_{ves}} \quad (31)$$

Поиск решения уравнения (ур. 31) требует составления сложного вычислительного алгоритма, поскольку для разных соотношений X_{1A} и X_{1B} необходим отдельный расчет свободных энергий агрегаций мицелл и их концентраций. Чтобы облегчить задачу, будем задавать долю мономерного ПАВ А $\alpha_{A1} = \frac{X_{1A}}{X_1}$. Соответственно, для ПАВ В $\alpha_{B1} = \frac{X_{1B}}{X_1} = 1 - \alpha_{A1}$. При заданной мономерной доле решение уравнения (ур. 31) сводится к одномерному поиску суммарной мольной доли мономеров: $X_1 = X_{1A} + X_{1B}$.

В данной работе использовался следующий алгоритм (рис. 2).

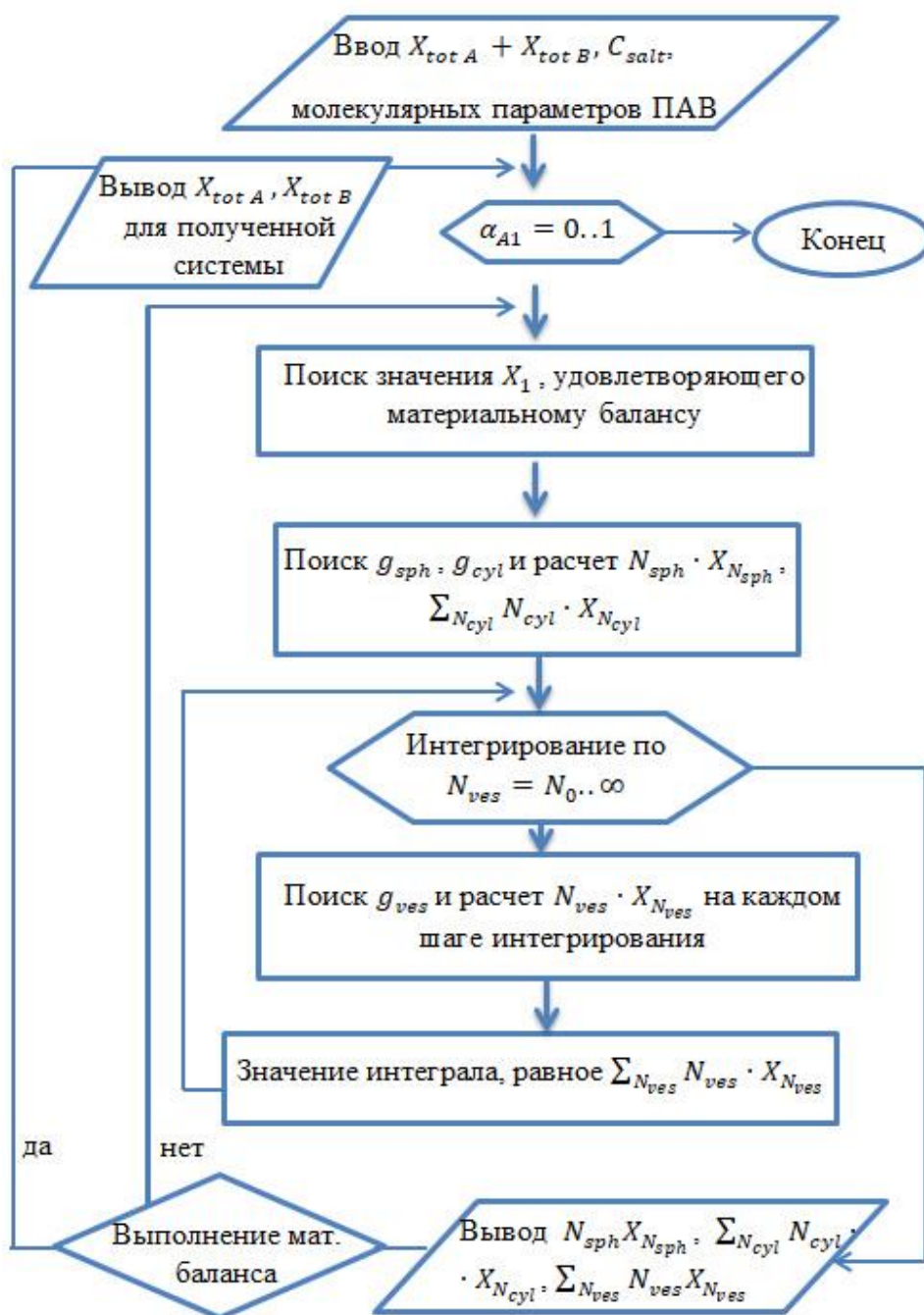


Рис. 2. Вычислительный алгоритм программы для поиска стабильных агрегатов и их концентрации с учетом материального баланса.

Входными параметрами для выполнения расчетов являются общая брутто-концентрация ПАВ $X_{tot A} + X_{tot B}$, концентрация фоновое 1:1-электролита C_{salt} и молекулярные параметры обоих ПАВ: число углеродов n_c в алкильном углеводородном хвосте и площадь поперечного сечения головы a_p .

На первом этапе расчетов задается некоторое значение α_{A1} в диапазоне значений от 0 до 1 и методом дихотомии ведется одномерный поиск величины X_1 , которая будет соответствовать выполнению уравнения материального баланса (ур. 31) с заданной точностью. Для того чтобы проверить выполнение материального баланса, необходимо рассчитать концентрации всех агрегатов в системе согласно агрегативному равновесию (ур. 11).

Для сферических мицелл происходит поиск такого значения свободной энергии мицеллообразования сфер g_{sph} , которое соответствует максимальной концентрации $X_{N_{sph}}$ согласно (ур. 11). Нахождение g_{sph} происходит при варьировании радиуса сферы и ее состава методом золотого сечения.

Расчет распределения концентраций стержнеобразных мицелл $\sum_{N_{cyl}} N_{cyl} X_{N_{cyl}}$ ведется согласно аналитической формуле [29]. Сначала идет поиск оптимального радиуса и состава, соответствующих бесконечному цилиндру, затем рассчитывается оптимальный размер и состав сферического окончания цилиндра. С использованием найденных оптимальных значений радиусов и составов проводится аналитическое суммирование всей популяции цилиндров от минимального до бесконечно большого значения числа агрегации. Указанное суммирование сводится к нахождению суммы геометрической прогрессии [29].

Для полидисперсной популяции везикул молярные доли агрегированного ПАВ $\sum_{N_{ves}} N_{ves} X_{N_{ves}}$ определяется численным интегрированием по числу агрегации везикулы N_{ves} от некоторого начального значения N_0 до бесконечности (ур. 32):

$$\sum_{N_{ves}} N_{ves} X_{N_{ves}} \cong \int_{N_0}^{\infty} N_{ves} X_{N_{ves}} dN_{ves} \quad (32)$$

Интегрирование проводили методом трапеций.

Алгоритм расчета свободной энергии агрегации g_{ves} следующий: для заданного на текущем шаге интегрирования внутреннего радиуса везикулы R происходит поиск оптимальной свободной энергии по остальным параметрам агрегата. Составы внешнего и внутреннего слоев везикулы α_{out} и α_{in} перебираются в некотором диапазоне значений. При заданных значениях составов свободная энергия

g_{ves} , соответствующая максимальной концентрации везикул, определяется с помощью симплекс метода относительно варьирования общей толщины углеводородного слоя $\tau = \tau_{out} + \tau_{in}$ при постоянстве соотношения толщин слоев τ_{in}/τ_{out} . Оптимальные значения α_{out} , α_{in} выбираются путем сравнения концентраций везикул для каждой комбинации составов.

После расчета оптимальной g_{ves} радиусу R ставится в соответствие N_{ves} и вычисляется $N_{ves} \cdot X_{N_{ves}}$ согласно (ур. 11).

После определения концентрации агрегированных ПАВ проверяется выполнение уравнения материального баланса. Если равенство (ур. 31) не подтверждается, алгоритм присваивает новое значение X_1 согласно методу дихотомии. Если условие выполняется, то полученные данные сохраняются, и происходит переход к следующему значению α_{A1} . В результате расчетов для каждого значения α_{A1} выводятся индивидуальные брутто-концентрации ПАВ $X_{tot A}$ и $X_{tot B}$, характеристики агрегатов, их распределение по размерам и оптимальные значения свободной энергии агрегации. В программе также предусмотрен расчет критической концентрации мицеллообразования (ККМ): вычисления проводятся исходя из равенства количества агрегированного и неагрегированного ПАВ.

Описанный алгоритм реализован в программном обеспечении, написанном на языке FORTRAN (Приложение А).

4. Обсуждение результатов

4.1. Влияние геометрических характеристик везикулы и солевого фона на трансмембранный потенциал

Для иллюстрации поведения трансмембранного потенциала рассмотрим модельную систему, состоящую из симметричных катионного и анионного ПАВ, где количество углеродов в хвосте $n_{C1} = n_{C2} = 8$, площадь поперечного сечения головы $a_{p1} = a_{p2} = 17 \text{ \AA}^2$. Данное значение a_p выбрано равным величине для алкилсульфатов [9]. Толщины слоев везикулы и внутренний радиус будем выражать в единицах максимально растянутого углеводородного хвоста l_C . Зависимости для трансмембранного потенциала, рассчитанные по (ур. 26) теории ЛПБ, сопоставляются с данными, полученными в результате численного решения НЛПБ.

Рассмотрим везикулу, в обоих слоях которой преобладают катионные ПАВ: $\alpha_{in} = 0.52$, $\alpha_{out} = 0.56$, толщины слоев одинаковы $\tau_{in} = \tau_{out} = 0.6 l_C$. Зависимость трансмембранного потенциала от радиуса везикулы при различном солевом фоне раствора проиллюстрирована на рис. 3.

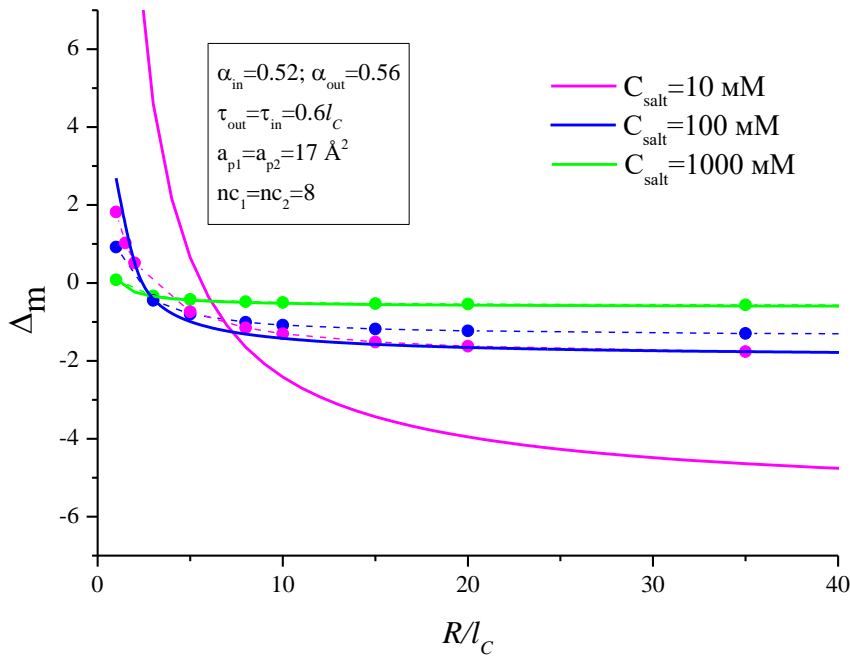


Рис. 3. Зависимость трансмембранного потенциала от внутреннего радиуса везикулы для системы C_8+C_8 с $a_{p1} = a_{p2} = 17 \text{ \AA}^2$ в растворе, содержащем 1000 мМ, 100 мМ, и 10 мМ соли. Сплошные линии: ЛПБ, пунктир + символы: НЛПБ.

Для небольших рассматриваемых на рис. 3 везикул трансмембранный потенциал положителен, так как потенциал на внутренней стороне мембраны больше, чем на внешней, несмотря на то, что в данном случае внешний слой заряжен несколько сильнее ($\alpha_{out} > \alpha_{in}$). Сильно искривленная внутренняя поверхность мембраны является причиной небольшого значения площади поверхности a_{in} , приходящейся на одну молекулу ПАВ, и, как следствие, увеличения поверхностной плотности заряда t_{in} , что, согласно (ур. 25) вызывает значительное повышение потенциала u_{in} . Увеличение радиуса везикулы уменьшает кривизну мембраны: площадь поверхности на молекулу увеличивается на ее внутренней стороне и уменьшается на ее внешней стороне. Плотности поверхностного заряда и изменяются противоположным образом, что приводит к уменьшению u_{in} и увеличению u_{out} . В результате трансмембранный потенциал уменьшается, проходя через ноль с увеличением размера везикулы. Изменение знака трансмембранного потенциала означает изменение тенденции везикулы накапливать подвижные катионы и анионы в своей внутренней части. В пределе больших радиусов трансмембранный потенциал приближается к значению для плоского бислоя (ур. 29).

Как видно из рис. 3, теории ЛПБ и НЛПБ дают одинаковые результаты при больших значениях солености. Наибольшее расхождение наблюдается при низкой соли (10 мМ), поскольку слабое экранирование электростатических взаимодействий способствует росту абсолютных значений потенциалов u_{in} и u_{out} , которые оказываются больше величины $\frac{k_B T}{e}$, что приводит к нарушению условия применимости теории ЛПБ.

На рис. 4 представлена зависимость трансмембранного потенциала от солености раствора при постоянном значении радиуса $R = 2l_c$ в случаях, когда внешний слой мембраны заряжен сильнее внутреннего: 1) $\alpha_{in} = 0.52$, $\alpha_{out} = 0.56$, 2) $\alpha_{in} = 0.52$, $\alpha_{out} = 0.58$. Толщины слоев прежние: $\tau_{in} = \tau_{out} = 0.6 l_c$.

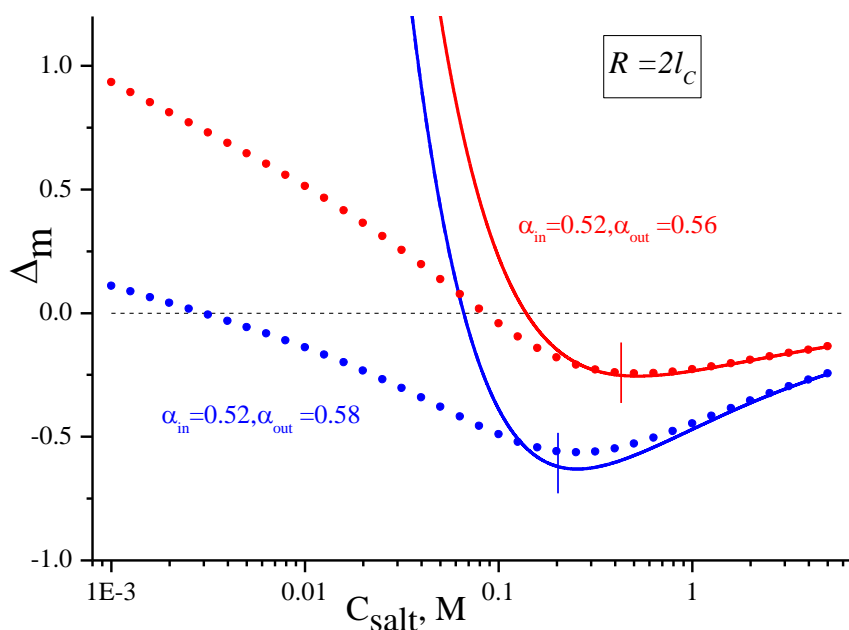


Рис. 4. Зависимость трансмембранного потенциала от солености раствора при постоянном значении радиуса $R = 2l_c$ и толщин $\tau_{in} = \tau_{out} = 0.6 l_c$. Рассмотрены два случая: 1) $\alpha_{in} = 0.52, \alpha_{out} = 0.56$ – красный цвет, 2) $\alpha_{in} = 0.52, \alpha_{out} = 0.58$ – синий цвет. Сплошными линиями обозначены данные, полученные по теории ЛПБ, кружками – НЛПБ. Вертикальные засечки соответствуют положениям экстремумов, согласно формулам (ур. 33, 34).

Как показано на рис. 4, знак трансмембранного потенциала можно изменить путем добавления соли в раствор. Особый интерес вызывает нетривиальное поведение трансмембранного потенциала, имеющего минимум при определенной солености. При добавлении соли потенциалы u_{in} и u_{out} уменьшаются, но с разной скоростью. При низкой концентрации соли внутренний потенциал более чувствителен к изменению солености, чем внешний потенциал, при высокой концентрации соли - наоборот. При определенной солености скорости изменения внутреннего и внешнего потенциалов совпадают, что дает минимум трансмембранного потенциала.

Физическое обоснование такого поведения трансмембранного потенциала заключается в стремлении к выравниванию осмотического давления подвижных ионов в растворе и приведении внутренней части везикулы к электронейтральности. При маленькой солености раствора C_{salt} заряженные слои везикулы слабо

экранированы, поэтому скачок электростатического потенциала между внутренней частью везикулы и объемом раствора велик, что приводит к обильному накоплению противоионов внутри везикулы при увеличении солености. При определенном значении солевого фона внутренняя часть везикулы станет электронейтральной, а трансмембранный потенциал – равным нулю. Однако даже при данной солености скачок потенциала может оставаться достаточно большим для того, чтобы продолжать накапливать ионы во внутреннем растворе везикулы при дальнейшем увеличении C_{salt} , при этом заряд внутренней части везикулы поменяет знак.

По мере накопления подвижных ионов поверхностный потенциал уменьшается и становится более экранированным, всё быстрее падая к центру везикулы. С увеличением солености во внутреннем растворе перенос противоионов будет всё меньше, а коионов – всё больше. В конце концов электрический потенциал в центре везикулы упадет до нуля, и локальная концентрация подвижных ионов достигнет объемного значения. При определенном значении солевого фона везикула содержит внутри максимальный накопленный заряд, который соответствует экстремуму трансмембранного потенциала; дальнейшее увеличение концентрации соли во внешнем растворе ведет к уменьшению накопленного везикулой избыточного мобильного заряда, возвращая внутреннюю (а следовательно, и внешнюю) часть везикулы к электронейтральности.

Поскольку экстремум наблюдается при значениях длины Дебая $\kappa^{-1} \rightarrow 0$, оценить положение минимума можно с помощью разложения (ур. 25) по κ^{-1} . Для этого вернемся к размерным величинам поверхностной плотности заряда σ , внутреннему R и внешнему радиусу везикулы R_{out} . В результате разложения получим следующие выражения для трансмембранного потенциала и обратной длины Дебая [28] (ур. 33, 34):

$$\Delta_m \approx \left[(\sigma_{in} - \sigma_{out}) \kappa^{-1} + \left(\frac{\sigma_{in}}{R} + \frac{\sigma_{out}}{R_{out}} \right) \kappa^{-2} \right] \frac{e_0}{\varepsilon_0 k T} \quad (33)$$

$$\kappa \approx \frac{\sigma_{in}}{\sigma_{out} - \sigma_{in}} \frac{2}{R} + \frac{\sigma_{out}}{\sigma_{out} - \sigma_{in}} \frac{2}{R_{out}} \quad (34)$$

Эти уравнения применимы в равной степени как для определения минимумов трансмембранного потенциала положительно заряженных везикул, так и для определения максимумов везикул с отрицательно заряженными мембранами.

На рис. 5 представлена зависимость трансмембранного потенциала от солености внешнего раствора для отрицательно заряженных везикул при разных значениях толщины мембраны: $\tau_{in} = \tau_{out} = 0.4 l_c$, $\tau_{in} = \tau_{out} = 0.6 l_c$, $\tau_{in} = \tau_{out} = 0.8 l_c$. В одном случае внешняя поверхность мембраны заряжена сильнее внутренней $\alpha_{in} = 0.44$, $\alpha_{out} = 0.48$, во втором – наоборот, $\alpha_{in} = 0.48$, $\alpha_{out} = 0.44$.

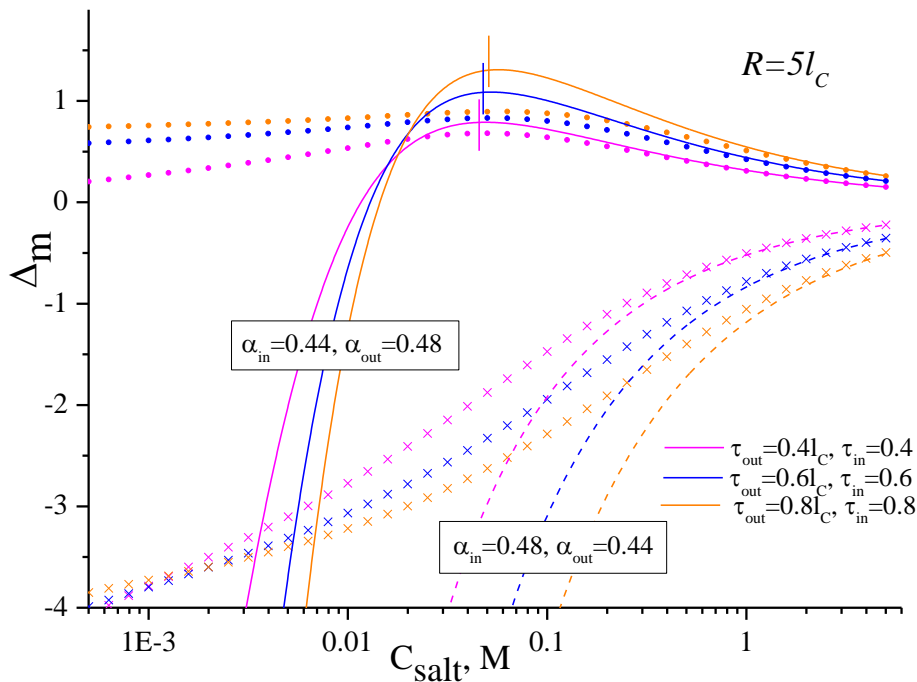


Рис. 5. Зависимость трансмембранного потенциала от солености внешнего раствора при постоянном значении радиуса $R = 5l_c$ и при разных значениях толщины мембраны: $\tau_{in} = \tau_{out} = 0.4 l_c$ (розовый цвет), $\tau_{in} = \tau_{out} = 0.6 l_c$ (синий цвет), $\tau_{in} = \tau_{out} = 0.8 l_c$ (желтый цвет). Рассмотрены два случая: 1) $\alpha_{in} = 0.44$, $\alpha_{out} = 0.48$ – сплошные линии для ЛПБ, 2) $\alpha_{in} = 0.48$, $\alpha_{out} = 0.44$ – пунктирные линии для ЛПБ. Символами обозначается НЛПБ. Вертикальные засечки соответствуют положениям экстремумов, согласно формулам (ур. 33, 34).

Уравнение (ур. 34) показывает, что не существует экстремума, при котором внутренняя поверхность мембраны заряжена сильнее, чем внешняя поверхность $|\sigma_{in}| > |\sigma_{out}|$, поскольку k является положительной величиной. Это подтверждается

результатами, представленными на рис. 5: в случае, когда $|\sigma_{in}| > |\sigma_{out}|$, в зависимости трансмембранного потенциала от солености не наблюдается наличие экстремума. Для везикул, имеющих более сильную заряженную внешнюю поверхность, местоположение экстремума смещается в сторону большей солености по мере приближения $|\sigma_{out}|$ к $|\sigma_{in}|$. Согласно рис. 4 и рис. 5, положения экстремумов в теории ЛПБ и теории НЛПБ хорошо согласуются друг с другом.

Одновременное увеличение толщин слоев мембраны при постоянном внутреннем радиусе везикулы (рис. 5) приводит к увеличению поверхностной плотности заряда обоих слоев. Абсолютное значение трансмембранного потенциала увеличивается как для везикул с более заряженной внутренней поверхностью, так и для везикул с более заряженной внешней. Для везикул с составами $\alpha_{in} = 0.48$, $\alpha_{out} = 0.44$ это отражается постепенным сдвигом пунктирных кривых вниз от $\tau_{in} = \tau_{out} = 0.4 l_c$ к $\tau_{in} = \tau_{out} = 0.8 l_c$. Для случая $\alpha_{in} = 0.44$, $\alpha_{out} = 0.48$ увеличение значения трансмембранного потенциала проявляется сдвигом кривых вниз при низкой солености, где Δ_m отрицателен, и сдвигом вверх кривых с положительным значением Δ_m при высокой солености.

4.2. pH внутреннего раствора везикулы и профили электростатического потенциала

Поскольку в везикуле с небольшим радиусом электрическое поле не обращается в ноль в центре ее внутренней части, она предпочтительно накапливает либо катионы, либо анионы, в зависимости от заряда внутренней поверхности мембраны. Рассмотрим везикулу в водном растворе, содержащем HCl, NaOH и NaCl. Принимая во внимание диссоциацию молекул воды, воспользуемся выражением $K_w = [H^+][OH^-] = 10^{-14}$. Локальную концентрацию ионов внутри везикулы считаем согласно распределению Больцмана $C_{\pm}(x) = C_{\pm}^{bulk} \exp(\mp u(x))$, где C_{\pm}^{bulk} – концентрация иона при бесконечном отдалении от везикулы.

Используя распределение Больцмана для вычисления среднего значения pH_{in} во внутреннем растворе везикулы, получаем формулу (ур. 35):

$$pH_{in} \equiv \langle pH(x) \rangle_{in} = pH^{bulk} + \frac{\langle u(x) \rangle_{in}}{2.30} \quad (35),$$

где $\langle u(x) \rangle_{in}$ – среднее значение электростатического потенциала внутри везикулы, pH^{bulk} – значение pH в растворе при бесконечном отдалении от везикулы.

Выражение для среднего значения потенциала рассчитывается с помощью интегрирования (ур. 25) по объему внутреннего раствора везикулы (ур. 36):

$$\langle u(x) \rangle_{in} = \frac{3}{\kappa R} t_{in}^{eff}(\Delta_m) \quad (36)$$

На рис. 6 представлен профиль концентрации ионов водорода внутри и снаружи положительно заряженной везикулы с составами $\alpha_{in} = 0.6$, $\alpha_{out} = 0.7$ с заданным значением $pH^{bulk} = 4$.

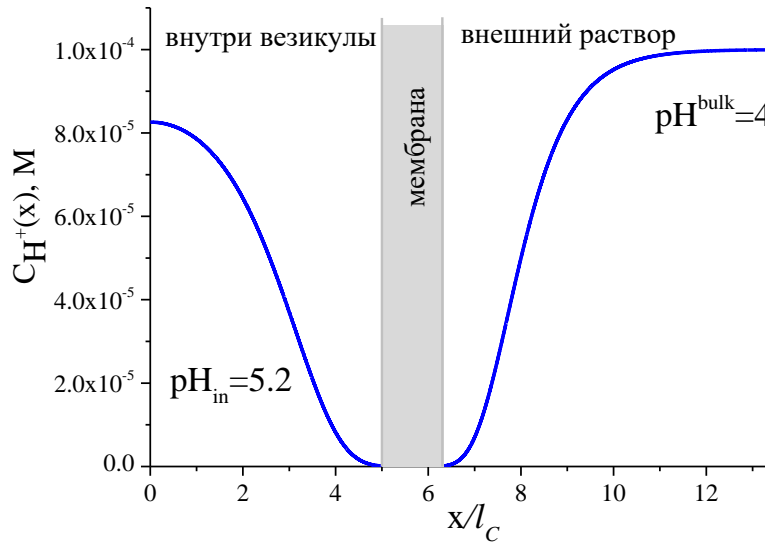


Рис. 6. Профиль концентрации ионов водорода внутри и снаружи везикулы C_8+C_8 с параметрами $R = 5l_c$, $\alpha_{in} = 0.6$, $\alpha_{out} = 0.7$, $\tau_{in} = \tau_{out} = 0.6 l_c$, $C_{salt} = 100$ mM, $pH^{bulk} = 4$.

Положительно заряженная мембрана отталкивает ионы H^+ с обеих сторон и накапливает противоионы OH^- и Cl^- внутри везикулы, тем самым повышая pH_{in} с 4 до 5.6. Вызывает интерес возможность наличия щелочного раствора внутри везикулы, находящейся в кислой среде. На рис. 7 представлена зависимость pH_{in} от внутреннего радиуса везикулы с составами слоев $\alpha_{in} = 0.6$, $\alpha_{out} = 0.7$ в кислой среде

$pH^{bulk} = 4$. Согласно результатам, наличие слабощелочной среды внутри рассматриваемой везикулы возможно при значениях радиуса везикулы $R \leq 2l_C$.

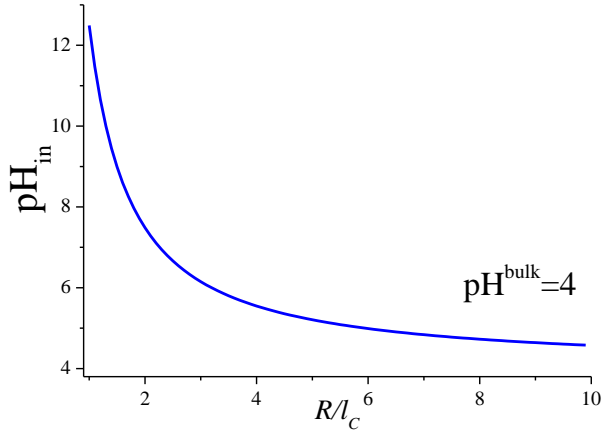


Рис. 7. Зависимость pH_{in} от внутреннего радиуса везикулы C_8+C_8 с параметрами $R = 5l_C$, $\alpha_{in} = 0.6$, $\alpha_{out} = 0.7$, $\tau_{in} = \tau_{out} = 0.6 l_C$, $C_{salt} = 100$ мМ, $pH^{bulk} = 4$.

Электростатические потенциалы и вклады в свободную энергию согласно теории НЛПБ получены при помощи разработанного нами программного обеспечения на языке FORTRAN (приложение Б). Дополнительно, расчеты потенциалов выполнены с помощью программного обеспечения COMSOL MULTIPHYSICS 4.3 с использованием 3D-электростатики и 1D-модели PDE с заданными коэффициентами. COMSOL-данные хорошо согласуются с результатами, полученными с помощью разработанного нами программного обеспечения [28] (SI). Пример распределения электростатического потенциала для везикулы в водно-солевом растворе показан на рис. 8.

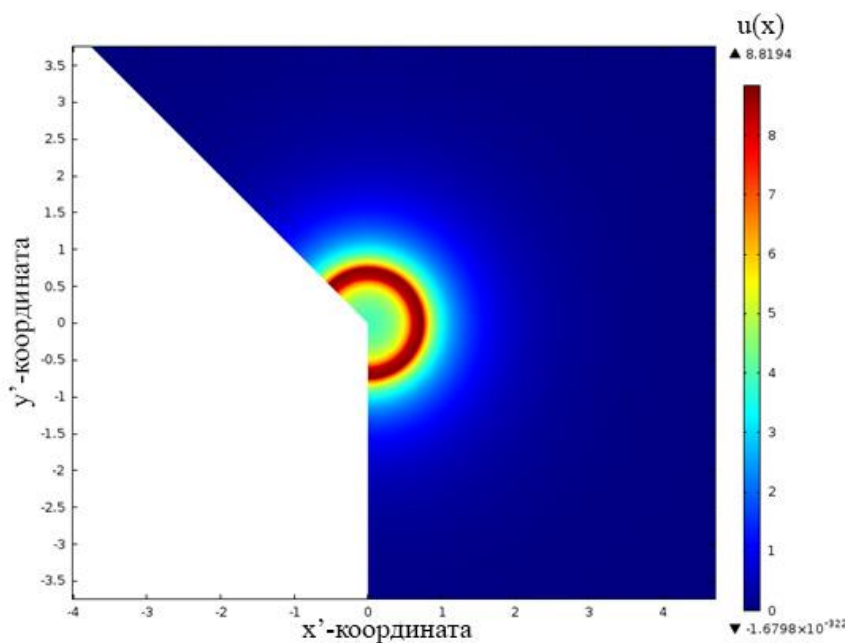


Рис. 8. Двумерное распределение электростатического потенциала в пространственных координатах x' – y' , полученное с помощью COMSOL MULTIPHYSICS 4.3 для везикулы C_8+C_8 с параметрами $R = 5l_C$, $\alpha_{in} = 0.6$, $\alpha_{out} = 0.7$, $\tau_{in} = \tau_{out} = 0.6 l_C$, $C_{salt} = 1$ мМ.

Перейдем к везикулам, образованным в смесях реальных ПАВ, которые различаются длиной алкильных хвостов и площадью поперечного сечения головы. На рис. 9 сопоставляются профили электрического потенциала в везикуле, образованной $C_{16}TAB$ ($a_p = 54 \text{ \AA}^2$) и SOS ($a_p = 17 \text{ \AA}^2$), и в модельной везикуле C_8+C_8 , рассмотренной ранее.

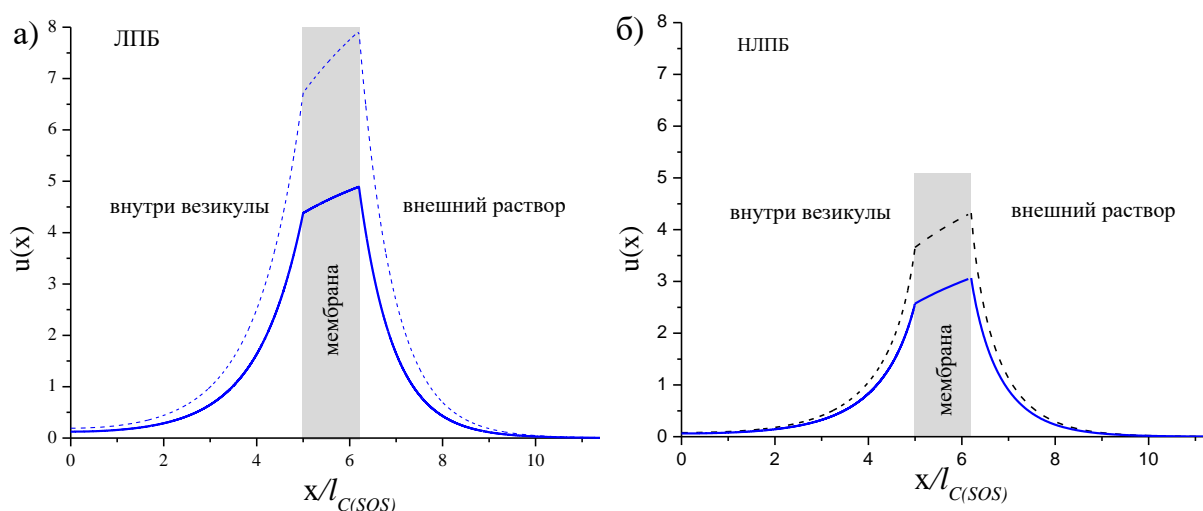


Рис. 9. Профиль электростатического потенциала, рассчитанного по теории ЛПБ (а) и по теории НЛПБ (б), для везикулы $C_{16}TAB+SOS$ (сплошные линии) и модельной везикулы C_8+C_8 (пунктирные линии). Параметры системы: $R = 5l_C$, $\alpha_{in} = 0.6$, $\alpha_{out} = 0.7$, $\tau_{in} = \tau_{out} = 0.6 l_C$, $C_{salt} = 100$ мМ.

Более длинный хвост $C_{16}TAB$ сильнее сжат по сравнению с хвостами из 8 углеродов, поэтому средние площади поверхности мембраны на молекулу ПАВ увеличиваются в обоих слоях везикулы. Это приводит к уменьшению поверхностных потенциалов u_{in} и u_{out} для везикулы $C_{16}TAB+SOS$. Как показано на рис. 9, теория ЛПБ дает существенно большие электростатические потенциалы, чем теория НЛПБ. При этом наблюдается частичная компенсация ошибок при расчете разности потенциалов между одинаково заряженными поверхностями мембраны. Благодаря этому, трансмембранные потенциалы теории ЛПБ и теории НЛПБ неплохо согласуются друг с другом.

Для растворов, содержащих 2.0 масс.% общего количества ПАВ (в массовом соотношении 3/7 $C_{16}TAB/SOS$) и разное количество соли $NaBr$, известны экспериментальные значения дзета-потенциала вблизи поверхности везикул [17]. Эти данные сопоставляются с рассчитанными в настоящей работе значениями электростатического потенциала внешней поверхности везикул с средней мольной долей $C_{16}TAB$ в агрегате $\alpha = \alpha_{in}\chi_{in} + \alpha_{out}\chi_{out} = 0.44$ и значениями потенциала на расстоянии длины Дебая от поверхности при разной солености (рис. 10). Для каждого значения C_{salt} были найдены оптимальные везикулы с минимальной свободной

энергией агрегации, электростатический потенциал рассчитывался согласно (ур. 24) теории ЛПБ.

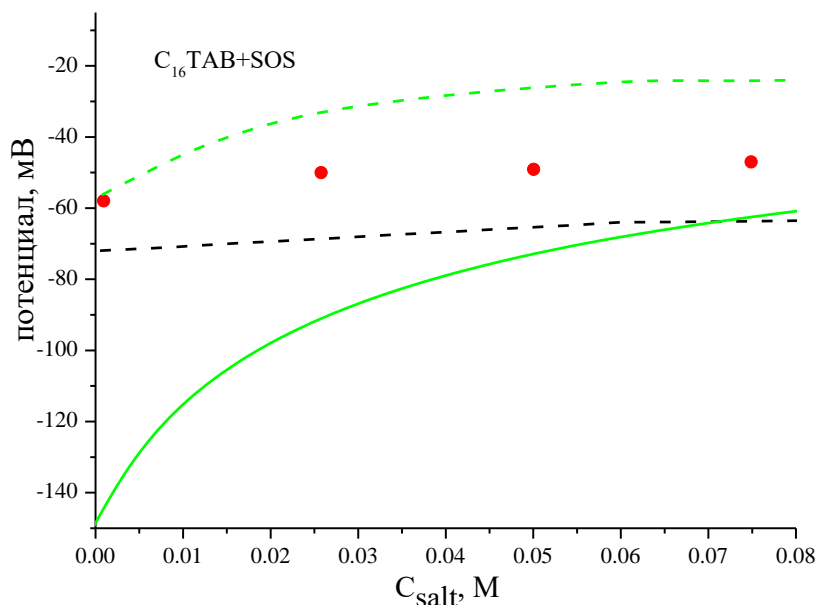


Рис. 10. Зависимость электростатического потенциала от солености раствора по теории ЛПБ на внешней поверхности оптимальной везикулы $C_{16}\text{TAB}+\text{SOS}$ (зеленая сплошная линия) и на расстоянии длины Дебая от нее (зеленая пунктирная линия). Символами обозначены экспериментальные данные для дзета-потенциала [17], черной пунктирной линией – расчетные значения поверхностных потенциалов, полученные Бланкштайном по теории НЛПБ для мольной доли $C_{16}\text{TAB}$ в агрегате 0.44 [10].

Расчитанные значения поверхностного потенциала и потенциала на расстоянии длины Дебая от поверхности позволяют получить оценочный интервал для дзета-потенциала, поскольку граница скольжения находится в пределах диффузионного слоя относительно заряженной поверхности. Как видно из рис. 10, экспериментальные значения дзета-потенциала [17] укладываются в изображенный на рисунке интервал потенциалов. Рассчитанный электростатический потенциал на внешней поверхности везикулы $C_{16}\text{TAB}+\text{SOS}$ при высокой солености разумно согласуется с данными Бланкштайна [10], полученными по теории НЛПБ (рис. 10).

4.3. Свободная энергия агрегации и распределение везикул по размерам

Рассмотрим влияние радиуса, толщин и составов везикулы на свободную энергию агрегации g_{ves} , рассчитанную по модели Нагаражана-Рукенштейна (раздел 2.2) с учетом полученной аналитически электростатической составляющей g_{el} (ур. 30).

На рис. 11 представлены зависимости свободных энергий g_{ves} и g_{el} от радиуса везикулы $C_{16}TAB+SOS$ при постоянных значениях толщин и составов. Кривая имеет минимум при радиусе $R_{min} \approx 14.5l_{C(SOS)} \approx 170 \text{ \AA}$, что указывает на минимальный размер везикулы вблизи этого значения. Минимум не является ярко выраженным, что позволяет предполагать полидисперсное распределение по размерам с вероятным появлением более крупных везикул.

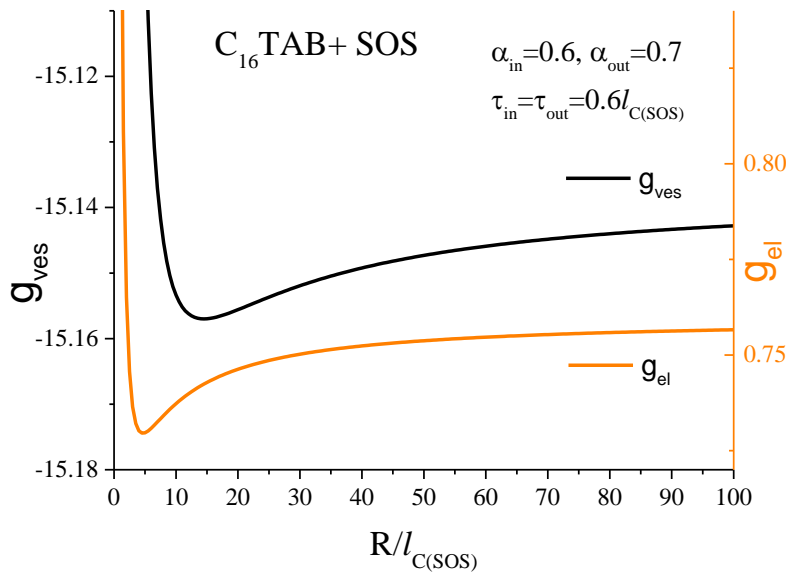


Рис. 11. Свободная энергия агрегации везикулы $C_{16}TAB+SOS$ (черный цвет) и электростатический вклад в свободную энергию (желтый цвет) в зависимости от радиуса везикулы. Параметры системы: $\alpha_{in} = 0.6$, $\alpha_{out} = 0.7$, $\tau_{in} = \tau_{out} = 0.6 l_{C(SOS)}$, $C_{salt} = 100 \text{ mM}$.

Электростатический вклад в свободную энергию имеет минимум, близкий к экстремуму для g_{ves} , но смещенный в область меньших радиусов. Поскольку внешний слой дает больший вклад в свободную энергию, электростатические

взаимодействия снижаются при увеличении кривизны и, соответственно, площади на молекулу внешнего слоя, что способствует уменьшению u_{out} и g_{el} .

Зависимости свободной энергии от состава везикулы и соотношения толщин показаны на рис. 12. Поскольку в условиях эксперимента контролируется только брутто-состав ПАВ, влияние состава внутреннего слоя на значение g_{ves} (рис. 12а) рассмотрено при постоянстве средней мольной доли $C_{16}TAB$ в агрегате α . На рис. 12б одновременно варьируются толщины обоих слоев везикулы при сохранении общей толщины мембраны.

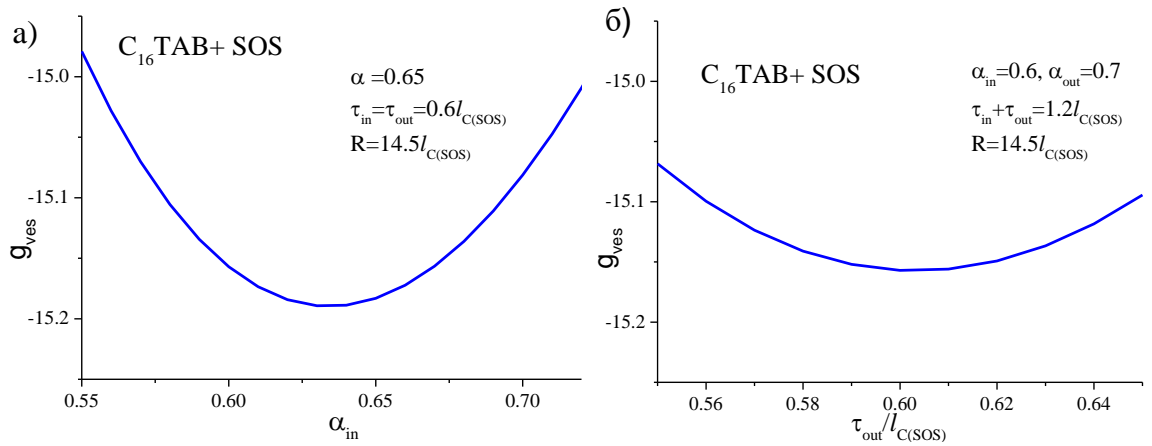


Рис. 12. Свободная энергия агрегации везикулы $C_{16}TAB + SOS$ в зависимости от состава внутреннего слоя везикулы при постоянстве среднего состава $\alpha = 0.65$ (а) и от толщины внешнего слоя мембраны при постоянстве толщины мембраны $\tau_{in} + \tau_{out} = 1.2 l_{C(SOS)}$ (б). Остальные параметры системы: $R = 14.5l_{C(SOS)}$, $C_{salt} = 100$ мМ.

Как видно из полученных графиков, составы слоев оказывают большее влияние на g_{ves} , чем толщины. Для везикул выгоднее иметь менее заряженный внутренний слой, так как в нем головы ПАВ находятся ближе друг к другу и сильнее отталкиваются в случае большого количества одноименных зарядов.

Построим распределение по размерам везикул $C_{16}TAB + SOS$ (рис. 13) с общей брутто-концентрацией ПАВ 40 мМ и с солевым фоном 100 мМ по алгоритму, представленному в разделе 3.2. Данные представлены для мольных долей катионного ПАВ в системе $y = \frac{X_{C16TAB\ tot}}{X_{C16TAB\ tot} + X_{SOS\ tot}}$ 0.46 и 0.24, которые были получены для

выбранных мономерных долей $C_{16}TAB$ 10^{-4} и 10^{-6} . Результаты сопоставим с имеющимися экспериментальными данными о размерах везикул для $y = 0.1$ [4].

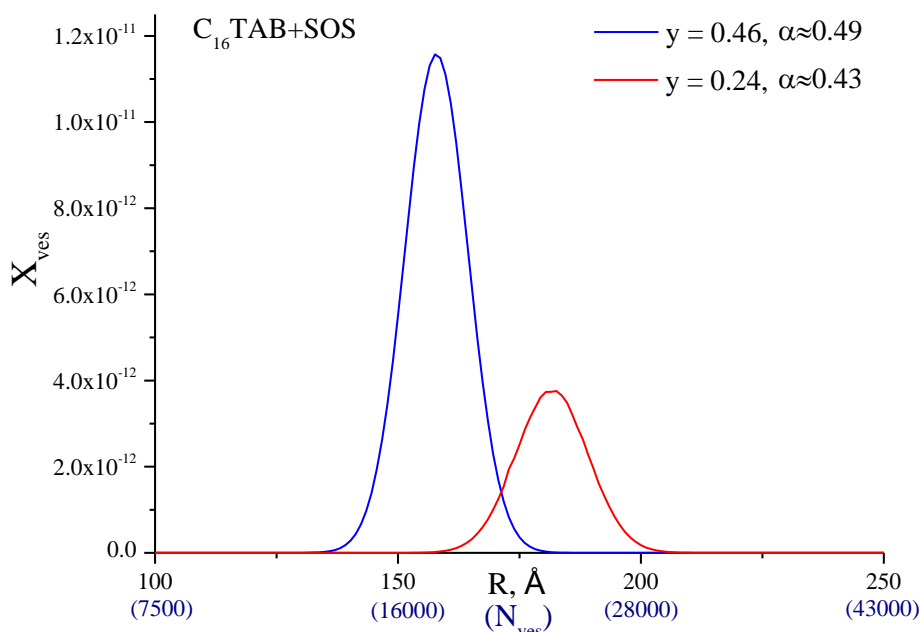


Рис. 13. Концентрация везикул в зависимости от их радиуса (чисел агрегации N_{ves}) в системе $C_{16}TAB+SOS$ с общей брутто-концентрацией ПАВ 40 мМ и солевом фоне 100 мМ. Мольная доля $C_{16}TAB$ в системе и средняя мольная доля $C_{16}TAB$ в везикуле: $y = 0.46$ и $\alpha \approx 0.49$ (синяя кривая), $y = 0.24$ и $\alpha \approx 0.43$ (красная кривая). Мономерная доля $C_{16}TAB$ в равновесных условиях $\alpha_{C_{16}TAB\ 1} = 10^{-4}$ (синяя кривая), $\alpha_{C_{16}TAB\ 1} = 10^{-6}$ (красная кривая).

На оптимальный размер везикул большое влияние оказывает асимметрия гидрофобных хвостов ПАВ. Для небольших везикул вклад внешнего слоя в общую свободную энергию намного больше, чем вклад внутреннего. Для большого (бесконечного) радиуса вклад обоих слоев в общую свободную энергию имеет одинаковое значение. Таким образом, гидрофобная свободная энергия g_{tr} для везикулы минимальна, когда ведущий вклад поступает от внешнего слоя, способствуя стабилизации мелких везикул. В катионной везикуле внешний слой содержит больше $C_{16}TAB$, чем внутренний, и, следовательно, имеет более низкую свободную гидрофобную энергию на молекулу. Ситуация противоположна для анионных везикул $C_{16}TAB+SOS$, где содержание $C_{16}TAB$ выше во внутреннем слое, чем во внешнем, и, следовательно, гидрофобный вклад минимален для плоского бислоя.

Поэтому оптимальные анионные везикулы $C_{16}TAB+SOS$ имеют больший размер, чем аналогично заряженные катионные.

Эти выводы подтверждает распределение на рис. 13. При переходе к везикулам, содержащим большее количество анионных ПАВ SOS, размер везикул смещается в область больших радиусов: от 160 \AA (при $\alpha \approx 0.49$, $y = 0.46$) до 180 \AA (при $\alpha \approx 0.43$, $y = 0.24$). В эксперименте [4] для таких же значений солевого фона и общей брутто-концентрации ПАВ наблюдают везикулы с радиусом примерно 300 \AA для $y = 0.1$, что качественно согласуется с выводом об увеличении размера везикул при уменьшении доли $C_{16}TAB$ в системе.

Рассмотрим аналогичные зависимости (рис. 14) для систем DTAB+SDS ($a_{pDTAB} = 54 \text{ \AA}^2$, $a_{pSDS} = 17 \text{ \AA}^2$) с общей брутто-концентрацией ПАВ 122 mM , солевым фоне 100 mM . Полученные данные сравним с экспериментальными [16].

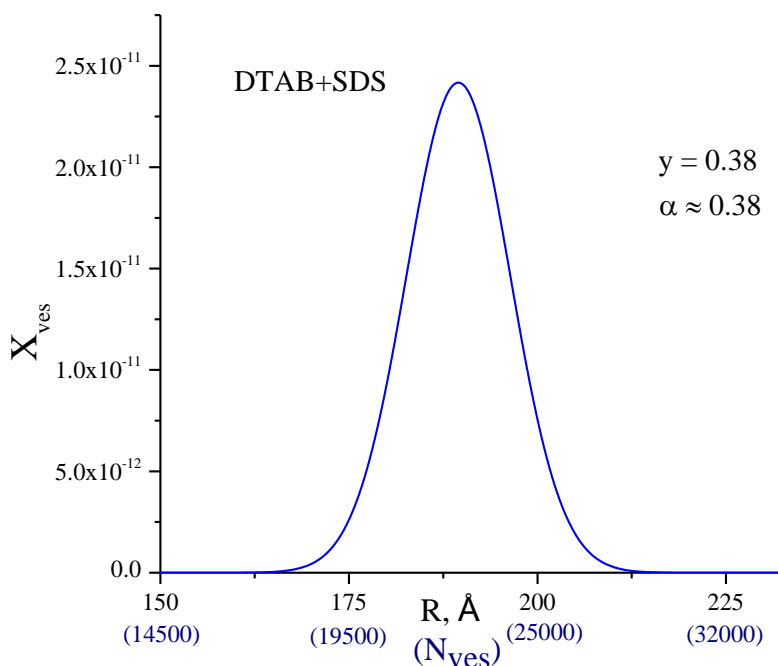


Рис. 14. Концентрация везикул в зависимости от их радиуса (чисел агрегации N_{ves}) в системе DTAB+SDS с общей брутто-концентрацией ПАВ 122 mM , солевым фоне 100 mM . Средняя мольная доля DTAB в везикуле $\alpha \approx 0.38$, мольная доля DTAB в системе $y = 0.38$. Мономерная доля DTAB в равновесных условиях $\alpha_{DTAB 1} = 10^{-3}$.

Согласно рис. 14 в системе DTAB+SDS с $y = 0.38$ характерно образование везикул с диаметром примерно 410 \AA с учетом толщины мембраны. Полученный

результат согласуются с данными [16], где в аналогичной системе с $y = 0.38$ наблюдаются везикулы с диаметром 430-450 Å.

Расчет для катанионной системы, содержащей мицеллообразующую ионную жидкость и классическое анионное ПАВ ($C_{16}mimCl+SDBS$; $a_{pCmim} = 46 \text{ Å}^2$, $a_{pSDBS} = 80 \text{ Å}^2$), предсказывает формирование везикул. Так, для раствора с общей брутто-концентрацией ПАВ 150 мМ и 30 мМ добавленной соли модель дает везикулы среднего диаметра 271 Å и 308 Å с достаточно узким распределением по размерам при мольных долях $C_{16}mimCl$ в системе $y = 0.56$ и $y = 0.66$, соответственно. Эксперимент [19] (SI) для бессолевого раствора $C_{16}mimCl+SDBS$ при общей брутто-концентрации ПАВ 150 мМ также свидетельствует о переходах мицеллы-везикулы-мицеллы при последовательном изменении соотношения ПАВ. Однако для сходных значений y обнаруживается существенно полидисперсное распределение везикул диаметрами от 100 до 10000 Å с пиком около 1000 Å.

Выводы

В рамках данной работы были получены аналитические выражения для трансмембранного потенциала (ур. 26) и электростатического вклада в свободную энергию (ур. 30) с учетом эффекта регулирования зарядов внутренней и внешней частей везикулы в растворе соли.

Изучены зависимости трансмембранного потенциала и свободной энергии агрегации катионных везикул от геометрических параметров везикулы как для модельных агрегатов, так и для реальных систем. Выявлено нетривиальное поведение трансмембранного потенциала при изменении солевого фона: появление экстремума в случае, когда внешний слой мембраны заряжен сильнее, чем внутренний. Предложены простые формулы (ур. 33, 34), позволяющие определить условия образования экстремума. Дано физическое объяснение появления экстремума трансмембранного потенциала.

Получено выражение (ур. 35) для определения pH во внутреннем растворе везикулы и представлена зависимость этой величины от кислотности окружающего раствора. Продемонстрирована ситуация, когда слабощелочной раствор находится внутри равновесной везикулы, окруженной слабокислым раствором.

Разработан вычислительный алгоритм и программное обеспечение на языке FORTRAN, позволяющие решать уравнение материального баланса для известной суммарной брутто-концентрации двух ПАВ с учетом агрегативного равновесия в растворе, включающем моодисперсные сферические мицеллы, полидисперсные стержнеобразные мицеллы и полидисперсные везикулы. Получены данные распределения везикул по размерам для систем $C_{16}TAB+SOS$, $DTAB+SDS$, $C_{16}mimCl+SDBS$, выявлены закономерности, влияющие на размеры агрегатов, проведено сопоставление результатов с экспериментальными данными. Обсуждены пределы применимости модели. Показано, что при среднем и умеренно высоком солевом фоне предлагаемая модель верно передает наблюдаемые тенденции агрегативного поведения растворов катионных ПАВ.

Благодарности

Работа выполнялась при финансовой поддержке РФФИ (грант 18-03-00698а) и РНФ (грант 20-13-00038).

Список цитированной литературы

1. Du J., O'Reilly R.K. Advances and challenges in smart and functional polymer vesicles // *Soft Matter*. 2009. Vol. 5, № 19. P. 3544–3561.
2. Scermino L. et al. pH-responsive micellization of an amine oxide surfactant with branched hydrophobic tail // *J. Mol. Liq. Elsevier B.V.*, 2020. Vol. 316. P. 113799.
3. Almgren M. Mixed micelles and other structures in the solubilization of bilayer lipid membranes by surfactants // *Biochim. Biophys. Acta - Biomembr.* 2000. Vol. 1508, № 1–2. P. 146–163.
4. Bergström L.M. et al. Spontaneous transformations between surfactant bilayers of different topologies observed in mixtures of sodium octyl sulfate and hexadecyltrimethylammonium bromide // *Langmuir*. 2014. Vol. 30, № 14. P. 3928–3938.
5. Araste F. et al. Self-assembled polymeric vesicles: Focus on polymersomes in cancer treatment // *J. Control. Release. Elsevier B.V.*, 2021. Vol. 330. P. 502–528.
6. Cho J.A. et al. Exosomes: A new delivery system for tumor antigens in cancer immunotherapy // *Int. J. Cancer*. 2005. Vol. 114, № 4. P. 613–622.
7. Wen, Z., You, X., Liu, B., Zheng, Z., Pu, Y., Jiang, L., & Li Q. Formation of atractylone liposomes by rapid expansion from supercritical to surfactant solution // *Asia-Pac. J. Chem. Eng.* 2011. Vol. 6, № 4. P. 624–630.
8. Israelachvili J.N., Mitchell D.J., Ninham B.W. Theory of self-assembly of lipid bilayers and vesicles // *BBA - Biomembr.* 1977. Vol. 470, № 2. P. 185–201.
9. Nagarajan R., Ruckenstein E. Self-Assembled systems // *Experimental Thermodynamics. Equations* / ed. Sengers, J.V.; Kayser, R.F.; Peters, C.J.; White H.J. Science, Amsterdam: Elsevier, 2000. Vol. 5, № C. 589-749 p.
10. Yuet P.K., Blankschtein D. Molecular-thermodynamic modeling of mixed cationic/anionic vesicles // *Langmuir*. 1996. Vol. 12, № 16. P. 3802–3818.
11. Mille M., Vanderkooi G. Electrochemical properties of spherical polyelectrolytes: II.

- Hollow sphere model for membranous vesicles // J. Colloid Interface Sci. Academic Press, Inc., 1977. Vol. 61, № 3. P. 455–474.
12. Israelachvili J.N. Intermolecular and Surface Forces // Surface Science Reports. 3rd ed. Burlington, MA: Academic Press, 2011. Vol. 556 p.
 13. Danino D., Bernheim-Groswasser A., Talmon Y. Digital cryogenic transmission electron microscopy: An advanced tool for direct imaging of complex fluids // Colloids Surfaces A Physicochem. Eng. Asp. 2001. Vol. 183–185. P. 113–122.
 14. Bergström M., Pedersen J.S. A Small-Angle Neutron Scattering (SANS) Study of Tablet-Shaped and Ribbonlike Micelles Formed from Mixtures of an Anionic and a Cationic Surfactant // J. Phys. Chem. B. 1999. Vol. 103, № 40. P. 8502–8513.
 15. Ghazal A. et al. Microfluidic Platform for the Continuous Production and Characterization of Multilamellar Vesicles: A Synchrotron Small-Angle X-ray Scattering (SAXS) Study // J. Phys. Chem. Lett. 2017. Vol. 8, № 1. P. 73–79.
 16. Kakehashi R., Karlsson G., Almgren M. Stomatosomes, blastula vesicles and bilayer disks: Morphological richness of structures formed in dilute aqueous mixtures of a cationic and an anionic surfactant // J. Colloid Interface Sci. Elsevier Inc., 2009. Vol. 331, № 2. P. 484–493.
 17. Brasher L.L., Herrington K.L., Kaler E.W. Electrostatic Effects on the Phase Behavior of Aqueous Cetyltrimethylammonium Bromide and Sodium Octyl Sulfate Mixtures with Added Sodium Bromide // Langmuir. 1995. Vol. 11, № 11. P. 4267–4277.
 18. Kaler E.W. et al. Phase behavior and structures of mixtures of anionic and cationic surfactants // J. Phys. Chem. 1992. Vol. 96, № 16. P. 6698–6707.
 19. Dutta R. et al. Micelle-vesicle-micelle transition in aqueous solution of anionic surfactant and cationic imidazolium surfactants : Alteration of the location of different fluorophores // J. Colloid Interface Sci. Elsevier Inc., 2017. Vol. 490. P. 762–773.
 20. Regev O. et al. Vesicle Formation and General Phase Behavior in the Catanionic Mixture SDS–DDAB–Water. The Cationic-Rich Side // J. Phys. Chem. B. 2002. Vol.

103, № 39. P. 8353–8363.

21. Marques E.F. et al. Vesicle Formation and General Phase Behavior in the Catanionic Mixture SDS-DDAB-Water. The Cationic-Rich Side // J. Phys. Chem. B. 1999. Vol. 103, № 39. P. 8353–8363.
22. Русанов А.. Мицеллообразование в растворах поверхностно-активных веществ // СПб. Наука. 1992. P. 280 с.
23. Israelachvili J.N., Mitchell D.J., Ninham B.W. Theory of self-assembly of hydrocarbon amphiphiles into micelles and bilayers // J. Chem. Soc. Faraday Trans. 2 Mol. Chem. Phys. 1976. Vol. 72. P. 1525–1568.
24. Likhtman A.E., Semenov A.N. Stability of the OBDD Structure for Diblock Copolymer Melts in the Strong Segregation Limit // Macromolecules. 1994. Vol. 27, № 11. P. 3103–3106.
25. Hildenrand F.B. Advanced calculus for applications. 2–nd ed. Englewood Cliffs, New Jersey: Prentice-Hall, Inc., 1976. 733 p.
26. Winterhalter M., Helfrich W. Effect of surface charge on the curvature elasticity of membranes // J. Phys. Chem. 1988. Vol. 92, № 24. P. 6865–6867.
27. Yuet P.K., Blankschtein D. Approximate Expressions for the Surface Potentials of Charged Vesicles // Langmuir. 1995. Vol. 11, № 6. P. 1925–1933.
28. Emelyanova, Ksenia A.; Sorina, Polina O.; Victorov A.I. Transmembrane potential in vesicles formed by catanionic surfactant mixtures in an aqueous salt solution // Phys. Chem. Chem. Phys. Royal Society of Chemistry, 2020. Vol. 22, № 45. P. 26438–26451.
29. Андреев В.А. Моделирование образования, роста и ветвления мицеллярных агрегатов в растворах ионных поверхностно-активных веществ: дисс. к.х.н. // Санкт-Петербургский гос. университет, СПб. 2006.

Приложения

А. Программное обеспечение FORTRAN для расчета агрегативных характеристик водно-солевых растворов смеси двух ПАВ с учетом образования сферических и стержнеобразных мицелл и везикул

Во входном файле «infile» указываются исходные параметры системы: название и вид двух ПАВ, их молекулярные параметры, брутто-концентрации, концентрация 1:1 электролита, температура. Пример файла представлен ниже:

```
GIVE SURFACTANT1 AND SURFACTANT2 NAMES (up to 20 characters each):
CTAB
SOS
SPECIFY SURFACTANT1 AND SURFACTANT2 TYPES ( cationic, anionic, or nonionic. For ionic
surfactants NEGATIVE DIPOLE LENGTH MUST be given):
cationic
anionic
TEMPERATURE (IN K):
298.16
CHARACTERISTICS OF SURFACTANT1:
NUMBER OF CARBONS IN THE TAIL = 16.0
POLAR HEAD SCREENING AREA (IN SQ.ANGSTROMS)= 54.0
CLOSEST APPROACH OF COUNTERION TO MICELLE (IN ANGSTROMS)= 3.45
SOLUBILITY PARAMETER = 16.76
DIPOLE LENGTH (positive value, IN ANGSTROMS, only for zwitterionic surfactant)= -1.0
CHARACTERISTICS OF SURFACTANT2:
NUMBER OF CARBONS IN THE TAIL = 8.0
POLAR HEAD SCREENING AREA (IN SQ.ANGSTROMS)= 17.0
CLOSEST APPROACH OF COUNTERION TO MICELLE (IN ANGSTROMS)= 5.45
SOLUBILITY PARAMETER = 16.76
DIPOLE LENGTH (positive value, IN ANGSTROMS, only for zwitterionic surfactant)= -1.0
GROSS CONCENTRATIONS IN SOLUTION (in M):
0.20E-01                                ! SURFACTANT1
0.20E-01                                ! SURFACTANT2
0.10E-00                                ! SALT
```

Основные выводные файлы следующие. «Aggreg_details» указывает средние составы, числа агрегации и размер агрегатов каждого типа. «CMCmix» указывает для каждой мономерной доли ПАВ α_{A1} полученные значения концентраций X_{1A} , X_{1B} , X_{totA} , X_{totB} . Файлы «COREsph», «COREcyl», «COREves» предоставляют информацию о вкладах в свободную энергию агрегации для агрегатов с максимальной концентрацией: сферических, стержнеобразных мицелл и везикул. «Distrib_sphANDcyl» демонстрирует распределение по размерам сферических и стержнеобразных мицелл, «Distrib-ves» - везикул.

Код программного обеспечения представлен ниже.

```

implicit REAL*8 (A-H,O-Z)                                ! MAIN PROGRAM
integer, parameter :: ch = 9

real*8 MconstA(ch), MconstB(ch)
! 1 2 3 4 5 6 7 8 9
! Nc Vs ls a0 ap delta deltaH logic ddip
REAL*8 T,Pi,psi,k,e,Nav,sigmax,sigmaA,sigmaB,sigmasA,sigmasB,epsilon,&
    nzero,krDeb,dchpotCH2,dchpotCH3,gXgsph,g2Xgsph,&
    minx,miny,micellesgXg,Xgsph,XAsph,Cadd,CsurA,CsurB
CHARACTER*20 EX1,EX2
CHARACTER*8 MDL
COMMON /A/ T,Pi,psi,k,e,Nav,sigmax,sigmaA,sigmaB,sigmasA,sigmasB,epsilon,MconstA, MconstB,&
    nzero,krDeb,dchpotCH2,dchpotCH3,Cadd,CsurA,CsurB
COMMON /Y/ H,VheadA,VheadB,VtailA,VtailB,CH2lgth
COMMON /C/ QT,RT,T1,TT,R(10),RS(10,10),Q(10),QS(10,10)
COMMON /word/ MDL
real*8 volume,length, MA,MB,S0,S1,S2,XArod, nsph,lsinf,lssup,Y,XtotA,XtotB
real*8 njun,gXg_jun,g2Xg_jun,Xg_jun,XA_jun,NagA_pl,NagB_pl,NagA_tor,NagB_tor
real*8 alfavesopt,alfaiopt,alfaopt,Rvesopt,gvesopt,tauiopt,tauoopt
real*8 nves,gXg_ves,g2Xg_ves,Xg_ves,XA_ves,XB_ves
logical Ybig1
REAL*8, PARAMETER :: lqvad = 4.6*4.6
real*8 X1A,X1B,alfaA1,cylopt(1,2),sphopt(1,2),capopt(1,2),alfaBmic,KoefRasp
common /monomers/ X1A,X1B,alfaA1
common /lsformin/ lsinf,lssup
common /exitvalue/ S0,S1,S2,XArod, nsph,gXgsph,g2Xgsph,Xgsph,XAsph,XBsph,XBrod
common /exitjun/ njun,gXg_jun,g2Xg_jun,Xg_jun,XA_jun,XB_jun
common /exitves/ gXg_ves,g2Xg_ves,Xg_ves,XA_ves,XB_ves
common /geomopt/ cylopt,capopt,sphopt,Y
common /optves/ alfavesopt,alfaiopt,alfaopt,Rvesopt,gvesopt,tauiopt,tauoopt,nves
common /optjun/ alfa_jun, bjun,cjun,g_j
COMMON /optpl/ r_patch,alfa_pl,g_p
common /optcyl/ alfacylopt,Rcylopt,gcyllopt
common /optsph/ alfasphopt,Rsphopt,gsphopt
common /gross_mfrac/ XtotA,XtotB
common /out/ ldamp
! Cadd = 0.0d0 ! added salt CsurA, CsurB come through infile
T = 273.16d0+ 25.0d0 !30.0d0
T1 = T
Pi = 3.1415926
psi = .55
k = 1.38d-16

```

e = 4.80286d-10

Nav = 6.022142d+23

```
OPEN(UNIT=11,FILE='COREsph.txt')
OPEN(UNIT=12,FILE='SHELLcyl.txt')
OPEN(UNIT=15,FILE='SHELLsph.txt')
OPEN(UNIT=14,FILE='COREcyl.txt')
OPEN(UNIT=16,FILE='COREjun.txt')
OPEN(UNIT=17,FILE='nonidINshell.txt')
OPEN(UNIT=18,FILE='COREves.txt')
OPEN(UNIT=30,FILE='result_new.txt')
```

```
OPEN (3,file='Aggreg_details.txt')
Open (4, file='Free energies.txt')
OPEN (2,file='CMCmix.txt')
OPEN (21,file='MicCompCMC.txt')
```

```
write (2,*) ' T    = ', T
write (3,*) ' T    = ', T
write (4,*) ' T    = ', T
call datain (ex1,ex2)
sigmaw = 72. - .16 * (T - 298.)
MA = 14.02709*(MconstA(1) - 1.) + 15.03506
MB = 14.02709*(MconstB(1) - 1.) + 15.03506
sigmaA = 35. - 325. * MA ** (-2. / 3.) - .098 * (T - 298.)
sigmaB = 35. - 325. * MB ** (-2. / 3.) - .098 * (T - 298.)
sigmasA = sigmaA + sigmaw - 2. * psi * dsqrt(sigmaA * sigmaw)
sigmasB = sigmaB + sigmaw - 2. * psi * dsqrt(sigmaB * sigmaw)
dchpotCH2 = 5.85 * dLOG(T) + 896. / T - 36.15 - .0056 * T
dchpotCH3 = 3.38 * dLOG(T) + 4064. / T - 44.13 + .02595 * T
epsilon = 87.74 * dEXP(-.0046 * (T - 273.))
XtotA = CsurA/(CsurA+CsurB+998.2d0/18.0152d0)      !
XtotB = CsurB/(CsurA+CsurB+998.2d0/18.0152d0)      !      may be better 55,(5)
```

```
OPEN(UNIT=88,FILE='model.txt')
Read (88,*) Mdl
if(Mdl.eq.'new') then
call indsurf (H,VheadA,VheadB,VtailA,VtailB,CH2lgth,ntailA,ntailB)
MconstA(2)=VtailA
MconstB(2)=VtailB
Atail = ntailA
Btail = ntailB
MconstA(3) = length (Atail)
MconstB(3) = length (Btail)
```

```

MconstA(1)=Atail
MconstB(1)=Btail
else
  MconstA(2) = volume (MconstA(1), T)
  MconstA(3) = length (MconstA(1))
  MconstB(2) = volume (MconstB(1), T)
  MconstB(3) = length (MconstB(1))
end if

If (MconstA(5)>lqvad) then
  MconstA(4) = lqvad
else
  MconstA(4) = MconstA(5)
end if
If (MconstB(5)>lqvad) then
  MconstB(4) = lqvad
else
  MconstB(4) = MconstB(5)
end if

!MconstB(4) = lqvad      !MconstB(5)
!MconstA(4) = lqvad      !MconstA(5)
write (2,*) "
write (2,*) 'ComponentA=',EX1,'ComponentB=',EX2
write (3,*) 'ComponentA=',EX1,'ComponentB=',EX2
write (4,*) 'ComponentA=',EX1,'ComponentB=',EX2
write (2,*) ' '
write (2,1002)
1002 format(22X,'Nc          Vs',13X,'ls',12X,'a0',12X,'ap',8X,'Ion  apprch',4X,'Solub  Par',2X,'1/2/3(+/-
/nonionic)',2X,'D_dip')
write (2,'(A12,9(4X,F10.4))') ' MconstA : ', MconstA
write (2,'(A12,9(4X,F10.4))') ' MconstB : ', MconstB
lsinf = 0.3*min(MconstA(3),MconstB(3))                                !      try to change
worked with 0.3
lssup = max(MconstA(3),MconstB(3))

write (2,'(5(A10,4X,E12.5,2X))') 'lsinf=',lsinf,'lssup=',lssup,'Csalt  [M]=', Cadd,'CsurA  [M]=',CsurA,'CsurB
[M]=', CsurB
! *****
write (2,*) "
if(CsurA==0.and.CsurB==0.)then                                ! CMC  calculation
  write (2,1001)
else                                                            ! material balance calculation
  write (2,1021)
endif
write (11,1011)

```

```

write (12,1012)
write (15,1012)
write (14,1011)
write (17,1017)
write (16,1016)
write (18,1022)

1017 format (4X,'XREM(1)',4X,'XREM(2)',4X, 'XREM(3)',3X,'gmxbond',6X,'gmwater', 5X, 'gmxbond+
gmwater')
1001 format(4X,'alAMon      alAMic      alAGross      CMC(mol/l) ',5X,'gaverage      gsphOPT
',8X,'X1A',10X,'X1B',10X,'tolerance,%')
1021 format(4X,'alAMon      alAMic      alAGross      A+BinMic(mol/l) ',1X,'gaverage      gsphOPT
',8X,'X1A',10X,'X1B',10X,'tolerance,%',2X,' totalA,M',2X,' totalB,M')
1011 format (5X,'alAMic',6X,'Def',10X, 'Transf',9X,'Mix',10X,'Interf',8X,'Steric', 8X,'Zwitter',8X,
'IonLPB',8X,'NLPB', 8X, 'Total',8X,'R [A]',15X,'H')
1016 format (2X,'plane/tor',2X,'alAMic',6X,'Def', 10X,'Transf',9X,'Mix',10X,'Interf',8X,
'Steric',8X,'Zwitter',8X,'IonLPB',8X,'NLPB',8X, 'Total',8X,'R [A]',8X,'<n_aggr>')
1022 format (5X,'alAMic',6X,'Def',10X,'Transf', 9X,'Mix',10X,'Interf',8X,'Steric',8X,'Zwitter',
8X,'IonLPB',8X,'NLPB',8X, 'Total',8X,'R [A]',10X,'R+tau [A]',10X,'alfao',8X,'alfai',15X)
1012 format (3X,'alAMic',6X,'FiA',6X,'FiB',6X,'water',8X,'Gloc',11X,'GMXbond',6X,'Gsh')
write (3,*) "
write (3,1013)
1013 format (9X,'alAMon      alAMic      alA_tot      alA_sph',6X,'alA_cyl      alA_jun
alA_ves',5X,'Rsph/ls',7X,'Rcyl/ls',7X,'Rves/ls') !'btor/ls', 6X,'ctor/btor',&
!5X,'nA_av_sph      nB_av_sph      nA_av_cyl      nB_av_cyl      nA_av_jun      nB_av_jun',5X,'nsph_opt
nA_av_jun' <n>',12X,'nA_pl',8X,'nB_pl',8X,'nA_tor',8X,'nB_tor')
write (4,*) "
write (4,1014)
1014 format(3X,'alAMon      alAMic      alA_tot',6X,' g_sph      g_cyl      g_ves      g_jun
g_pl',8X,'tolerance,%')
i=0
alfaA1=0.001d0
do while (alfaA1.LT.1.001d0)
i=i+1
ldamp=-2 ! no printing while solving
XtotA = CsurA/(CsurA+CsurB+998.2d0/18.0152d0)
XtotB = CsurB/(CsurA+CsurB+998.2d0/18.0152d0)

if(alfaA1==0)then
XtotA = 0.0d0
XtotB = CsurB/(CsurB+998.2d0/18.0152d0)
endif
if(dabs(alfaA1-1.0d0)<1.0d-15)then
XtotA = CsurA/(CsurA+998.2d0/18.0152d0)
XtotB = 0.0d0
endif

```

```

!a-starting point, del-starting step, eps tolerance in x minx-solution
call dihotom (1.6d-3, -1.d-6,1.d-20,minx,miny) ! works for SDS at accuracy d-20, d-15 and d-
10
X1A = minx*alfaA1
! write(*,*)'X1=',minx !
(1.6d-5, -1.d-8,1.d-15,minx,miny) - for the first 1st 2 points goes OK
X1B = minx*(1.0d0 - alfaA1)
print *, 'Ybig1=====', Ybig1, Y
call micelles(minx,Ybig1,micellesgXg)

nsph = 4./3.*3.1415926*Rsphopt**3/vs(alfasphopt)
print *, 'micelles== ',minx,micellesgXg,Ybig1
ldamp = 2 ! print out at solution from subroutines
aa = chpotcyl(cylopt)
aa=chpot(sphopt)
!print *, 'parpl== ',r_patch,alfa_pl
!! aa=g_pl(r_patch,alfa_pl)
!print *, 'parjun== ',bjun,cjun,alfa_jun
!! aa=g_tor(bjun,cjun,alfa_jun)
NagA_pl = alfa_pl*v_patch(r_patch,cjun)/MconstA(2)
! volume occupied by A-tails/A-tail volume Aggregation number in planar patch
NagB_pl = (1.0d0-alfa_pl)*v_patch(r_patch,cjun)/MconstB(2) !
NagA_tor = alfa_jun*v_tor_b(bjun,cjun)/MconstA(2)
! Aggregation number in toroidal rim: NB: alfa_jun = alfator in this version(CHECK vs(alfa) in optimization)
NagB_tor = (1.0d0-alfa_jun)*v_tor_b(bjun,cjun)/MconstB(2)
! njun= NagA_pl+NagB_pl + NagA_tor + NagB_tor
call chpotves
!search minimum chpot,write distribution by Nagg
! calculate average aggregation numbers and composition of
micelles*****
! nA_av_sph=XAsph/Xgsph nA_av_cyl = XArod/S0 na_av_jun = XA_jun/Xg_jun nsph njun
average and optimal aggregation numbers
! alfaAmic = (XAsph+XArod+XA_jun)/micellesgXg alfaA_tot =
(X1A+XAsph+XArod+XA_jun)/(micellesgXg+X1A+X1B) average composition
! alfa_jun, bjun,cjun,g_j, cylopt, sphopt,
alfaA_tot = X1A+XAsph+XArod+XA_jun+XA_ves
write(*,*)'!aAtot=',alfaA_tot,XA_ves
!(X1A+XAsph+XArod+XA_jun)/(micellesgXg+X1A+X1B) !average composition
alfaB_tot = X1B+XBsph+XBrod+XB_jun+XB_ves
write(*,*)'sph,rod,jun,ves',Xgsph,s0,Xg_jun,Xg_ves
!(X1B+XBsph+XBrod+XB_jun)/(micellesgXg+X1A+X1B)
alfaAmic=(XAsph + XArod+XA_jun+XA_ves)/(S1 + gXgsph + gXg_jun+gXg_ves)
alfaBmic=1.0d0-alfaAmic
write(*,*)'gXgsph,rod,jun,ves',gXgsph,S1,gXg_jun,gXg_ves
write(*,*)'!aAmic=',alfaAmic
if(alfaA1/=0.and.alfaA1/=1.) KoefRasp=alfaBmic/(1.0d0-alfaA1)

```



```

print *,minx, micellesgXg,micellesgXg/0.018,minx/0.025/0.018

print *,alfaA1,(XAsph + XArod+XA_jun+XA_ves)/(S1 + gXgsph+ gXg_jun+gXg_ves),&      ! printing
solvent-free monomer fraction of comp A  and  fraction of A the in micelle

(minx*alfaA1 + XAsph + XArod+XA_jun+XA_ves)/(minx + gXgsph + S1+ gXg_jun+gXg_ves) ,&      !
printing gross (monomers+micelles) fraction of comp A  (solvent-free)

(S1 + gXgsph+ gXg_jun+gXg_ves)/(S0 + Xgsph+XA_jun+XA_ves),&

(S2 + g2Xgsph+g2Xg_jun+g2Xg_ves)/(S1 + gXgsph+ gXg_jun+gXg_ves),&      ! printing number-
averaged and weight-averaged aggregation numbers

cylopt,sphopt      ! printing optimal radius and optimal
composition: for cylinders and then for spheres

!!      if (Xg_jun.LT.1.0d-300) Xg_jun=1.d-300
      if (S0.LT.1.0d-300) S0=1.d-300
      if (Xgsph.LT.1.0d-300) Xgsph=1.d-300
write (21,*) alfaA1, alfaAmic,micellesgXg/0.018

!      print *, 'cylinders: S0 = ',S1 = ',S1, 'spheres: gXgsph = ',gXgsph,'junctions: Xg_jun = ',Xg_jun,'Total
aggregated= ',micellesgXg,'XtotA= ',XtotA,'XtotB= ',XtotB,minx

write
(*,'(/,2X,A16,3X,E13.4,3X,A7,E13.4,/,2X,A16,3X,E13.4,3X,A7,E13.4,/2X,A14,5X,E13.4,2X,A5,3X,E13.4,/,2X,A19,
E13.4,2X,A8,E13.4,/,2(25X,A16,3X,E13.4/),2X,A8,11X,E13.4,4X,A8,9X,E13.4,/))&

'Spheres: Xgsph= ', Xgsph,'gXgsph=',gXgsph,'Vesicles: Xg_ves= ', Xg_ves,'gXg_ves=',gXg_ves,&
'Cylinders: S0=',S0,' S1= ', S1,'Junctions: Xg_jun= ',Xg_jun,' gXgjun=',(njun*Xg_jun),&
'Tot.aggregated= ',micellesgXg,'Tot.monomers= ',minx,'Total A=',XtotA,'Total B=',XtotB
write (*,'(2X,A17,E11.4,3(1X,A4,E11.4)//,2X,A12,E10.4,2X,A5,E10.4,2X,A8,F8.3)')&

'Free      energy:      sph=',gsphopt,'cyl=',gcylopt,'      pl=',g_p,'ves',gvesopt,'jun=',g_j,'Aggr#:
Nsph=',nsph,'Nves=',nves,'Njun=',njun,'c/b jun=','(cjun/bjun)

!      if (s0==0.0d0)cycle
!!damp=-2

!      if (i==7) call shape_distrib      ! output of distributions for a desired
composition-point

rtrtr=1.0d-15
!stop

write (3,'(7(3X,E10.5),18(1X,E13.5),L2)') alfaA1,alfaAmic,alfaA_tot, sphopt(1,2), cylopt(1,2),
alfa_jun,alfavesopt, sphopt(1,1)/lssup, cylopt(1,1)/lssup,rvesopt/lssup !!bjun/lssup , cjun/bjun,&

!!      XAsph/Xgsph,XBsph/Xgsph,XArod/S0,XBrod/S0,XA_jun/Xg_jun,XB_jun/Xg_jun,nsph,njun,(S1 +
gXgsph+gXg_jun)/(S0 + Xgsph+Xg_jun),NagA_pl,NagB_pl,NagA_tor,NagB_tor,Ybig1

if(CsurA==0.and.CsurB==0.)then      ! CMC  calculation

write      (4,'(3(2X,E10.5),6(1X,E13.5),L2)')
alfaA1,alfaAmic,alfaA_tot,gsphopt,gcylopt,gvesopt,g_j,g_p,100.0d0*(micellesgXg/minx - 1.0d0)

write (2,'(3(2X,E10.5),6(2X,E13.5))') alfaA1,alfaAmic,(alfaA1+alfaAmic)/2.0,micellesgXg/0.018,(S1
+ gXgsph+gXg_ves)/(S0 + Xgsph+Xg_ves),nsph,X1A,X1B,&
100.0d0*(micellesgXg/minx - 1.0d0)      !(100*sqrt(miny*(X1A+X1B)**3/micellesgXg**2))

else      ! material balance
calculation

```

```

write (4,'(3(2X,E10.5),6(1X,E13.5),L2)')
alfaA1,alfaAmic,alfaA_tot,gsphopt,gcylopt,gvesopt,g_j,g_p,micellesgXg+minx !100.0d0*(1.0d0-
(micellesgXg+minx)/(XtotA+XtotB) )

if(alfaA1<1.0d-15.or.dabs(alfaA1-1.0d0)<1.0d-15)then
write (2,'(2(2X,E10.5),7(2X,E13.5))') alfaA1,alfaAmic,alfaA_tot,micellesgXg/0.018,(S1 +
gXgsph+gXg_ves)/(S0 + Xgsph+Xg_jun+Xg_ves),nsph,X1A,X1B,& ! (alfaA1+alfaAmic)/2.0
100.0d0*(1.0d0-(micellesgXg+minx)/(XtotA+XtotB))
else
write (2,'(2(2X,E10.5),9(2X,E13.5))') alfaA1,alfaAmic,alfaA_tot,micellesgXg/0.018,(S1 +
gXgsph+gXg_ves)/(S0 + Xgsph + Xg_jun + Xg_ves),nsph,X1A,X1B,& 100.0d0*(1.0d0-
(micellesgXg+minx)/(XtotA+XtotB) ),alfaA_tot/0.018,alfaB_tot/0.018 !100.0d0*(1.0d0-
(micellesgXg+minx)/(XtotA+XtotB) ),100.0d0*(1.0d0-alfaA_tot/XtotA),100.0d0*(1.0d0-alfaB_tot/XtotB)
write (*,'(2X,A20,E11.4)') 'tot.surf.B/A ratio= ', alfaB_tot/alfaA_tot
endif
endif
alfaA1=alfaA1+0.1d0
end do ! alfaA1 cycle
close(2)
close(3)
close(4)
close(11)
close(12)
close(14)
close(15)
close(16)
close(17)
close(88)
close(21)
end

!*****

subroutine datain (ex1,ex2)
implicit REAL*8 (A-H,O-Z)
integer, parameter :: ch = 9
real*8 MconstA(ch), MconstB(ch)
! 1 2 3 4 5 6 7 8 9
! Nc Vs ls a0 ap delta deltaH logic ddip
REAL*8 T,Pi,psi,k,e,Nav,sigmax,sigmaA,sigmaB,sigmasA,sigmasB,epsilon,&
nzero,krDeb,dchpotCH2,dchpotCH3,Cadd,CsurA,CsurB
CHARACTER*20 EX1,EX2
CHARACTER*8 TY(2)
COMMON /A/ T,Pi,psi,k,e,Nav,sigmax,sigmaA,sigmaB,sigmasA,sigmasB,epsilon,MconstA, MconstB,&
nzero,krDeb,dchpotCH2,dchpotCH3,Cadd,CsurA,CsurB

```

```

OPEN(UNIT=13,FILE='infile.txt')
  READ (13,507)
507 FORMAT (15X)
  Read (13,*) Ex1,Ex2
  READ (13,507)
  Read (13,*) Ty
if(Ty(1).eq.'cationic')MconstA(ch-1)=1.0
if(Ty(1).eq.'anionic ')MconstA(ch-1)=2.0
if(Ty(1).eq.'nonionic')MconstA(ch-1)=3.0
if(Ty(2).eq.'cationic')MconstB(ch-1)=1.0
if(Ty(2).eq.'anionic ')MconstB(ch-1)=2.0
if(Ty(2).eq.'nonionic')MconstB(ch-1)=3.0
  READ (13,507)
    READ (13, 508) T
508 FORMAT (F15.0)
  READ (13,507)
509 FORMAT (32X,F15.0)
510 FORMAT (45X,F15.0)
511 FORMAT (58X,F15.0)
512 FORMAT (22X,F15.0)
513 FORMAT (80X,F15.0)
    READ (13, 509) MconstA(1)
    MconstA(2)=0.0
    MconstA(3)=0.0
    MconstA(4)=0.0
    READ (13, 510) MconstA(5)
    READ (13, 511) MconstA(6)
    READ (13, 512) MconstA(7)
    READ (13, 513) MconstA(9)
  READ (13,507)
    READ (13, 509) MconstB(1)
    MconstB(2)=0.0
    MconstB(3)=0.0
    MconstB(4)=0.0
    READ (13, 510) MconstB(5)
    READ (13, 511) MconstB(6)
    READ (13, 512) MconstB(7)
    READ (13, 513) MconstB(9)
  READ (13,507)
    READ (13, 514) CsurA,CsurB,Cadd
514 FORMAT (3(E15.0/))
  CLOSE(13)
end
!*****

```

```

subroutine shape_distrib
implicit none
real*8 X1A,X1B,alfaA1,cylopt(1,2),sphopt(1,2),capopt(1,2),gg(1,2)
real*8 chpot,chpotcyl,g_sphNN
real*8 alfa, Nmin, Nmax, nn, nshag, Xg, Rleft,Rright,RUbound, vs, cff,Rsphopt,Rcap,Ncap, alfacap,
gcap,alfacyl,Rcyl,gcyl,grod,Y,wwju
real*8 r_patch,alfa_pl, g_p, alfa_jun,bjun,cjun,g_j, b,c, rat, gjun, g_jun2, g_tor, n_tor,n_pl,
njun,alfplane,alfa_aver,bpl,v_tor_b, v_patch
real*8 lsinf,lssup
common /lsformin/lsinf,lssup
COMMON /alfabound/right_alfa,left_alfa
REAL*8 right_alfa,left_alfa

common /monomers/ X1A,X1B,alfaA1
common /geomopt/ cylopt,capopt,sphopt,Y
common /optpl/ r_patch,alfa_pl, g_p
common /optjun/ alfa_jun, bjun,cjun,g_j

OPEN(UNIT=19,FILE='Distrib_sphANDcyl.txt')
OPEN(UNIT=20,FILE='Distrib_junc.txt')

!spheres
Rsphopt = sphopt(1,1)
alfa = sphopt(1,2)
gg(1,2)=alfa
Rright = RUbound(alfa)
Rleft = 0.2d0*Rright
! 0.2d0*Rright
cff = 4./3.*3.1415926/vs(alfa)
Nmax = cff*Rright**3
Nmin = cff*Rleft**3
do nn=Nmin,Nmax, 1.0d0
gg(1,1)=(nn/cff)**0.33333333
g_sphNN= chpot(gg)
if (alfaA1<1.0d-15.or.dabs(alfaA1-1)<1.0d-15)then
Xg = (X1A*alfa+X1B*(1.d0 - alfa))*dexp(- g_sphNN)
else
Xg = (X1A**(alfa))*(X1B**((1.0d0 - alfa)))*dexp(- g_sphNN)
endif
Xg=Xg**nn
write (19, '(5(2X,E12.6))') nn, Xg, nn*Xg, Xg*nn**2,g_sphNN
enddo

```

```

! cylinders
Rcap = capopt(1,1)
alfacap = capopt(1,2)
cff = 4./3.*3.1415926/vs(alfacap)
Ncap = cff*Rcap**3
print *, 'Ncap= ', Ncap
gg=capopt
gcap= chpot(gg)
Rcyl = cylopt(1,1)
alfacyl=cylopt(1,2)
gg = cylopt
gcyl = chpotcyl(gg)
nn=Ncap
nshag=1.0d0
do while (nn<1.d4)
  alfa = alfacyl +Ncap*(alfacap-alfacyl)/nn
  grod = gcyl +Ncap*(gcap-gcyl)/nn

  if (alfa<1.0d-15.or.dabs(alfa-1.0d0)<1.0d-15)then
    Xg = (X1A*alfa+X1B*(1.d0 - alfa))*dexp(-grod)
  else
    Xg = (X1A**alfa)*(X1B**(1.0d0 - alfa))*dexp(-grod)
  endif
  Xg=Xg**nn
  write (19,'(6(2X,E12.6))') nn,Xg, nn*Xg, Xg*nn**2,grod,gcyl
  nshag = 1.5d0*nshag
  nn=nn+nshag
enddo

! junctions
alfa=alfa_jun                                ! this is actually  alfa  for toroid part in the optimal junction
b=bjun                                         ! this is b toroid for an optimal junction

bpl=r_patch                                  ! this is b for the plane in the optimal junction (optimal plane in this version)

alfplane = alfa_pl
!      this is alfa for the plane in the optimal junction (optimal plane in this version)
do rat=1.5d0, 250.0d0, 0.5d0
  c=rat*b
  n_tor =  v_tor_b(b,c)/vs(alfa)
  n_pl =  v_patch(bpl,c)/vs(alfplane)
  njun = n_tor+n_pl
  gjun = (n_tor*g_tor(b,c,alfa)+n_pl*g_p)/njun
  alfa_aver = (n_tor*alfa + n_pl*alfplane)/njun

```

```

nn = njun
if (alfa_aver<1.0d-15.or.dabs(alfa_aver-1.0d0)<1.0d-15)then
elsewhere it is better to use alfaA1 an place of alfa when processing the pure component
Xg = (X1A*alfa_aver+X1B*(1.d0 - alfa_aver))*dexp(-gjun)
wwju = dlog(X1A*alfa_aver+X1B*(1.d0 - alfa_aver))
else
Xg = (X1A**alfa_aver)*(X1B**(1.0d0 - alfa_aver))*dexp(-gjun)
wwju = alfa_aver*dlog(X1A)+ (1.0d0 - alfa_aver)*dlog(X1B)
endif
if (Xg<1.0d0)then
Xg=Xg**nn
else
Xg=1.0d0
endif
write (20,'(12(2X,E12.6))' ) nn,Xg, nn*Xg,
Xg*nn**2,gjun,g_jun2(b,c,alfa),n_tor,n_pl,alfa_aver,alfa,alfplane,nn*(wwju-gjun)
enddo
close(19)
close(20)
return
end
!*****

subroutine micelles(X1,Ybig1,micellesgXg)
implicit none
real*8 X1A,X1B,alfaA1,X1
real*8 njun,gXg_jun,g2Xg_jun,Xg_jun,XA_jun,XB_jun
real*8 gXg_ves,g2Xg_ves,Xg_ves,XA_ves,XB_ves
common /monomers/ X1A,X1B,alfaA1
real*8 lsinf,lssup
logical Ybig1
common /lsformin/ lsinf,lssup
real*8 Xzero(1,2),S0,S1,S2,XArod,XBrod,nsph,gXgsph,g2Xgsph,micellesgXg,Xgsph,XAsph,XBsph
common /exitvalue/ S0,S1,S2,XArod, nsph,gXgsph,g2Xgsph,Xgsph,XAsph,XBsph,XBrod
common/exitjun/ njun,gXg_jun,g2Xg_jun,Xg_jun,XA_jun,XB_jun
common/exitves/gXg_ves,g2Xg_ves,Xg_ves,XA_ves,XB_ves
X1A = X1*alfaA1
X1B = X1*(1.0d0 - alfaA1)
!!!!!!!!!!!!!!!!!!!!!!!!!!!!!!!!!!!!!!!!!!!!!!!!!!!!!!!!!!!!!!!!!!!!!!!!!!!!!!!!!!!!!!!!!!!!!!!!!!!!!!!!!!!!!!!!!!!!!!!!
!!!!!!!!!!!!!!!!!!!!!!!!!!!!!!!!!!!!!!!!!!!!!!!!!!!!!!!!!!!!!!!!!!!!!!!!!!!!!!!!!!!!!!!!!!!!!!!!!!!!!!!!!!!!!!!!!!!!!!!!
Xzero(1,1) = lsinf
!!!!!!!!!!!!!!!!!!!!!!!!!!!!!!!!!!!!!!!!!!!!!!!!!!!!!!!!!!!!!!!!!!!!!!!!!!!!!!!!!!!!!!!!!!!!!!!!!!!!!!!!!!!!!!!!!!!!!!!!
Xzero(1,1) = lssup*0.8
Xzero(1,1) = 0.5*lsinf+0.5*lssup
Xzero(1,2) = 0.5d0

call gXgrod(Xzero,S0,S1,S2,XArod,XBrod,nsph,Ybig1)
if (Ybig1 .eqv..true.) return

```

```

call gXgsphsub(nsph,gXgsph,g2Xgsph,Xgsph,XAsph,XBsph,Ybig1)
if (Ybig1 .eqv..true.) return
gXg_jun = 0.0d0
!!call gXgjunsub(njun,gXg_jun,g2Xg_jun,Xg_jun,XA_jun,XB_jun,Ybig1)
!!if (Ybig1 .eqv..true.) return
call gXgvessub(gXg_ves,g2Xg_ves,Xg_ves,XA_ves,XB_ves,Ybig1)
if (Ybig1 .eqv..true.) return
micellesgXg = S1 + gXgsph + gXg_jun+gXg_ves
return
end
!*****
subroutine gXgvessub(gXg_ves,g2Xg_ves,Xg_ves,XA_ves,XB_ves,Ybig1)
implicit none
real*8 X1A,X1B,alfaA1
real*8 nves !,gXg_ves,g2Xg_ves,Xg_ves,XA_ves,XB_ves
logical Ybig1
common /monomers/X1A,X1B,alfaA1
real*8 lsinf,lssup,ls_min
common /lsformin/lsinf,lssup
COMMON /alfabound/right_alfa,left_alfa
REAL*8 xguess(3), x(3), ftol, s, g_v,g_ves,chpot,aINT,bINT
double precision sg1,sg2,s1,sA,sB,gXg_ves,g2Xg_ves,Xg_ves,XA_ves,XB_ves
REAL*8 right_alfa,left_alfa,fves !,s1,s2,sA,sB
real*8 nvesi,nveso,agg_ves,agg_vesi,agg_veso,n
common /border_ves/aINT,bINT
integer, parameter :: ch = 9
real*8 MconstA(ch), MconstB(ch)
! 1 2 3 4 5 6 7 8 9
! Nc Vs ls a0 ap delta deltaH logic ddip
REAL*8 T,Pi,psi,k,e,Nav,sigmaw,sigmaA,sigmaB,sigmasA,sigmasB,epsilon,&
nzero,krDeb,dchpotCH2,dchpotCH3,Cadd,CsurA,CsurB
COMMON /A/ T,Pi,psi,k,e,Nav,sigmaw,sigmaA,sigmaB,sigmasA,sigmasB,epsilon,MconstA, MconstB,&
nzero,krDeb,dchpotCH2,dchpotCH3,Cadd,CsurA,CsurB
!external fves
REAL*8 a_veso,a_vesi,a_vi,a_vo
if ((alfaA1.LE.1.0d-10).or.(alfaA1.GE.1.0d0-1.0d-14)) return
Ybig1 = .false.
sg1=0.0d0
ls_min=lsinf/0.3d0
aINT=12.0d0*ls_min
bINT=101.01*ls_min
call qtrap(aINT,bINT,sg1,sg2,s1,sA,sB) !integral over r_ves to find gXg_ves and others
if(s1.eq.100) then
Ybig1 = .true.

```

```

return
end if
  gXg_ves = sg1
  g2Xg_ves = sg2
  Xg_ves = s1
  XA_ves = sA
  XB_ves = sB
return
end subroutine
!*****
subroutine gXgjunsub(njun,gXg_jun,g2Xg_jun,Xg_jun,XA_jun,XB_jun,Ybig1)
implicit none
real*8 X1A,X1B,fcyl,fsph,alfaA1
real*8 njun,n_tor,n_pl,gXg_jun,g2Xg_jun,Xg_jun,XA_jun,XB_jun,vs,c_jun,v_patch,v_tor_b,g_jun2
external fcyl,fsph
logical Ybig1
common /monomers/ X1A,X1B,alfaA1
real*8 lsinf,lssup,bleft,bright,Rubound
common /lsformin/ lsinf,lssup
COMMON/alfabound/right_alfa,left_alfa
real*8 gcyllopt,alfacylopt,Rcyllopt,alfasphopt,Rsphopt,gsphopt
REAL*8 xguess(4), x(4), ftol, s, g_p, g_j
REAL*8 b, bjun, cjun, r_patch, alfa,r_pl,alfa_pl,alfa_jun,Xgiteration
REAL*8 right_alfa,left_alfa, fcn_pl,g_pl,fcn_jun
integer depend
  COMMON/control/depend
common /optcyl/ alfacylopt,Rcyllopt,gcyllopt
common /optsph/ alfasphopt,Rsphopt,gsphopt
common /optpl/ r_patch,alfa_pl, g_p
common /optjun/ alfa_jun, bjun,cjun,g_j
integer, parameter :: ch = 9
real*8 MconstA(ch), MconstB(ch)
! 1 2 3 4 5 6 7 8 9
! Nc Vs ls a0 ap delta deltaH logic ddip
REAL*8 T,Pi,psi,k,e,Nav,sigmaw,sigmaA,sigmaB,sigmasA,sigmasB,epsilon,&
  nzero,krDeb,dchpotCH2,dchpotCH3,Cadd,CsurA,CsurB
COMMON /A/ T,Pi,psi,k,e,Nav,sigmaw,sigmaA,sigmaB,sigmasA,sigmasB,epsilon,MconstA, MconstB,&
  nzero,krDeb,dchpotCH2,dchpotCH3,Cadd,CsurA,CsurB
external fcn_pl,fcn_jun, fcn_pl_pure, fcn_jun_pure , fcn_junmax , fcn_jun_pureMAX

Ybig1 = .false.
b=Rcyllopt !initial values as in opt cylinder
! PURE COMPONENT CALCULATIONS
if (alfaA1<1.0d-15.or.dabs(alfaA1-1)<1.0d-15)then

```



```

bright=RUbound(alfaA1)
bleft=0.3d0*bright
! changed from 0.2
xguess(1) = Rcylopt/bright
x(1)= xguess(1) ! when optimization is turned off
s=1.0d-7
ftol=1.0d-9
CALL dumpol(fcn_pl_pure,1,xguess,s,ftol,1000,x,g_p)
r_pl=x(1)*bright
alfa_pl=alfaA1
if (r_pl.LT.bleft) r_pl=bleft
if (r_pl.GT.bright) r_pl=bright
g_p=g_pl(r_pl,alfa_pl)
r_patch=r_pl ! r_patch is an optimal parameter for the plane
! optimization for junction
depend=0 !0 means true. We use g_jun2 instead of g_jun
xguess(1) = Rcylopt/bright
xguess(2) = xguess(1)*10.00d0
s=0.003d0
ftol=1.0d-9
CALL dumpol(fcn_jun_pureMAX,2,xguess,s,ftol,10000,x,g_j)
bjun=x(1)*bright
cjun=x(2)*bright
alfa_jun=alfaA1
if (bjun.LT.bleft) bjun=bleft
if (bjun.GT.bright) bjun=bright
if ((cjun/bjun).LT.1.10d0) cjun=1.10d0*bjun
if ((cjun/bjun).GT.100.0d0) cjun=100.0d0*bjun
g_j=g_jun2(bjun,cjun,alfa_jun)
alfa=alfa_jun
njun = (v_tor_b(bjun,cjun)+v_patch(r_patch,c_jun))/vs(alfa_jun)
n=njun
Xgiteration = (X1A*alfa+X1B*(1.d0 - alfa))*dexp(- g_j)
! XA1 or XB1 for pure component, depending on alfa
if(Xgiteration>=1.) then
Ybig1 = .true.
return
end if
Xgiteration = Xgiteration**n
gXg_jun = n*Xgiteration
g2Xg_jun = Xgiteration*n**2
Xg_jun = Xgiteration
XA_jun = n*alfa*Xgiteration
XB_jun = n*(1.d0-alfa)*Xgiteration

```

```

return
endif                                ! end of calculation for pure components
!  CALCULATION FOR MIXTURES
alfa=alfacylopt
! optimization for plane
left_alfa = 1.0d-14                  !0.0d0
right_alfa = 1.0d0-                  1.0d-14                  !1.0d0

xguess(1) = Rcylopt/lssup
xguess(2) = alfacylopt
x(1)= xguess(1)                      ! when optimization is turned off
x(2)= xguess(2)
s=1.0d-7
ftol=1.0d-9
CALL dumpol(fcn_pl,2,xguess,s,ftol,1000,x,g_p)
r_pl=x(1)*lssup
alfa_pl=x(2)
!write(*,*) 'planeYYY',r_pl,alfa_pl
if (r_pl.LT.lsinf) r_pl=lsinf
if (r_pl.GT.lssup) r_pl=lssup
if (alfa_pl.LT.left_alfa) alfa_pl=left_alfa
if (alfa_pl.GT.right_alfa) alfa_pl=right_alfa
g_p=g_pl(r_pl,alfa_pl)
r_patch=r_pl                          ! r_patch is an optimal parameter for the plane

! optimization for junction
depend=0                             !0 means true. We use g_jun2 instead of g_jun
xguess(1) = Rcylopt/lssup
xguess(2) = xguess(1)*10.00d0
xguess(3) = alfacylopt
s=0.003d0
ftol=1.0d-9
CALL dumpol(fcn_junMAX,3,xguess,s,ftol,10000,x,g_j)
!      fcn_jun  -minimizes free energy
!write(*,*) 'junction',g_j,x(1),x(2),x(3)
bjun=x(1)*lssup
cjun=x(2)*lssup
alfa_jun=x(3)
if (bjun.LT.lsinf) bjun=lsinf
if (bjun.GT.lssup) bjun=lssup
if (alfa_jun.LT.left_alfa) alfa_jun=left_alfa
if (alfa_jun.GT.right_alfa) alfa_jun=right_alfa
if ((cjun/bjun).LT.1.10d0) cjun=1.10d0*bjun
if ((cjun/bjun).GT.100.0d0) cjun=100.0d0*bjun

```

```

        g_j=g_jun2(bjun,cjun,alfa_jun)
n_tor =  v_tor_b(bjun,cjun)/vs(alfa_jun)
n_pl =  v_patch(r_patch,c_jun)/vs(alfa_pl)
njun = n_tor+n_pl
alfa = (n_tor*alfa_jun + n_pl*alfa_pl)/njun
n=njun
Xgiteration = (X1A**(alfa))*(X1B**((1.d0 - alfa)))*dexp(- g_j)

if(Xgiteration>=1.) then
    Ybig1 = .true.
    return
end if

    Xgiteration = Xgiteration**n
    gXg_jun = n*Xgiteration
    g2Xg_jun = Xgiteration*n**2
    Xg_jun = Xgiteration
    XA_jun = n*alfa*Xgiteration
    XB_jun = n*(1.d0-alfa)*Xgiteration

return
end subroutine

!*****
subroutine gXgro(Xzero,S0,S1,S2,XArod,Xbrod,nsph,Ybig1)
implicit none
real*8 X1A,X1B,Xzero(1,2),fcyl,fsph,XXeps(1,2),chpotcyl
external fcyl,fsph
common /monomers/ X1A,X1B,alfaA1
real*8 S0,S1,S2,XArod,XBrod,nsph,minX(1,2), minZ,Y,V,VV
logical Ybig1
real*8 lsinf,lssup
common /lsformin/ lsinf,lssup
real*8 gcyllopt,alfacylopt,Rcyllopt,alfasphopt,Rsphopt,gsphopt
common /optcyl/ alfacylopt,Rcyllopt,gcyllopt
common /optsph/ alfasphopt,Rsphopt,gsphopt
real*8 cylopt(1,2),capopt(1,2),sphopt(1,2),chpot,J,lnK,alfaA1,vs
common /geomopt/ cylopt,capopt,sphopt,Y
real*8 XX(1,2),logicalcoord,minxx,minyy,bleft,bright,RUbound
common /coordsquarecom / logicalcoord,XX
data XXeps/0.001,0.005/
external chpot
Ybig1 = .false.

if (alfaA1<1.0d-15.or.dabs(alfaA1-1)<1.0d-15)then
logicalcoord=2.

```

```

XX(1,2)=alfaA1
bright=RUbound(alfaA1)
bleft =0.3d0*bright
call golden(fcyl,bleft,bright,0.1d-04,minxx,minyy)
alfacylopt=alfaA1
Rcylopt=minxx
minX(1,1)=Rcylopt
minX(1,2)=alfacylopt
cylopt = minX
gcylopt = chpotcyl(minX)
Y = (X1A*alfacylopt+X1B*(1.d0 - alfacylopt))*dexp(-gcylopt)
X1B or X1A, respectively
! when alfaA1=0 or 1 gives
if(Y>=1.) then
  Ybig1 = .true.
  return
end if
call golden(fsph,bleft,bright,0.1d-04,minxx,minyy)
Rsphopt=minxx
alfasphopt=alfaA1
minX(1,1)= Rsphopt
minX(1,2)=alfasphopt
sphopt = minX
capopt = minX
gsphopt=chpot(minX)
nsph = 4./3.*3.1415926*Rsphopt**3/vs(alfasphopt)
lnK = nsph*(gsphopt - gcylopt)
VV = -lnK+nsph*dlog(Y)
if (VV<0) then
  S0 = dexp(VV)/(1.0d0 - Y)
  S1 = (nsph + Y/(1.0d0 - Y))*S0
  ! S1rod Sum of all (nA+nB)*XnAnB for cylinders
  S2 = (nsph + Y/(1.0d0 - Y))*S1 + Y/(1.0d0 - Y)*(1.0d0 + Y/(1.0d0 - Y))*S0
  ! Sum of all (nA+nB)^2*XnAnB (misprint in Vasya's eq.2.4.12)
  XArod = alfacylopt*S1
  XBrod = (1.0d0-alfacylopt)*S1
else
  Ybig1 = .true.
endif
return
endif ! end of pure component part
call coordsquare(fcyl,Xzero,lsinf,lssup,0.1d-04,1.0d-14,(1.d0-1.0d-14),0.3d-7,XXeps,minX,minZ)
alfacylopt = minX(1,2)
Rcylopt = minX(1,1)
cylopt = minX

```

```

gcylopt = chpotcyl(minX)
Y = (X1A**alfacylopt)*(X1B**(1. - alfacylopt))*dexp(-gcylopt)
if(Y>=1.) then
  Ybig1 = .true.
  return
end if
!*****probe:
call coordsquare(fsph,Xzero,lsinf,lssup,0.1d-04,1.0d-14,(1.d0-1.0d-14),0.3d-7,XXeps,minX,minZ)

sphopt = minX
capopt = minX
alfasphopt=minX(1,2)
Rsphopt= minX(1,1)
gsphopt=chpot(minX)
nsph = 4./3.*3.1415926*Rsphopt**3/vs(alfasphopt)
lnK = nsph*(gsphopt - gcylopt)

J = nsph*(alfasphopt - alfacylopt)
VV = J*dlog(X1A/X1B)-lnK+nsph*dlog(Y)
if (VV<0) then      !      check whether the fraction of cylinders is < 1
S0 = dexp(VV)/(1.0d0 - Y)
S1 = (nsph + Y/(1.0d0 - Y))*S0
! S1rod Sum of all (nA+nB)*XnAnB for cylinders
S2 = (nsph + Y/(1.0d0 - Y))*S1 + Y/(1.0d0 - Y)*(1.0d0 + Y/(1.0d0 - Y))*S0      !      Sum      of      all
(nA+nB)^2*XnAnB      (misprint in Vasya's eq.2.4.12)
XArrod = alfacylopt*S1 + J*S0
XBrod = (1.0d0-alfacylopt)*S1-J*S0
endif
return
end subroutine
!*****
subroutine gXgsphsub(nsph,gXgsph,g2Xgsph,Xgsph,XAsph,XBsph,Ybig1)
implicit none
logical Ybig1
real*8 nsph,gXgsph,g2Xgsph,alfa,chag,n,nsphint,Xgsph,Xgiteration,XAsph,XBsph
real*8 vs,chpot,alfaA1,fsph_max,fsph_gmax, Xzero(1,2),XXeps(1,2),minX(1,2), minZ
integer nsphere, nn
real*8 X1A,X1B,alfasphopt,Rsphopt,gsphopt, R,gg(1,2)
real*8 lsinf,lssup
real*8 XX(1,2),logicalcoord,minxx,minyy,bleft,bright,RUbound
real*8 cylopt(1,2),sphopt(1,2),capopt(1,2),Y
common /geomopt/ cylopt,capopt,sphopt,Y
common /coordsquarecom / logicalcoord,XX
common /lsformin/ lsinf,lssup

```

```

common /monomers/ X1A,X1B,alfaA1
common /optsph/ alfasphopt,Rsphopt,gsphopt
data XXeps/0.001,0.005/
external chpot,fsph_max,fsph_gmax
Ybig1 = .false.
XAsph = 0.
XBsph = 0.
Xgsph = 0.
gXgsph = 0.
g2Xgsph = 0.
if (alfaA1<1.0d-15.or.dabs(alfaA1-1)<1.0d-15) then
or B
! pure component A
    alfa = alfaA1
    logicalcoord=2.
    XX(1,2)=alfa
    bright=RUbound(alfa)
    bleft =0.4d0*bright
    call golden(fsph_gmax,bleft,bright,0.1d-04,minxx,minyy)
    Rsphopt=minxx
    alfasphopt=alfa
    minX(1,1)= Rsphopt
    minX(1,2)=alfasphopt
    sphopt = minX
    gsphopt=chpot(minX)
    Xgiteration = (X1A*alfa+X1B*(1.d0 - alfa))*dexp(-gsphopt)
    if(Xgiteration>=1.) then
        Ybig1 = .true.
        return
    end if
    nsph = 4./3.*3.1415926*Rsphopt**3/vs(alfa)
    write(*,*)'sph=',nsph,Xgiteration
    n=nsph
        Xgiteration = Xgiteration**n
        gXgsph = gXgsph + n*Xgiteration
        g2Xgsph = g2Xgsph + Xgiteration*n**2
        Xgsph = Xgsph + Xgiteration
        XAsph = XAsph + n*alfa*Xgiteration
        XBsph = XBsph + n*(1.d0-alfa)*Xgiteration
    return
endif
!
MIXTURES A+B
Xzero(1,1) = Rsphopt
Xzero(1,2) = alfasphopt
call coordsquare(fsph_gmax,Xzero,lslinf,lssup,0.1d-04,1.0d-14,(1.d0-1.0d-14),0.3d-7,XXeps,minX,minZ)

```

```

    alfasphopt=minX(1,2)
    Rsphopt= minX(1,1)
    sphopt = minX
    gsphopt=chpot(minX)
    alfa =alfasphopt
    nsph = 4./3.*3.1415926*Rsphopt**3/vs(alfa)          ! spheres present at maximum concentration at
current monomer fraction
    n = nsph                                           !               if we prefer real aggr numbers
    R = (3.0d0/4./3.1415926*n*vs(alfa))**0.3333333
    gg(1,1) = R
    gg(1,2) = alfa
    Xgiteration = (X1A**(alfa))*(X1B**((1.0d0 - alfa)))*dexp(- chpot(gg))

if(Xgiteration>=1.) then
    Ybig1 = .true.
    return
end if

    Xgiteration = Xgiteration**n
    gXgsph = gXgsph + n*Xgiteration
    g2Xgsph = g2Xgsph + Xgiteration*n**2
    Xgsph = Xgsph + Xgiteration
    XAsph = XAsph + n*alfa*Xgiteration
    XBsph = XBsph + n*(1.d0-alfa)*Xgiteration

return
end subroutine
!***** subroutine CMC
(X1,Ybig1,CMCfun)
implicit none
real*8 X1,CMCfun,micellesgXg
real*8 X1A,X1B,alfaA1,XtotA,XtotB
logical Ybig1
common/gross_mfrac/XtotA,XtotB
common /monomers/ X1A,X1B,alfaA1

call micelles(X1,Ybig1,micellesgXg)
if(micellesgXg>=1.2d0) Ybig1 = .true.
print *, 'from CMC ',Ybig1,micellesgXg, X1
if (Ybig1 .eqv..true.) return
if(XtotA==0.and.XtotB==0.)then
    CMCfun = (micellesgXg - X1)**2./X1**3.  ! THIS FUNCTION IS USED FOR CMC-calculation
else
    CMCfun = (XtotA+XtotB-micellesgXg - X1)**2./X1**3.      ! Material Balance
    !CMCfun = (0.080*0.018-micellesgXg - X1)**2./X1**3.  !(0.025*0.018 - X1 - micellesgXg)**2.
endif

```

```

return
end subroutine

!*****integrals for vesicles *****

subroutine trapzd(aINT,bINT,s1,n,s2,s,sA,sB)      ! to make value of integral more precise
INTEGER n
double precision aINT,bINT,s,fgXgves,s1,s2,sA,sB,t,tA,tB,A,B,told
real*8 nves,nA,nB,nX,alfa,alfaA,alfaB,alfaX,alfaXold,nXold
common /integral/nves,alfa
EXTERNAL fgXgves
INTEGER it,counter
double precision del,sum,tnm,x,sum2,sum1,sumA,sumB,delN

if (n.eq.1) then
    tA=fgXgves(aINT,bINT)
    nA=nves                                !Aint
    A=nA
    alfaA=alfa
    if (tA.ge.1.0d0) then
        s1=100
        return
    end if

    tB=fgXgves(bINT,bINT)
    nB=nves                                !Bint
    B=nB
    alfaB=alfa
    if (tB.ge.1.0d0) then
        s1=100
        return
    end if

    s1=0.5d0*(B-A)*(tA+tB)
    s=0.5d0*(B-A)*(tA/nA+tB/nB)
    s2=0.5d0*(B-A)*(nA*tA+nB*tB)
    sA=0.5d0*(B-A)*(alfaA*tA+alfaB*tB)
    sB=0.5d0*(B-A)*((1-alfaA)*tA+(1-alfaB)*tB)
else
    it=2**(n-2)
    tnm=it
    del=(bINT-aINT)/tnm                    !deltaR
    x=aINT+0.5d0*del                       !Ri
    sum1=0.0d0
    sum=0.0d0
    sum2=0.0d0

```



```

sumA=0.0d0
sumB=0.0d0
do counter=1,it
t=fgXgves(x,bINT)
nX=nves
alfaX=alfa

if (t.ge.1.0d0) then
s1=100
return
end if
if (counter.eq.1) then
nXold=nX
told=t
alfaXold=alfaX
else
delN=0.5d0*(nX-nXold)
sum1=sum1+(t+told)*delN
sum=sum+(t/nX+told/nXold)*delN
sum2=sum2+(nX*t+told*nXold)*delN
sumA=sumA+(alfaX*t+told*alfaXold)*delN
sumB=sumB+((1-alfaX)*t+told*(1-alfaXold))*delN
x=x+del
nXold=nX
told=t
alfaXold=alfaX
endif
enddo
s1=sum1
s=sum
s2=sum2
sA=sumA
sB=sumB
if (s1.ge.1.0d0) then
s1=100
return
end if
endif
return
END

```

```

!*****

```

(sB) subroutine qtrap(aINT,bINT,s1,s2,s,sA,sB) !integrals to find gXgves (s),g2Xgves (s2),gXAves (sA),gXBves

```

integer JMAX
double precision aINT,bINT,fgXgves,s,EPS,s2,sA,sB,s1

EXTERNAL fgXgves
PARAMETER (EPS=1.e-1,JMAX=15)
integer n
double precision olds1
olds1=-1.e-30
      do n=1,JMAX
      call trapzd(aINT,bINT,s1,n,s2,s,sA,sB)
      if (s1.eq.100.0d0) then
return
endif

      if (n.gt.5) then
      if (s1.le.1.0d-50) then
            if (dabs(s1-olds1).lt.2*EPS*dabs(olds1).or.(s1.le.1.0d-100)) then
            return
            end if
      else
            if (dabs(s1-olds1).lt.EPS*dabs(olds1).or.(s1.le.1.0d-100)) then
            return
            end if
      end if
      end if
      olds1=s1
      end do
      pause "too many steps in qtrap"
return
END
!*****
double precision function fgXgves(a,bINT)
IMPLICIT none
Common /ves_dumpol/r_ves
REAL*8 r_ves,tauo,taui,alfao,alfai,alfa,nveso,nvesi,nves,a,b,bINT,vs
common /monomers/ X1A,X1B,alfaA1
real*8 lsinf,lssup,agg_vesi,agg_veso,agg_ves,X1A,X1B,alfaA1,n
common /lsformin/ lsinf,lssup
common /integral/ nves,alfa
double precision  Xgiteration
REAL*8 xguess(3), x(3), ftol, s, g_v,g_ves,chpot,fves,ls_min,f2ves,fmin,C
external fves,f2ves
integer, parameter :: ch = 9
real*8 MconstA(ch), MconstB(ch),chpotmin,alfaimin,alfaomin,tauimin,tauomin

```

```

REAL*8  T,Pi,psi,k,e,Nav,sigmaw,sigmaA,sigmaB,sigmasA,sigmasB
real*8  epsilon,nzero,krDeb,dchpotCH2,dchpotCH3,Cadd,CsurA,CsurB
COMMON /A/ T,Pi,psi,k,e,Nav,sigmaw,sigmaA,sigmaB,sigmasA,sigmasB, &
epsilon,MconstA, MconstB, &
nzero,krDEb,dchpotCH2,dchpotCH3,Cadd,CsurA,CsurB
Common /ves_dumpol1/alfao,alfai
Common /tauotau/C
integer i
r_ves=a
b=bINT    !not used
ls_min=lsinf/0.3d0
fmin=1000
chpotmin=1000
do alfao=0.25d0,0.65d0,0.02d0
do alfai=0.25d0,0.65d0,0.02d0
xguess(1)=1.182                !for tau=tauo+taui  !0.7 for Cmim+SDBS
s=1.0d-7
ftol=5.0d-11
C=0.9d0
CALL dumpol(f2ves,1,xguess,s,ftol,10000,x,g_v)
      tauo=x(1)*ls_min/(1+C)
      taui=C*tauo

      chpot=g_ves(r_ves,tauo,taui,alfao,alfai)
      nvesi=agg_vesi(r_ves,taui,alfai)
nveso=agg_veso(r_ves,tauo,taui,alfao)
nves=agg_ves(r_ves,tauo,taui,alfao,alfai)
alfa = (alfao*nveso+ alfai*nvesi)/nves
g_v=g_ves(r_ves,tauo,taui,alfao,alfai)-alfa*dlog(X1A)-(1.0d0-alfa)*dlog(X1B)
if (g_v.LT.fmin) then
      fmin=g_v
      chpotmin=chpot
      alfaomin=alfao
      alfaimin=alfai
      tauomin=tauo
      tauimin=taui
      endif
      enddo
      enddo
      chpot=chpotmin
      alfao=alfaomin
      alfai=alfaimin
      tauo=tauomin
      taui=tauimin

```

```

nvesi=agg_vesi(r_ves,taui,alfai)
nveso=agg_veso(r_ves,tauo,taui,alfao)
nves=agg_ves(r_ves,tauo,taui,alfao,alfai)
alfa = (alfao*nveso+ alfai*nvesi)/nves

g_v=g_ves(r_ves,tauo,taui,alfao,alfai)-alfa*dlog(X1A)-(1.0d0-alfa)*dlog(X1B)
!chpot=g_ves(r_ves,tauo,taui,alfao,alfai)
n=nves
Xgiteration = (X1A**(alfa))*(X1B**(1.-alfa))*dexp(- chpot)
if(Xgiteration>=1.) then
  fgXgves =100      !Ybigl=true
  return
end if
      fgXgves=dlog(n)+n*dlog(Xgiteration)
      fgXgves = dexp(fgXgves)
RETURN
END
! ***** Main Functions: chemical potential of sphere *****
real*8 function chpot (gg)
implicit none
REAL*8 StericFrEn,DefFrEn,TransferFrEn, g_ion_nlin, g_ion, & ! chem potential of spherical molcelle
      InterfacialFrEn,Ohshima_g_diff,MixFrEn, g_def
real*8 gg(1,2)
integer Ldamp
real*8 H,CH2LGTH,VTAILA,VTAILB,VHEADA,VHEADB, gsh
REAL*8 a,Cadd,P,Rs,X1A,X1B,Vs,alfagA,DifStandChPot,alfaA1,g_zwitter
integer, parameter :: ch = 9
real*8 MconstA(ch), MconstB(ch) ! surfactant molecular parameters:
! 1 2 3 4 5 6 7 8 9
! Nc Vs ls a0 ap delta deltaH logic ddip
! logic = 1 - cationic surfactant, 2 - anionic surfactant, 3 - nonionic surfactant: ddip<0 - nonpolar; ddip>0 -
dipole length for zwitterionic surfactant
REAL*8 T,Pi,psi,k,e,Nav,sigmaw,sigmaA,sigmaB,sigmasA,sigmasB,epsilon,&
      nzero,krDeb,dchpotCH2,dchpotCH3,CsurA,CsurB
CHARACTER*3 shape
CHARACTER*8 MDL
COMMON /A/ T,Pi,psi,k,e,Nav,sigmaw,sigmaA,sigmaB,sigmasA,sigmasB,epsilon,MconstA, MconstB,&
      nzero,krDeb,dchpotCH2,dchpotCH3,Cadd,CsurA,CsurB
COMMON /Y/ H,VheadA,VheadB,VtailA,VtailB,CH2lgth
COMMON /word/ MDL
real*8 tip ! tip = 1 - вычисления для сфер, 2 - вычисления для цилиндров
common /tip/ tip
common /monomers/ X1A,X1B,alfaA1
common /out/ ldamp

```

```

real*8 alfagion, delta, adelta,s,x0, a_sph, achrg
tip = 1.
alfagA = gg(1,2)
Rs = gg(1,1)

a = a_sph(Rs,alfagA)
P = vs(alfagA)/a/Rs

if(Mdl.eq.'new') then                                ! new model - complex corona structure
shape = 'sph'
DifStandChPot = DefFrEn(Rs,P,alfagA) + TransferFrEn(alfagA) + MixFrEn(alfagA) +&
InterfacialFrEn(a,alfagA)
call shell (shape,alfagA,Rs,gsh)
if (MconstA(8)/=3.or.MconstB(8)/=3.) then
    call alf_ion_Deb(alfagA,alfagion,delta)            ! calculate ionic composition of the micelle
and Debye length at current monomer fractions of ionic surfactants
    achrg=adelta(2.0d0,alfagA,Rs+H,0.0,delta)          ! area per molecule at Rs+H+delta
    s = 4*Pi*alfagion*e**2/(epsilon*krDeb*achrg*(1.0d-16)*k*T)
    x0 = krDeb*(Rs + H + delta)*1.d-8
    DifStandChPot = DifStandChPot + Ohshima_g_diff(2.0d0, x0, s)
end if
chpot = gsh + DifStandChPot
if (ldamp.GT.0) write (11,('2X,F8.4,8(2X,E12.5)'))
alfagA,DefFrEn(Rs,P,alfagA),TransferFrEn(alfagA),MixFrEn(alfagA),&
InterfacialFrEn(a,alfagA),Ohshima_g_diff(2.0d0, x0, s),chpot,Rs,H
return
end if

if (MconstA(8)/=3.or.MconstB(8)/=3.) then            ! free energy of ionic micelles
    DifStandChPot = StericFrEn(a,alfagA) + g_def(Rs,0.0d0,alfagA,2.0d0) + TransferFrEn(alfagA) +&
    ! g_def(Rs,0.0,alfagA,2.0d0) - def part in our model DefFrEn(Rs,P,alfagA)
- Nagarajan def part
    InterfacialFrEn(a,alfagA) + MixFrEn(alfagA) + g_ion(Rs,0.0d0,alfagA,2.0d0) !
g_ion(Rs,0.0d0,alfagA,2.0d0) g_ion_nlin(alfagA,Rs,0.0,2.0d0) Ohshima_g_diff(2.0d0, x0, s) Electrostatics
else
    DifStandChPot = StericFrEn(a,alfagA) + DefFrEn(Rs,P,alfagA) + TransferFrEn(alfagA) +&
    ! free energy og nonionic micelles with deformation part as in Nagarajan model
    InterfacialFrEn(a,alfagA) + MixFrEn(alfagA)
end if
! ADD DIPOLAR PART of FREE ENERGY
if (MconstA(9).GT.0.or.MconstB(9).GT.0.) then        ! if at least one surfactant is
zwitterionic
    DifstandChPot = DifstandChPot + g_zwitter(alfagA,Rs,0.0d0,2.0d0)
elseif (MconstA(8)*MconstB(8)==2.)then                ! cationic +
anionic OR cationic+anionic

```

```

        DifstandChPot = DifstandChPot + g_zwitter(alfagA, Rs, 0.0d0, 2.0d0)      !(alfa,b,c,sh)
    endif
    chpot = DifStandChPot

    if (ldamp.GT.0) write (11, '(2X,F8.4,10(2X,E12.5))')
    alfagA, DefFrEn(Rs, P, alfagA), TransferFrEn(alfagA), MixFrEn(alfagA), &
        InterfacialFrEn(a, alfagA), StericFrEn(a, alfagA), g_zwitter(alfagA, Rs, 0.0d0, 2.0d0),
    g_ion(Rs, 0.0d0, alfagA, 2.0d0), g_ion_nlin(alfagA, Rs, 0.0d0, 2.0d0), chpot, Rs

    return
end function
!***** Chem potential of a cylinder *****
real*8 function chpotcyl(gg)
implicit none
integer, parameter :: ch = 9
real*8 MconstA(ch), MconstB(ch), gg(1,2), Rc, alfagA, a, P, DifStandChPot
! 1 2 3 4 5 6 7 8 9
! Nc Vs ls a0 ap delta deltaH logic ddip
real*8 StericFrEn, DefFrEn, TransferFrEn, InterfacialFrEn, MixFrEn, Ohshima_g_diff, g_ion_nlin
REAL*8 T, Pi, psi, k, e, Nav, sigmaw, sigmaA, sigmaB, sigmasA, sigmasB, epsilon, CsurA, CsurB, &
    nzero, krDeb, dchpotCH2, dchpotCH3, Cadd, X1A, X1B, alfaA1
CHARACTER*3 shape
CHARACTER*8 MDL
COMMON /A/ T, Pi, psi, k, e, Nav, sigmaw, sigmaA, sigmaB, sigmasA, sigmasB, epsilon, MconstA, MconstB, &
    nzero, krDeb, dchpotCH2, dchpotCH3, Cadd, CsurA, CsurB
COMMON /Y/ H, VheadA, VheadB, VtailA, VtailB, CH2lgth
COMMON /word/ MDL
integer ldamp
real*8 tip ! tip = 1 - вычисления для сфер, 2 - вычисления для цилиндров
common /tip/ tip
common /monomers/ X1A, X1B, alfaA1
common /out/ ldamp
real*8 alfagion, delta, adelta, s, x0
real*8 H, GSH, CH2LGTH, VTAILB, VTAILA, VHEADA, VHEADB, achrg, a_cyl, g_ion, g_def, g_zwitter
tip = 2.

Rc = gg(1,1)
alfagA = gg(1,2)
a = a_cyl(Rc, alfagA)
P = 0.5

if(Mdl.eq.'new') then
complex corona structure
shape = 'cyl'
! new model -

```

```

DifStandChPot = DefFrEn(Rc,P,alfagA) + TransferFrEn(alfagA) + MixFrEn(alfagA) + &
InterfacialFrEn(a,alfagA)
call shell (shape,alfagA,Rc,gsh)
if (MconstA(8)/=3.or.MconstB(8)/=3.) then
    call alf_ion_Deb(alfagA,alfagion,delta) ! calculate ionic composition of the
micelle and Debye length at current monomer fractions of ionic surfactants
    achrg=adelta(1.0d0,alfagA,Rc+H,0.0,delta) ! area per molecule at Rc+H+delta
    s =4*Pi*alfagion*e**2/(epsilon*krDeb*achrg*(1.0d-16)*k*T)
    x0 = krDeb*(Rc + H + delta)*1.d-8
    DifStandChPot = DifStandChPot + Ohshima_g_diff(1.0d0, x0, s)
end if
chpotcyl = gsh + DifStandChPot
if (ldamp.GT.0) write (14,'(2X,F8.4,8(2X,E12.5))')
alfagA,DefFrEn(Rc,P,alfagA),TransferFrEn(alfagA),MixFrEn(alfagA),&
InterfacialFrEn(a,alfagA),Ohshima_g_diff(1.0d0, x0, s),chpotcyl,Rc,H
return
end if

if (MconstA(8)/=3.or.MconstB(8)/=3.) then
    ! free energy of ionic micelles
    DifStandChPot = StericFrEn(a,alfagA) + g_def(Rc,0.0d0,alfagA,1.0d0) + TransferFrEn(alfagA) + &
    ! DefFrEn(Rc,P,alfagA) - deformation in Nagarajan model g_def(b,c,alfa,sh) - deformation in our
model
    InterfacialFrEn(a,alfagA) + MixFrEn(alfagA) + g_ion(Rc,0.0d0,alfagA,1.0d0)
!g_ion(Rc,0.0d0,alfagA,1.0d0) g_ion_nlin(alfagA,Rc,0.0,1.0d0) Ohshima_g_diff(1.0d0, x0, s) Electrostatics
else
    DifStandChPot = StericFrEn(a,alfagA) + DefFrEn(Rc,P,alfagA) + TransferFrEn(alfagA) + & !
free energy of nonionic micelles with deformation part as in Nagarajan model
    InterfacialFrEn(a,alfagA) + MixFrEn(alfagA)
end if
!
! ADD DIPOLAR PART of FREE ENERGY
!
if (MconstA(9).GT.0.or.MconstB(9).GT.0.) then ! if at least one surfactant is
zwitterionic
    DifstandChPot = DifstandChPot + g_zwitter(alfagA,Rc,0.0d0,1.0d0)
elseif (MconstA(8)*MconstB(8)==2.)then ! cationic +
anionic OR cationic+anionic
    DifstandChPot = DifstandChPot + g_zwitter(alfagA,Rc,0.0d0,1.0d0) !(alfa,b,c,sh)
endif
chpotcyl = DifStandChPot

if (ldamp.GT.0) write (14,'(2X,F8.4,10(2X,E12.5))')
alfagA,DefFrEn(Rc,P,alfagA),TransferFrEn(alfagA),MixFrEn(alfagA),&
InterfacialFrEn(a,alfagA),StericFrEn(a,alfagA),g_zwitter(alfagA,Rc,0.0d0,1.0d0),
g_ion(Rc,0.0d0,alfagA,1.0d0), g_ion_nlin(alfagA,Rc,0.0d0,1.0d0),chpotcyl,Rc
return

```

end function

```
!*****
subroutine chpotves
implicit none
integer, parameter :: ch = 9
real*8 MconstA(ch), MconstB(ch)
! 1 2 3 4 5 6 7 8 9
! Nc Vs ls a0 ap delta deltaH logic ddip
real*8 StericFrEn,DefFrEn,TransferFrEn,InterfacialFrEn,DumMixFrEn,Ohshima_g_diff,g_ionves_nlin
real*8 ster,ion,ion_nlin,def,tr,int,mix
REAL*8 T,Pi,psi,k,e,Nav,sigmaw,sigmaA,sigmaB,sigmasA,sigmasB,epsilon,CsurA,CsurB,&
nzero,krDeb,dchpotCH2,dchpotCH3,Cadd,X1A,X1B,alfaA1
CHARACTER*3 shape
CHARACTER*8 MDL
COMMON /A/ T,Pi,psi,k,e,Nav,sigmaw,sigmaA,sigmaB,sigmasA,sigmasB,epsilon,MconstA, MconstB,&
nzero,krDeb,dchpotCH2,dchpotCH3,Cadd,CsurA,CsurB
COMMON /Y/ H,VheadA,VheadB,VtailA,VtailB,CH2lgth
COMMON /word/ MDL
integer ldamp
!real*8 tip ! tip = 1 - вычисления для сфер, 2 - вычисления для цилиндров
!common /tip/ tip
common /monomers/ X1A,X1B,alfaA1
common /out/ ldamp
!real*8 alfagion, delta, adelat, s, x0
real*8 H,GSH,CH2LGTH,VTAILB,VTAILA,VHEADA,VHEADB, achrg,a_ves,g_ionves,g_def,g_zwitter
real*8 aINT,bINT, nves,nvesopt
real*8 lsinf,lssup,ls_min,alfaox,alfaix,C
common /lsformin/lsinf,lssup
COMMON /alfabound/right_alfa,left_alfa
REAL*8 xguess(3), x(3), ftol, s, g_v,g_ves,chpot
REAL*8 alfavesopt,alfaiopt,alfaopt,Rvesopt,gvesopt,tauiopt,tauoopt
REAL*8 alfaves,alfai,alfao,r_ves,taui,tauo,Xgiteration,gvopt,fmin
REAL*8 right_alfa,left_alfa,f2ves,chpotmin,alfaimin,alfaomin,tauimin,tauomin
real*8 agg_vi,agg_vo,agg_ves,agg_vesi,agg_veso,n,a_veso,a_vesi,a_vo,a_vi,nveso,nvesi,nn
double precision Xg,Xit
common /optves/alfavesopt,alfaiopt,alfaopt,Rvesopt,gvesopt,tauiopt,tauoopt,nvesopt
external fves,f2ves
common /border_rves/aINT,bINT
Common /ves_dumpol/r_ves
Common /ves_dumpol1/alfaox,alfaix
Common /tauotau/C
integer i
OPEN(UNIT=31,FILE='Distrib_ves.txt')
```



```

write (31,*)' Rves/ls      g      X      g*Xg      g2*Xg      chpot' ! alfa  alfaA1'
left_alfa = 1.0d-14      !0.0d0
right_alfa = 1.0d0-1.0d-14      !1.0d0
gvopt=1000
ls_min=lsinf/0.3d0
aINT=2.0d0*ls_min
bINT=101.01*ls_min
do r_ves=aINT,bINT,0.5d0*ls_min
  fmin=1000
  do alfaox=0.25d0,0.65d0,0.02d0
    do alfaix=0.25d0,0.65d0,0.02d0
      xguess(1)=1.182      !for tau=tauo+taui ! 0.7 for Cmim+SDBS
      s=1.0d-7
      ftol=5.0d-11
      C=0.9d0
      CALL dumpol(f2ves,1,xguess,s,ftol,10000,x,g_v)
        tauo=x(1)*ls_min/(1+C)
        taui=C*tauo
        chpot=g_ves(r_ves,tauo,taui,alfaax,alfaix)
      nvesi=agg_vesi(r_ves,taui,alfaix)
      nveso=agg_veso(r_ves,tauo,taui,alfaax)
      nves=agg_ves(r_ves,tauo,taui,alfaax,alfaix)
      alfaves = (alfaax*nveso+ alfaix*nvesi)/nves
      g_v=chpot-alfaves*dlog(X1A)-(1.0d0-alfaves)*dlog(X1B)
      if (g_v.LT.gvopt) then
        gvopt=g_v      !optimal among all values of r_ves
        gvesopt=chpot      !standart energy
        alfavesopt=alfaves
        alfaoopt=alfaax
        alfaiopt=alfaix
        Rvesopt=r_ves
        tauoopt=tauo
        tauiopt=taui
        nvesopt=nves
        !write(*,*)'ch,ao,ai',Rvesopt,chpot,alfao,alfai
      endif
    enddo
  enddo
  if (g_v.LT.fmin) then      !(g_v.LT.fmin) then !(chpot.LT.chpotmin) then
!optimal for this value of r_ves
    fmin=g_v
    chpotmin=chpot
    alfaomin=alfaax
    alfaimin=alfaix
    tauomin=tauo
    tauimin=taui

```

```

!      alfa=alfaves
      !write(*,*)'l1=',alfa0x,alfaix,fmin,r_ves

      endif
    enddo
  enddo
  chpot=chpotmin
  alfa0=alfa0min
  alfai=alfaimin
!      alfaves=alfa
      tau0=tau0min
      tau1=tau1min
      alfa0x=alfa0min
      alfaix=alfaimin

!!      endif
!end do
!write(*,*)'ch,ao,ai',chpot,alfa0,alfai
nvesi=agg_vesi(r_ves,tau1,alfaix)
nveso=agg_veso(r_ves,tau0,tau1,alfa0x)
nves=agg_ves(r_ves,tau0,tau1,alfa0x,alfaix)
alfaves = (alfa0x*nveso+ alfaix*nvesi)/nves
g_v=chpot-alfaves*dlog(X1A)-(1.0d0-alfaves)*dlog(X1B)

nn=nves
Xit = (X1A**(alfaves))*(X1B**(1.0d0 - alfaves))*dexp(- chpot)
if (Xit.lt.1.0d0)then
!Xg=Xit**nn
Xg=dlog(nn)+nn*dlog(Xit)
Xg=dexp(Xg)
!write(*,*)'l2',Xg
else
Xg=1.0d0
endif

write(31,'((1X,F8.3),4(2X,E12.6),4(5X,F9.5))')r_ves/l_s_min,nn,Xit**nn,Xg,Xg*nn,chpot,alfaves,alfa0x,alfaix

enddo
a_vi=a_vesi(rvesopt,tauiopt,alfaiopt)
a_vo=a_veso(rvesopt,tauoopt,tauiopt,alfaopt)
agg_vo=agg_veso(rvesopt,tauoopt,tauiopt,alfaopt)
agg_vi=agg_vesi(rvesopt,tauiopt,alfaiopt)
def =(agg_vo*g_def(tauoopt,0.0d0,alfaopt,4.0d0) +agg_vi*g_def(tauiopt,0.0d0,alfaiopt,4.0d0))/nvesopt
ster= (agg_vo*StericFrEn(a_vo,alfaopt)+agg_vi*StericFrEn(a_vi,alfaiopt))/nvesopt

```

```

tr=(agg_vi*TransferFrEn(alfaiopt)+agg_vo*TransferFrEn(alfaoopt))/nvesopt
mix=(agg_vi*DumMixFrEn(alfaiopt)+agg_vo*DumMixFrEn(alfaoopt))/nvesopt
int=(agg_vo*InterfacialFrEn(a_vo,alfaopt)+agg_vi*InterfacialFrEn(a_vi,alfaiopt))/nvesopt
ion=g_ionves(rvesopt,tauoopt,tauiopt,alfaopt,alfaiopt)
ion_nlin=g_ionves_nlin(rvesopt,tauoopt,tauiopt,alfaopt,alfaiopt)
! DifStandChPot = StericFrEn(a,alfagA) + DefFrEn(Rc,P,alfagA) + TransferFrEn(alfagA) +&
free energy of nonionic micelles with deformation part as in Nagarajan model
! InterfacialFrEn(a,alfagA) + MixFrEn(alfagA)
!
! ADD DIPOLAR PART of FREE ENERGY
!
!if (MconstA(9).GT.0.or.MconstB(9).GT.0.) then
! if at least one surfactant is
zwitterionic
! DifstandChPot = DifstandChPot + g_zwitter(alfagA,Rc,0.0d0,1.0d0)
!elseif (MconstA(8)*MconstB(8)==2.)then
! cationic +
anionic OR cationic+anionic
! DifstandChPot = DifstandChPot + g_zwitter(alfagA,Rc,0.0d0,1.0d0)
!(alfa,b,c,sh)
!endif

if (ldamp.GT.0) write (18,'(2X,F8.4,13(2X,f12.5))') alfavesopt,def,tr,mix,&
int,ster,0.0d0,ion, ion_nlin,gvesopt,rvesopt,rvesopt+tauoopt+tauiopt,alfaopt,alfaiopt
return
end
!*****
real*8 FUNCTION StericFrEn(a, alfagA)
IMPLICIT none
REAL*8 a,alfagA
integer, parameter :: ch = 9
real*8 MconstA(ch), MconstB(ch)
REAL*8 T,Pi,psi,k,e,Nav,sigmax,sigmaA,sigmaB,sigmasA,sigmasB,epsilon,&
nzero,krDeb,dchpotCH2,dchpotCH3,otn,Cadd,CsurA,CsurB
COMMON /A/ T,Pi,psi,k,e,Nav,sigmax,sigmaA,sigmaB,sigmasA,sigmasB,epsilon,MconstA, MconstB,&
nzero,krDEb,dchpotCH2,dchpotCH3,Cadd,CsurA,CsurB
otn = (alfagA*MconstA(5) + (1. - alfagA)*MconstB(5)) / a
!write(*,*)'a=',a,'alfa=',alfagA
if (otn<1.) then
StericFrEn = -DLOG(1.d0 - (alfagA*MconstA(5) + (1.d0 - alfagA)*MconstB(5)) / a)
else
StericFrEn = 1000.
end if
END FUNCTION
!*****
real*8 FUNCTION DefFrEn(Rs, P, alfagA)
IMPLICIT none

```

```

REAL*8, PARAMETER :: L = 4.6
real*8 NsegmA,NsegmB, Rs, P, alfaA,Bg,Qg,const
integer, parameter :: ch = 9
real*8 MconstA(ch), MconstB(ch)
REAL*8  T,Pi,psi,k,e,Nav,sigmaw,sigmaA,sigmaB,sigmasA,sigmasB,epsilon,&
      nzero,krDeb,dchpotCH2,dchpotCH3,Cadd,CsurA,CsurB
COMMON /A/ T,Pi,psi,k,e,Nav,sigmaw,sigmaA,sigmaB,sigmasA,sigmasB,epsilon,MconstA, MconstB,&
      nzero,krDEb,dchpotCH2,dchpotCH3,Cadd,CsurA,CsurB
real*8 tip ! tip = 1 - вычисления для сфер, 2 - вычисления для цилиндров
common /tip/ tip
const = 9.d0
if(tip==2.) const = 10.d0
NsegmA = MconstA(3) / L
NsegmB = MconstB(3) / L
Bg = (const*P*Pi**2.)/80.d0
If (Rs < MconstB(3)) then
  Qg = Rs
else
  Qg = MconstB(3)
end if
DefFrEn = Bg*( (alfaA/NsegmA)*(Rs/L)**2. + ((1.0d0 - alfaA)/NsegmB)*(Qg/L)**2. )

END FUNCTION
!*****
real*8 FUNCTION TransferFrEn(alfaA)
IMPLICIT none
Real*8 dchA,dchB,alfaA
integer, parameter :: ch = 9
real*8 MconstA(ch), MconstB(ch)
REAL*8  T,Pi,psi,k,e,Nav,sigmaw,sigmaA,sigmaB,sigmasA,sigmasB,epsilon,&
      nzero,krDeb,dchpotCH2,dchpotCH3,Cadd,CsurA,CsurB
COMMON /A/ T,Pi,psi,k,e,Nav,sigmaw,sigmaA,sigmaB,sigmasA,sigmasB,epsilon,MconstA, MconstB,&
      nzero,krDEb,dchpotCH2,dchpotCH3,Cadd,CsurA,CsurB
dchA = ( MconstA(1)- 1.d0)*dchpotCH2 + dchpotCH3
dchB = ( MconstB(1)- 1.d0)*dchpotCH2 + dchpotCH3
TransferFrEn = alfaA*dchA + (1.d0 - alfaA)*dchB
END FUNCTION
!*****
real*8 FUNCTION InterfacialFrEn(a, alfaA)
IMPLICIT none
REAL*8 a, alfaA,ettaA,sigmaagg,Cadd,CsurA,CsurB
integer, parameter :: ch = 9
real*8 MconstA(ch), MconstB(ch)

```

```

      REAL*8
      T,Pi,psi,k,e,Nav,sigmaw,sigmaA,sigmaB,sigmasA,sigmasB,epsilon,nzero,krDeb,dchpotCH2,dchpotCH3
      COMMON /A/ T,Pi,psi,k,e,Nav,sigmaw,sigmaA,sigmaB,sigmasA,sigmasB,epsilon,MconstA, MconstB,&
      nzero,krDEb,dchpotCH2,dchpotCH3,Cadd,CsurA,CsurB
      ettaA = alfaA*MconstA(2)/(alfaA*MconstA(2) + (1. - alfaA)*MconstB(2))
      sigmaagg = ettaA*sigmasA + (1. - ettaA)*sigmasB
      InterfacialFrEn = ( sigmaagg/(k*T) ) * (a - alfaA*MconstA(4) - (1.d0 - alfaA)*MconstB(4))*1.0d-16
      END FUNCTION

      !***** real*8      function
      DumMixFrEn(alfaA)      ! Regular mixing part, from Nagu and
      solubility parameters      (mixing energy always positive)      ! Toggle      MixFrEn and DumMixFrEn
      implicit none
      real*8 ettaA,deltaHmix,alfaA,Cadd,CsurA,CsurB
      integer, parameter :: ch = 9
      real*8 MconstA(ch), MconstB(ch)

      REAL*8
      T,Pi,psi,k,e,Nav,sigmaw,sigmaA,sigmaB,sigmasA,sigmasB,epsilon,nzero,krDeb,dchpotCH2,dchpotCH3
      COMMON /A/ T,Pi,psi,k,e,Nav,sigmaw,sigmaA,sigmaB,sigmasA,sigmasB,epsilon,MconstA, MconstB,&
      nzero,krDEb,dchpotCH2,dchpotCH3,Cadd,CsurA,CsurB
      ettaA = alfaA*MconstA(2)/(alfaA*MconstA(2) + (1. - alfaA)*MconstB(2))
      if (ettaA==0.or.ettaA==1.) then
        DumMixFrEn = 0.
        ! Toggle      MixFrEn and DumMixFrEn

      return
      end if
      deltaHmix = ettaA*MconstA(7) + (1.d0 - ettaA)*MconstB(7)
      ! Hildebrand solubility parameter
      DumMixFrEn = alfaA * dlog(ettaA) + (1.d0 - alfaA) * dlog(1.d0 - ettaA) + &
      ! Toggle      MixFrEn and DumMixFrEn
      (alfaA*MconstA(2)*(MconstA(7) - deltaHmix)**2 + &
      (1.d0 - alfaA)*MconstB(2)*(MconstB(7) - deltaHmix)**2)/k/T*1.d-17
      end function

      !*****
      real*8 function MixFrEn(alfaA)      ! Flory mixing part,
      mixing energy may be negative      ! Toggle      MixFrEn and DumMixFrEn
      implicit none
      real*8 ettaA,deltaHmix,alfaA,Cadd,CsurA,CsurB, Flochi, vs
      integer, parameter :: ch = 9
      real*8 MconstA(ch), MconstB(ch)

      REAL*8
      T,Pi,psi,k,e,Nav,sigmaw,sigmaA,sigmaB,sigmasA,sigmasB,epsilon,nzero,krDeb,dchpotCH2,dchpotCH3
      COMMON /A/ T,Pi,psi,k,e,Nav,sigmaw,sigmaA,sigmaB,sigmasA,sigmasB,epsilon,MconstA, MconstB,&
      nzero,krDEb,dchpotCH2,dchpotCH3,Cadd,CsurA,CsurB
      ettaA = alfaA*MconstA(2)/(alfaA*MconstA(2) + (1.d0 - alfaA)*MconstB(2))
      if (ettaA<1.0d-15.or.dabs(ettaA-1.0d0)<1.0d-15) then
        MixFrEn = 0.
        ! Toggle      MixFrEn and DumMixFrEn

```

```

return
end if
Flochi=1.0d0/97.3d0                                ! Flory parameter divided by Kuhn
L^3 temperature dependence should be taken into account explicitly
MixFrEn = alfaA * dlog(ettaA) + (1.d0 - alfaA) * dlog(1.d0 - ettaA) + &      ! Toggle      MixFrEn
and DumMixFrEn
Flochi*alfaA*(1.d0 - alfaA)*MconstA(2)*MconstB(2)/vs(alfaA)
end function
!*****
REAL*8 function g_tor(b,c,alfa)
IMPLICIT none
integer Ldamp
REAL*8 b, c ,alfa, a_t, g_ion,g_ion_nlin,g_zwitter,www
REAL*8 a_tor,InterfacialFrEn,TransferFrEn,g_def,StericFrEn,MixFrEn
common /out/ Ldamp
a_t = a_tor(b,c,alfa)
g_tor = InterfacialFrEn(a_t,alfa)
g_tor=g_tor+g_def(b,c,alfa,3.0d0)
g_tor=g_tor+TransferFrEn(alfa)
g_tor=g_tor+StericFrEn(a_t,alfa)
g_tor=g_tor+MixFrEn(alfa)
www=g_ion(b,c,alfa,3.0d0)
g_tor = g_tor+g_ion(b,c,alfa,3.0d0)
! g_tor = g_tor+g_ion_nlin(alfa,b,c,3.0d0)      ! calls ionic and g_zwitter(alfa,b,c,sh) via
gXgsub - routines even if surfactants are nonionic - non-zwitterionic
if (Ldamp.GT.0) write (16,('(10X,F8.4,10(2X,E12.5)')) alfa,&
g_def(b,c,alfa,3.0d0),TransferFrEn(alfa),MixFrEn(alfa), &
InterfacialFrEn(a_t,alfa),StericFrEn(a_t,alfa), &
g_zwitter(alfa,b,c,3.0d0),g_ion(b,c,alfa,3.0d0),&
g_ion_nlin(alfa,b,c,3.0d0),g_tor,b
RETURN
END
!C*****
REAL*8 function g_pl(r_pl,alfa)
IMPLICIT none
integer Ldamp
REAL*8 r_pl,alfa, a_p , g_ion,g_ion_nlin,g_zwitter
REAL*8 a_pl, InterfacialFrEn,TransferFrEn,g_def,StericFrEn,MixFrEn
common /out/ Ldamp
a_p=a_pl(r_pl,alfa)
g_pl = InterfacialFrEn(a_p,alfa)
g_pl=g_pl+g_def(r_pl,0.d0,alfa,0.d0)
g_pl=g_pl+TransferFrEn(alfa)

```

```

        g_pl=g_pl+StericFrEn(a_p,alfa)
        g_pl=g_pl+MixFrEn(alfa)
        g_pl = g_pl+g_ion(r_pl,0.d0,alfa,0.d0)
        ! g_pl = g_pl+g_ion_nlin(alfa,r_pl,0.d0,0.d0) ! calls ionic and
g_zwitter(alfa,b,c,sh) via gXgsub - routines even if surfactants are nonionic - non-zwitterionic
        if (ldamp.GT.0) then
            write (16,'(10X,F8.4,10(2X,E12.5))') alfa, &
g_def(r_pl,0.d0,alfa,0.d0),TransferFrEn(alfa),MixFrEn(alfa),&
            InterfacialFrEn(a_p,alfa), StericFrEn(a_p,alfa),&
g_zwitter(alfa,r_pl,0.0d0,0.0d0),g_ion(r_pl,0.d0,alfa,0.d0),&
g_ion_nlin(alfa,r_pl,0.d0,0.d0),g_pl,r_pl !,v_patch(r_patch,c_jun))/vs(alfa_jun)
        endif
        RETURN
        END
!C*****
        REAL*8 function g_cyl(r_cyl,alfa)
        IMPLICIT none
        REAL*8 r_cyl,alfa, a_c , g_ion,g_ion_nlin
        REAL*8 a_cyl,InterfacialFrEn,TransferFrEn,g_def,StericFrEn,MixFrEn

        a_c=a_cyl(r_cyl,alfa)
        g_cyl = InterfacialFrEn(a_c,alfa)
        g_cyl=g_cyl+g_def(r_cyl,0.d0,alfa,1.0d0)
        g_cyl=g_cyl+TransferFrEn(alfa)
        g_cyl=g_cyl+StericFrEn(a_c,alfa)
        g_cyl=g_cyl+MixFrEn(alfa)
        ! g_cyl = g_cyl+g_ion(r_cyl,0.d0,alfa,1.0d0)
        g_cyl = g_cyl+g_ion_nlin(alfa,r_cyl,0.d0,1.0d0) ! (alfa,b,c,3.0d0)calls ionic and
g_zwitter(alfa,b,c,sh) via gXgsub - routines even if surfactants are nonionin - non-zawitterionic
        RETURN
        END
!C*****
        REAL*8 function g_sph(r_sph,alfa)
        IMPLICIT none
        REAL*8 r_sph,alfa, a_s, g_ion,g_ion_nlin
        REAL*8 a_sph,InterfacialFrEn,TransferFrEn,g_def,StericFrEn,MixFrEn
        a_s=a_sph(r_sph,alfa)
        g_sph = InterfacialFrEn(a_s,alfa)
        g_sph=g_sph+g_def(r_sph,0.d0,alfa,2.0d0)
        g_sph=g_sph+TransferFrEn(alfa)
        g_sph=g_sph+StericFrEn(a_s,alfa)
        g_sph=g_sph+MixFrEn(alfa)
        ! g_sph = g_sph+g_ion(r_sph,0.d0,alfa,2.0d0)

```

```

        g_sph = g_sph+g_ion_nlin(alfa,r_sph,0.d0,2.0d0) ! calls ionic
and g_zwitter(alfa,b,c,sh) via gXgsub - routines even if      surfactants are nonionin - non-zawitterionic
        RETURN
        END
!C*****

        REAL*8 function g_jun(b,c,alfa) !works when depend=1; if alfa torus and alfa
plane are same, set alpl=alfa, if different, set alpl=alfa_pl (optimal the for plane)
        IMPLICIT none
        REAL*8 b, c, alfa,alfa_pl,alpl
        COMMON/optpl/r_patch,alfa_pl,g_patch
        REAL*8 r_patch, r_opt_pl
        REAL*8 denomT,denomP,psi,vs
        REAL*8 eta_patch, eta_torus, g_patch, g_torus
        REAL*8 v_tor_b,v_patch,g_pl,g_tor
        if(1) then
                if( b < 0.0) then
                        write(*,*) "error in g_jun(): b < 0"
                        stop
                else
                        if( c < 0.0) then
                                write(*,*) "error in g_jun(): c < 0"
                                stop
                        endif
                endif
                r_opt_pl=r_patch
                alpl =alfa_pl
!C      alpl =alfa
                psi = vs(alpl)/vs(alfa)
                denomT = v_tor_b(b,c)+v_patch(r_opt_pl,c)/psi
                denomP = v_tor_b(b,c)*psi+v_patch(r_opt_pl,c)
                eta_torus = v_tor_b(b,c)/denomT
                eta_patch = v_patch(r_opt_pl,c)/denomP
                g_patch = g_pl(r_opt_pl,alpl)
                g_torus = g_tor(b,c,alfa)
                g_jun = g_patch*eta_patch+g_torus*eta_torus
        RETURN
        END
!C*****

        REAL*8 function g_jun2(b,c,alfa) !works when depend=0; if alfa torus and alfa
plane are same, set alpl=alfa, if different, set alpl=alfa_pl (optimal the for plane)
        IMPLICIT none
        REAL*8 b, c,alfa,r_patch,alfa_pl, alpl
        COMMON/optpl/r_patch,alfa_pl,g_patch

```



```

      REAL*8 r_opt_pl
      Common/nprint/nprint
      Integer nprint
      REAL*8 denomT,denomP,psi,vs
      REAL*8 eta_patch, eta_torus, g_patch, g_torus
      REAL*8 v_tor_b,v_patch,g_pl,g_tor
      if(1) then
        if( b < 0.0) then
          write(*,*) "error in g_jun2(): b < 0"
          stop
        else
          if( c < 0.0) then
            write(*,*) "error in g_jun2(): c < 0"
            stop
          endif
        endif
        r_opt_pl=r_patch
        alpl =alfa_pl
      psi = vs(alpl)/vs(alfa)
      denomT = v_tor_b(b,c)+v_patch(r_opt_pl,c)/psi
      denomP = v_tor_b(b,c)*psi+v_patch(r_opt_pl,c)
      eta_torus = v_tor_b(b,c)/denomT
      eta_patch = v_patch(r_opt_pl,c)/denomP
      g_patch = g_pl(r_opt_pl,alpl)
      g_torus = g_tor(b,c,alfa)
      g_jun2 = g_patch*eta_patch+g_torus*eta_torus
      RETURN
    END

```

!*****

```

      REAL*8 function g_def(b,c,alfa,sh)
      IMPLICIT none
      REAL*8 b,c,alfa, ratio, res, sh
      REAL*8, PARAMETER :: L = 4.6
      real*8 NsegmA,NsegmB
      integer, parameter :: ch = 9
      real*8 MconstA(ch), MconstB(ch)
      REAL*8 T,Pi,psi,k,e,Nav,sigmaw,sigmaA,sigmaB,sigmasA,sigmasB
      real*8 epsilon,nzero,krDeb,dchpotCH2,dchpotCH3,Cadd,CsurA,CsurB
      COMMON /A/ T,Pi,psi,k,e,Nav,sigmaw,sigmaA,sigmaB,sigmasA,sigmasB,&
        epsilon,MconstA, MconstB,&
        nzero,krDEb,dchpotCH2,dchpotCH3,Cadd,CsurA,CsurB

```

!pi=3.141592653589793

```

NsegmA = MconstA(3) / L
NsegmB = MconstB(3) / L

```

```

ratio=pi**2*(alfa/NsegmA + (1.0d0- alfa)/NsegmB)*(b/L)**2

```

```

    IF (sh.eq.4) then

```

```

        res = 10.0d0/80.d0*ratio

```

```

    ELSE

```

```

        IF (sh.eq.3) then

```

```

            res = 3.0d0/8.d0*(pi*c/12-b/15)/(pi*c/2-2.d0/3.d0*b)*ratio

```

! correct

```

        ELSE

```

```

            IF (sh.eq.2) then

```

```

                res = 3.0d0/80.d0*ratio

```

```

            ELSE

```

```

                IF (sh.eq.1) then

```

```

                    res = 5.0d0/80.d0*ratio

```

```

                ELSE

```

```

                    IF (sh.eq.0) then

```

```

                        res = 10.0d0/80.d0*ratio

```

```

                    ELSE

```

```

                        PRINT("wrong shape parameter 'sh' in g_def(...)")

```

```

                    ENDIF

```

```

                ENDIF

```

```

            ENDIF

```

```

        ENDIF

```

```

    ENDIF

```

```

    g_def = res

```

```

    RETURN

```

```

    END

```

```

!*****

```

outer layer

```

REAL*8 function g_vesout(b,c,d,alfao)

```

!b=r_ves,c=tauo thickness of

```

    IMPLICIT none

```

```

    !d=taui

```

```

    REAL*8 b, c,d

```

```

    REAL*8 StericFrEn, g_def

```

```

    REAL*8 DumMixFrEn,alfao,TransferFrEn,InterfacialFrEn

```

```

    REAL*8 a_vo, a_veso

```

```

    a_vo=a_veso(b,c,d,alfao)

```

```

    g_vesout =g_def(c,0.0d0,alfao,4.0d0) +StericFrEn(a_vo,alfao)

```

```

    g_vesout=g_vesout+TransferFrEn(alfao)+DumMixFrEn(alfao)

```

```

        g_vesout=g_vesout+InterfacialFrEn(a_vo,alfao)

```

```

    RETURN

```

```

    END

```

```

!C*****
      REAL*8 function g_vesin(b,c,alfai)
inner layer
      IMPLICIT none
      REAL*8 b, c
      REAL*8 StericFrEn, g_def
      REAL*8 DumMixFrEn,alfai,TransferFrEn,InterfacialFrEn
      REAL*8 a_vi, a_vesi
      a_vi=a_vesi(b,c,alfai)

      g_vesin =g_def(c,0.0d0,alfai,4.0d0)+StericFrEn(a_vi,alfai)
      g_vesin=g_vesin+TransferFrEn(alfai)+DumMixFrEn(alfai)
      g_vesin=g_vesin+InterfacialFrEn(a_vi,alfai)
      RETURN
      END
!C*****

      REAL*8 function g_ves(b,c,d,alfao,alfai)
      IMPLICIT none
      REAL*8 b, c, d
!b=r_ves,c=tauo,d=taui
      REAL*8 g_ionves,g_ionves_nlin,g_vesin,g_vesout
      REAL*8 alfao,alfai
      REAL*8 a_ves,a_v,g_v,alfa
      REAL*8 agg_veso, agg_vesi,agg_ves,agg_v,agg_vo,agg_vi

      agg_vo=agg_veso(b,c,d,alfao)
      agg_vi=agg_vesi(b,d,alfai)
      agg_v=agg_ves(b,c,d,alfao,alfai)
      g_ves=(agg_vi*g_vesin(b,d,alfai)+agg_vo*g_vesout(b,c,d,alfao))/agg_v
      g_ves=g_ves+g_ionves(b,c,d,alfao,alfai)
!      g_ves=g_ves+g_ionves_nlin(b,c,d,alfao,alfai)
      RETURN
      END
!C*****

real*8 FUNCTION volume(Nc, T)
IMPLICIT none
REAL*8 T,volCH3,volCH2, Nc
volCH3 = 54.6 + 0.124*(T - 298.)
volCH2 = 26.9 + 0.0146*(T - 298.)
volume = volCH3 + (Nc - 1.)*volCH2
END FUNCTION
!*****

real*8 FUNCTION length(Nc)
IMPLICIT none

```

```

REAL*8 Nc
length = 1.50d0 + 1.265d0*Nc
END FUNCTION

!*****
      REAL*8 function a_tor_b(b,c)
!C Total area of semi-torus part
      IMPLICIT none
      REAL*8 b, c, Pi
      pi=3.141592653589793
      a_tor_b = Pi*b*(Pi*c-2*b)
      RETURN
      END
!C*****

      REAL*8 function v_tor_b(b,c)
!C Total volume of semi-torus part
      IMPLICIT none
      REAL*8 b,c,Pi
      pi=3.141592653589793
      v_tor_b = pi*b**2*(pi*c/2-2.d0/3.d0*b)
      RETURN
      END
!C*****

      REAL*8 function a_patch(b,c)
!C Total area of bilayer patch
      IMPLICIT none
      REAL*8 b,c
      REAL*8 pi
      pi=3.141592653589793
      a_patch = 2*c**2*(dsqrt(3.d0)-pi/2)
      b=b
      RETURN
      END
!C*****

      REAL*8 function v_patch(b,c)
!C Total volume of bilayer patch
      IMPLICIT none
      REAL*8 b,c
      REAL*8 pi
      pi=3.141592653589793
      v_patch = 2*b*c**2*(dsqrt(3.d0)-pi/2)
      RETURN
      END
!C*****

      REAL*8 function a_sph(r_sph,alfa)

```

```

!C Area per surfactant molecule for sphere
  IMPLICIT none
  REAL*8 r_sph,alfa, vs
    external vs
  a_sph = 3*vs(alfa)/r_sph
  RETURN
  END

!C*****
  REAL*8 function vs(alfa)
    implicit none
    REAL*8 alfa
    integer, parameter :: ch = 9
    real*8 MconstA(ch), MconstB(ch)
!C          1  2  3  4  5  6  7  8  9
!C          Nc  Vs  ls  a0  ap  delta deltaH logic  Ddip
    REAL*8 T,Pi,psi,k,e,Nav,sigmaw,sigmaA,sigmaB,sigmasA,sigmasB
    real*8 epsilon,nzero,krDeb,dchpotCH2,dchpotCH3
    real*8 Cadd,CsurA,CsurB
    COMMON /A/ T,Pi,psi,k,e,Nav,sigmaw,sigmaA,sigmaB,sigmasA,sigmasB,&
    epsilon, MconstA, MconstB, nzero,krDeb,dchpotCH2,dchpotCH3,&
    Cadd,CsurA,CsurB

    vs = alfa*MconstA(2)+(1.0d0-alfa)*MconstB(2)
    RETURN
    END

!C*****
  REAL*8 function eta1(alfa)
    implicit none
    REAL*8 vs,alfa
    integer, parameter :: ch = 9
    real*8 MconstA(ch), MconstB(ch)
!C          !  1  2  3  4  5  6  7  8  9
!C          !  Nc  Vs  ls  a0  ap  delta deltaH logic  ddip
    REAL*8 T,Pi,psi,k,e,Nav,sigmaw,sigmaA,sigmaB,sigmasA,sigmasB
    real*8 epsilon,nzero,krDeb,dchpotCH2,dchpotCH3
    real*8 Cadd,CsurA,CsurB
    COMMON /A/ T,Pi,psi,k,e,Nav,sigmaw,sigmaA,sigmaB,sigmasA,sigmasB,&
    epsilon, MconstA, MconstB, nzero,krDeb,dchpotCH2,dchpotCH3,&
    Cadd,CsurA,CsurB
    eta1=alfa*MconstA(2)/vs(alfa)
    RETURN
    END

!C*****
  REAL*8 function eta2(alfa)

```

```

        implicit none
        REAL*8 vs,alfa
        integer, parameter :: ch = 9
        real*8 MconstA(ch), MconstB(ch)
!C          ! 1 2 3 4 5 6 7 8 9
!C          ! Nc Vs ls a0 ap delta deltaH logic ddip
        REAL*8 T,Pi,psi,k,e,Nav,sigmaw,sigmaA,sigmaB,sigmasA,sigmasB
        real*8 epsilon,nzero,krDeb,dchpotCH2,dchpotCH3
        real*8 Cadd,CsurA,CsurB
        COMMON /A/ T,Pi,psi,k,e,Nav,sigmaw,sigmaA,sigmaB,sigmasA,sigmasB,&
epsilon, MconstA, MconstB, nzero,krDeb,dchpotCH2,dchpotCH3,&
        Cadd,CsurA,CsurB
        eta2=(1.0d0-alfa)*MconstB(2)/vs(alfa)
        RETURN
        END

!C*****
        REAL*8 function RUBound(alfa)
        implicit none
        REAL*8 alfa, eta1,eta2
        integer, parameter :: ch = 9
        real*8 MconstA(ch), MconstB(ch)
!C          ! 1 2 3 4 5 6 7 8 9
!C          ! Nc Vs ls a0 ap delta deltaH logic ddip
        REAL*8 T,Pi,psi,k,e,Nav,sigmaw,sigmaA,sigmaB,sigmasA,sigmasB
        real*8 epsilon,nzero,krDeb,dchpotCH2,dchpotCH3
        real*8 Cadd,CsurA,CsurB
        COMMON /A/ T,Pi,psi,k,e,Nav,sigmaw,sigmaA,sigmaB,sigmasA,sigmasB,&
epsilon, MconstA, MconstB, nzero,krDeb,dchpotCH2,dchpotCH3, &
        Cadd,CsurA,CsurB
        RUBound=eta1(alfa)*MconstA(3)+eta2(alfa)*MconstB(3)
        RETURN
        END

!C*****
        REAL*8 function a_cyl(r_cyl,alfa)
        ! Area per surfactant molecule for cylinder
        IMPLICIT none
        REAL*8 r_cyl,vs,alfa
        a_cyl = 2*vs(alfa)/r_cyl
        RETURN
        END

!C*****
        REAL*8 function a_tor(b,c,alfa)
!C Average area per surfactant molecule in semi-torus part
        IMPLICIT none

```

```

REAL*8 b,c, alfa, vs
REAL*8 a_tor_b,v_tor_b
a_tor = vs(alfa)*a_tor_b(b,c)/v_tor_b(b,c)
RETURN
END
!C*****

REAL*8 function a_pl(r_pl,alfa)
!C Area per surfactant molecule for plane
IMPLICIT none
REAL*8 r_pl, alfa, vs
a_pl = vs(alfa)/r_pl
RETURN
END
!C*****

real*8 function      adelta(sh,alfa,b,c,delta)      ! surface area at distance b+delta from
center
      implicit none
      real*8 sh,alfa,b,c,delta,vs,a_tor_b,v_tor_b
      if (sh.eq.5)then
        !vesicle,inner layer
        adelta=3*vs(alfa)*(b+delta)**2/((b+c)**3-b**3)
!r_ves=b,taui=c,delta<0
      endif
      if (sh.eq.4)then
        !vesicle,outer layer
        adelta=3*vs(alfa)*(b+c+delta)**2/((b+c)**3-b**3)
!tauo=c,r_ves+taui=b
      endif
      if (sh.eq.3)then
        adelta=a_tor_b((b+delta),c)*vs(alfa)/v_tor_b(b,c)
        return
      endif
      if (sh.eq.2)then
        adelta=3*vs(alfa)*(b+delta)**2/b**3
      else
        if (sh.eq.1)then
          adelta=2*vs(alfa)*(b+delta)/b**2
        endif
      endif
      RETURN
      END
!C*****

```

```

real*8 function Jun_alf(b,c,r_patch,alfa_pl,alfa_jun)
    implicit none
    real*8 b,c,r_patch,alfa_pl,alfa_jun,vs,v_tor_b,v_patch,n_tor,n_pl,njun

    n_tor = v_tor_b(b,c)/vs(alfa_jun)
    n_pl = v_patch(r_patch,c)/vs(alfa_pl)
    njun = n_tor+n_pl
    Jun_alf = (n_tor*alfa_jun + n_pl*alfa_pl)/njun

    return
end
!C*****

subroutine Av_alf_jun(b,c,r_patch,alfa_pl,alfa_jun,x,n_tor,n_pl,njun)
    implicit none
    real*8 b,c,r_patch,alfa_pl,alfa_jun,vs,v_tor_b,v_patch,n_tor,n_pl,njun,x

    n_tor = v_tor_b(b,c)/vs(alfa_jun)
    n_pl = v_patch(r_patch,c)/vs(alfa_pl)
    njun = n_tor+n_pl
    x = (n_tor*alfa_jun + n_pl*alfa_pl)/njun      ! average fraction of surfactant A in junction
    return
end
!C*****

REAL*8 function a_ves(r_ves,tauo,taui,alfao,alfai)
!C Area per surfactant molecule for vesicle
    IMPLICIT none
    REAL*8 r_ves, agg_ves,agg_v, tauo,taui,pi,alfao,alfai
    pi=3.141592653589793
    agg_v=agg_ves(r_ves,tauo,taui,alfao,alfai)
    a_ves = 4*pi*((r_ves+tauo+taui)**2+r_ves**2)/agg_v
    RETURN
    END
!C*****

REAL*8 function a_veso(r_ves,tauo,taui,alfao)
!C Area per surfactant molecule in outer layer for vesicle
    IMPLICIT none
    REAL*8 r_ves, agg_veso,agg_vo,tauo,taui,pi,alfao
    pi=3.141592653589793
    agg_vo=agg_veso(r_ves,tauo,taui,alfao)
    a_veso = 4*pi*(r_ves+tauo+taui)**2/agg_vo
    RETURN
    END
!C*****

REAL*8 function a_vesi(r_ves,taui,alfai)

```



```

!C Area per surfactant molecule in inner layer for vesicle
  IMPLICIT none
  REAL*8 r_ves,taui,alfai,agg_vesi,pi
    pi=3.141592653589793
  a_vesi = 4*pi*r_ves**2/agg_vesi(r_ves,taui,alfai)
  RETURN
  END

!C*****
  REAL*8 function agg_veso(r_ves,tauo,taui,alfao)
  IMPLICIT none
  REAL*8 r_ves,tauo,taui,pi,alfao, vs
    pi=3.141592653589793
  agg_veso=4*pi*((r_ves+tauo+taui)**3-(r_ves+taui)**3)/(3*vs(alfao))
    !aggregation number of outer layer
  RETURN
  END

!C*****
  REAL*8 function agg_vesi(r_ves,taui,alfai)
  IMPLICIT none
  REAL*8 r_ves,taui,pi,alfai,vs
    pi=3.141592653589793
    agg_vesi=4*pi*((r_ves+taui)**3-r_ves**3)/(3*vs(alfai))
    !aggregation number of inner layer
  RETURN
  END

!C*****
  REAL*8 function agg_ves(r_ves,tauo,taui,alfao,alfai)
  IMPLICIT none
  REAL*8 r_ves,tauo,taui,agg_vesi, agg_veso, alfao,alfai
  agg_ves=agg_veso(r_ves,tauo,taui,alfao)+agg_vesi(r_ves,taui,alfai)
    !total aggregation number
  RETURN
  END

!C*****
Subroutine alf_ion_Deb(alfagA,alfagion,delta)
! calculates delta, alfagion, krDeb from micellar composition - alagA
implicit none
REAL*8 Cadd,Cone,X1A,X1B,X1ionic,alfagA,alfaA1
integer, parameter :: ch = 9
real*8 MconstA(ch), MconstB(ch) ! molecular data
! 1 2 3 4 5 6 7 8 9
! Nc Vs ls a0 ap delta deltaH logic ddip
! logic = 1 - cationic surf, 2 - anionic surf, 3 - nonionic surf., when ddip>0 zwitterionic surf.
REAL*8 T,Pi,psi,k,e,Nav,sigmax,sigmaA,sigmaB,sigmaSA,sigmaSB,epsilon,&

```

```

nzero,krDeb,dchpotCH2,dchpotCH3,CsurA,CsurB
COMMON /A/ T,Pi,psi,k,e,Nav,sigmaw,sigmaA,sigmaB,sigmasA,sigmasB,epsilon,MconstA, MconstB,&
nzero,krDeb,dchpotCH2,dchpotCH3,Cadd,CsurA,CsurB
common /monomers/ X1A,X1B,alfaA1
real*8 alfagion, delta, Vmaqua

If (MconstA(8)/=3.and.MconstB(8)/=3.) then
  X1ionic = X1A + X1B
elseif (MconstA(8)==3.and.MconstB(8)/=3.) then
  X1ionic = X1B
elseif (MconstB(8)==3.and.MconstA(8)/=3.) then
  X1ionic = X1A
else
  X1ionic = 0.d0
end if

if (MconstA(8)/=3.or.MconstB(8)/=3.) then
  Vmaqua = 18.0152/998.2
  Cone = X1ionic/Vmaqua
  nzero = (Cone + Cadd)*Nav/1000.
! if(Cone<0.d0) stop ! C in [M], nzero in [ions/cm^3]
krDeb = (1.0d-8)*dsqrt(8.*Pi*nzero*e**2./ (epsilon * k * T)) ! [A^-1] 8*Pi*l_B*nzero l_B in [cm]
CGSE
end if

If (MconstA(8)==3.and.MconstB(8)==3.) then
  alfagion = 0.0d0
elseif (MconstA(8)==3.and.MconstB(8)/=3.) then
  delta = MconstB(6)
  alfagion = (1.0d0 - alfagA)
elseif (MconstB(8)==3.and.MconstA(8)/=3.) then
  delta = MconstA(6)
  alfagion = alfagA
elseif (MconstA(8)*MconstB(8)==1.or.MconstA(8)*MconstB(8)==4.) then
  alfagion = 1.0d0
  delta = alfagA*MconstA(6) + (1.0d0 - alfagA)*MconstB(6)
else
  delta = alfagA*MconstA(6) + (1.0d0 - alfagA)*MconstB(6)
  alfagion = dabs (2.0d0*alfagA - 1.0d0)
end if
return
end
!*****
Subroutine alf_dip(alfa,alfag_dip,delta_dip,Ddip)

```

```

! calculates delta-dip, alfag_dip krDeb from micellar composition - alagA
implicit none
REAL*8 Cadd,X1A,X1B,alfaA1
integer, parameter :: ch = 9
real*8 MconstA(ch), MconstB(ch) ! массив молекулярных данных
! 1 2 3 4 5 6 7 8 9
! Nc Vs ls a0 ap delta deltaH logic ddip
! logic = 1 - катионные ПАВ, 2 - анионные ПАВ, 3 - неионные ПАВ ddip>0 zwitterionic
REAL*8 T,Pi,psi,k,e,Nav,sigmaw,sigmaA,sigmaB,sigmasA,sigmasB,epsilon,&
nzero,krDeb,dchpotCH2,dchpotCH3,CsurA,CsurB
COMMON /A/ T,Pi,psi,k,e,Nav,sigmaw,sigmaA,sigmaB,sigmasA,sigmasB,epsilon,MconstA, MconstB,&
nzero,krDeb,dchpotCH2,dchpotCH3,Cadd,CsurA,CsurB
common /monomers/ X1A,X1B,alfaA1
real*8 alfag_dip, alfa, Ddip, delta_dip

alfag_dip = 0.0d0
If (MconstA(8)*MconstB(8)==2.) then
cationic OR cationic +anionic
! possibly, coefficient 2 is needed
alfag_dip = min(alfa,(1.0d0-alfa))
delta_dip = min(MconstA(6),MconstB(6))
Ddip = dabs(MconstA(6)-MconstB(6))
elseif ( (MconstA(9).GT.0).and.(MconstB(9).LT.0) ) then
! A-zwitterionic, B -nonionic or ionic
alfag_dip = alfa
delta_dip = MconstA(6)
Ddip = MconstA(9)
elseif ( (MconstB(9).GT.0).and.(MconstA(9).LT.0) ) then
! B-zwitterionic, A -nonionic or ionic
alfag_dip = (1.0d0 - alfa)
delta_dip = MconstB(6)
Ddip = MconstB(9)
elseif ( (MconstA(9).GT.0).and.(MconstB(9).GT.0) ) then
! both surfactants are zwitterionic with
same head group
alfag_dip = 1.0d0
delta_dip = alfa*MconstA(6) + (1.0d0 - alfa)*MconstB(6)
Ddip = alfa*MconstA(9) + (1.0d0 - alfa)*MconstB(9)
! Questionable, when dipole groups are
different
else
write (*,*) 'NO DIPOLE MOMENTS !!!!!'
Ddip = 0.0d0
end if
return
end

!*****
REAL*8 function g_ion(b,c,alfa,sh) ! linear PB
IMPLICIT none

```

```

REAL*8 b, c, sh, alfa, achrg
REAL*8 m, p, s, theta, x0, alfagion, delta, adelta
REAL*8 y_sph, y_tor, y_cyl, y_pl, l_b
integer, parameter :: ch = 9
real*8 MconstA(ch), MconstB(ch)
!C      ! 1  2  3  4  5  6  7  8  9
!C      ! Nc  Vs  ls  a0  ap  delta deltaH logic ddip
REAL*8 T,Pi,psi,k,e,Nav,sigmaw,sigmaA,sigmaB,sigmasA,sigmasB,&
epsilon,nzero,krDeb,dchpotCH2,dchpotCH3,Cadd,&
      CsurA,CsurB
COMMON /A/ T,Pi,psi,k,e,Nav,sigmaw,sigmaA,sigmaB,sigmasA,sigmasB,&
epsilon,MconstA, MconstB,nzero,krDeb,dchpotCH2,dchpotCH3,Cadd,&
CsurA,CsurB

      call alf_ion_Deb(alfa,alfagion,delta)      ! input alfa - aggregate composition at current
monomer composition; output  alfagion - charge fraction in the aggregate, delta -distance

      if (alfagion<1.0d-15)then      ! no ionic surfactants in the system
g_ion = 0.0d0
return
endif

      l_b = e**2/(epsilon*k*T)*1.0d8      ! [A]  from CGSE units /cm/
achrg=adelta(sh,alfa,b,c,delta)      ! area per molecule at b+delta
      s =4*Pi*l_b*alfagion/(achrg*krDeb)
      x0 = krDeb*(b + delta)

IF (sh.eq.3) then
      theta = 3.d0/4.d0*pi
      m = (c+2*b*cos(theta))/(c+b*cos(theta))
      p = (m-1.d0)/2.d0
!      if ((m-1.0d0).LT.3.0d-3) p=0
      g_ion = s*achrg*krDeb*y_tor(p,x0,x0,s)/(8*Pi*l_b)

!      print*, 'linear',g_ion,m,s,achrg,krDeb,l_b,x0
ELSE
IF (sh.eq.2) then
      g_ion = s*achrg*krDeb*y_sph(x0,x0,s)/(8*Pi*l_b)
ELSE
IF (sh.eq.1) then

      g_ion = s*achrg*krDeb*y_cyl(x0,x0,s)/(8*Pi*l_b)
ELSE
IF (sh.eq.0) then

```

```

      g_ion = s*achrg*krDeb*y_pl(x0,x0,s)/(8*Pi*l_b)
ELSE
      write(*,*) "Error in g_ion()"
ENDIF
ENDIF
ENDIF
ENDIF
RETURN
END

!C*****
      REAL*8 function g_ionves(b,c,d,alfao,alfai)                                ! linear PB
IMPLICIT none
      REAL*8 b, c, d, alfai, alfao, achrg_in, achrg_out,l_b,g_in,g_out
      REAL*8 s_in, s_out, x0,x00, alfagion, delta, adelta
      REAL*8 y_vi, y_vo,y_veso, y_vesi
      real*8 agg_ves,agg_vesi,agg_veso,agg_v,agg_vi,agg_vo
      integer, parameter :: ch = 9
      real*8 MconstA(ch), MconstB(ch)
!C      ! 1  2  3  4  5  6  7  8  9
!C      ! Nc  Vs  ls  a0  ap  delta deltaH  logic  ddip
      REAL*8 T,Pi,psi,k,e,Nav,sigmaw,sigmaA,sigmaB,sigmasA,sigmasB,&
      epsilon,nzero,krDeb,dchpotCH2,dchpotCH3,Cadd,&
      CsurA,CsurB
      COMMON /A/ T,Pi,psi,k,e,Nav,sigmaw,sigmaA,sigmaB,sigmasA,sigmasB,&
      epsilon,MconstA, MconstB,nzero,krDeb,dchpotCH2,dchpotCH3,Cadd,&
      CsurA,CsurB
      l_b = e**2/(epsilon*k*T)*1.0d8                                ! [A] from CGSE units /cm/
      agg_vi=agg_vesi(b,d,alfai)
      agg_vo=agg_veso(b,c,d,alfao)
      agg_v=agg_ves(b,c,d,alfao,alfai)
      call alf_ion_Deb(alfao,alfagion,delta)                        ! input alfa - aggregate composition at current
monomer composition; output alfagion - charge fraction in the aggregate, delta -distance
      if (dabs(alfagion).le.1.0d-15)then                            ! no ionic surfactants in the
system
      alfagion = 0.0d0
      endif
      achrg_out=adelta(4.0d0,alfao,b+d,c,delta)                    ! area per molecule at
b+c+d+delta (outer layer)
      s_out =4*Pi*l_b*alfagion/(achrg_out*krDeb)

      call alf_ion_Deb(alfai,alfagion,delta)
      if (dabs(alfagion).le.1.0d-15)then                            ! no ionic surfactants in the
system
      alfagion = 0.0d0
      endif

```

```

        achrg_in=adelta(5.0d0,alfai,b,d,-delta)                                ! area per molecule at b-delta
(inner layer)
        s_in =4*Pi*l_b*alfagion/(achrg_in*krDeb)

        x00=krDeb*(b + c + d+delta)
        x0 = krDeb*(b - delta)
        y_vi=y_vesi(x0,x0,s_in,x00,s_out)
        g_in=agg_vi*s_in*achrg_in*krDeb*y_vi
        y_vo=y_veso(x00,x0,s_in,x00,s_out)
        g_out=agg_vo*s_out*achrg_out*krDeb*y_vo

        g_ionves=(g_in+g_out)/(8*Pi*l_b*agg_v)
        ! write(*,*)'ion',g_ionves,alfai,y_vi,alfao,y_vo
        RETURN
    END

!C*****
        REAL*8 function g_ionves_nlin(b,c,d,alfao,alfai)
    IMPLICIT none
    REAL*8 b, c, d, alfai, alfao, achrg_in, achrg_out,l_b,g_in,g_out
    REAL*8 s_in, s_out, alfagion, delta, adelta,const
        real*8 agg_ves,agg_vesi,agg_veso,agg_v,agg_vi,agg_vo
    integer, parameter :: ch = 9
    real*8 MconstA(ch), MconstB(ch)
!C          ! 1  2  3  4  5  6  7  8  9
!C          ! Nc  Vs  ls  a0  ap  delta deltaH  logic  ddip
    REAL*8 T,Pi,psi,k,e,Nav,sigmaw,sigmaA,sigmaB,sigmasA,sigmasB,&
        epsilon,nzero,krDeb,dchpotCH2,dchpotCH3,Cadd,CsurA,CsurB
    COMMON /A/ T,Pi,psi,k,e,Nav,sigmaw,sigmaA,sigmaB,sigmasA,sigmasB,&
        epsilon,MconstA, MconstB,nzero,krDeb,dchpotCH2,dchpotCH3,Cadd,CsurA,CsurB
        l_b = e**2/(epsilon*k*T)*1.0d8                                ! [A]   from CGSE units /cm/
        agg_vi=agg_vesi(b,d,alfai)
        agg_vo=agg_veso(b,c,d,alfao)
        agg_v=agg_ves(b,c,d,alfao,alfai)

        call alf_ion_Deb(alfao,alfagion,delta)                        ! input alfa - aggregate composition at current
monomer composition; output  alfagion - charge fraction in the aggregate, delta -distance

        if (dabs(alfagion).le.1.0d-15)then                            ! no ionic surfactants in the
system
            alfagion = 0.0d0
            endif
        achrg_out=adelta(4.0d0,alfao,b+d,c,delta)                    !   area   per   molecule   at
b+c+d+delta    (outer layer)
        s_out =4*Pi*l_b*alfagion/(achrg_out*krDeb)

```

```

      call alf_ion_Deb(alfai,alfagion,delta)
      if (dabs(alfagion).le.1.0d-15)then
! no ionic surfactants in the
system
      alfagion = 0.0d0
      endif

      achrg_in=adelta(5.0d0,alfai,b,d,-delta)
! area per molecule at b-delta
(inner layer)
      s_in =4*Pi*I_b*alfagion/(achrg_in*krDeb)

!b=r_ves, c+d=total thickness

      const=sqrt(1+(s_in/2)**2)
      if (dabs(s_in).le.1.0d-15)then
! no ionic surfactants in the system
      g_in = 0.0d0
      else
      g_in=agg_vi*2*(log(s_in/2+const)-2*(const-1)/s_in)
      g_in=g_in+ 4*log(0.5+0.5*const)/(krDeb*s_in*(b-delta))
      endif
      const=sqrt(1+(s_out/2)**2)
      if (dabs(s_out).le.1.0d-15)then
! no ionic surfactants in the
system
      g_out = 0.0d0
      else
      g_out=agg_vo*2*(log(s_out/2+const)-2*(const-1)/s_out)
      g_out=g_out-4*log(0.5+0.5*const)/(krDeb*s_out*(b+c+d+delta))
      end if
      g_ionves_nlin=(g_in+g_out)/agg_v
      RETURN
END

!C*****
      REAL*8 function y_tor(p,x,x0,s)
      IMPLICIT none
      REAL*8 p, x, x0, s
      REAL*8 dimm1(1), dimm2(1)
      CALL dbks(p,x,1,dimm1)
      CALL dbks(p+1,x0,1,dimm2)
      y_tor = s*(x0/x)**p*dimm1(1)/dimm2(1)
      RETURN
      END

!C*****
      REAL*8 function y_pl(x,x0,s)
      IMPLICIT none
      REAL*8 x, x0, s
      y_pl = s*dexp(x0-x)
      RETURN

```

```

END
!C*****
REAL*8 function y_cyl(x,x0,s)
IMPLICIT none
REAL*8 x, x0, s
REAL*8 dbsk0, dbsk1
y_cyl = s*dbsk0(x)/dbsk1(x0)
RETURN
END
!C*****
REAL*8 function y_sph(x,x0,s)
IMPLICIT none
REAL*8 x, x0, s
y_sph = s*x0**2/(x0+1)*dexp(x0-x)/x
RETURN
END
!*****
      REAL*8 function y_memb(x_in,s_in,x_out,s_out)      !for vesicles transmembrane potential
IMPLICIT none
REAL*8 x_out, x_in, s_in,s_out,const,epsilon_hc
      integer, parameter :: ch = 9
real*8 MconstA(ch), MconstB(ch)
REAL*8  T,Pi,psi,k,e,Nav,sigmaw,sigmaA,sigmaB,sigmasA,sigmasB
real*8 epsilon,nzero,krDeb,dchpotCH2,dchpotCH3,Cadd,CsurA,CsurB
      COMMON /A/ T,Pi,psi,k,e,Nav,sigmaw,sigmaA,sigmaB,sigmasA,sigmasB,&
epsilon,MconstA, MconstB,nzero,krDEb,dchpotCH2,dchpotCH3,Cadd,CsurA,CsurB
      const=(dcosh(x_in)/dsinh(x_in)-1/x_in)**(-1)
      epsilon_hc=2.1
y_memb = s_in*const-s_out*x_out/(1+x_out)
y_memb=y_memb/(1-epsilon_hc/(epsilon*(x_in-x_out))*(x_out*const/x_in+x_in/(x_out+1)))
RETURN
END
!C*****
      REAL*8 function y_vesi(x,x_in,s_in,x_out,s_out)      !for vesicles potential of inner layer
IMPLICIT none
REAL*8 x, x_in,x_out, s_in,s_out,s_eff_in
y_vesi = s_eff_in(x_in,s_in,x_out,s_out)*(x_in**2)*dsinh(x)/(x*(x_in*dcosh(x_in)-dsinh(x_in)))
RETURN
END
!C*****
      REAL*8 function y_veso(x,x_in,s_in,x_out,s_out)      !for vesicles potential of outer layer
IMPLICIT none
REAL*8 x, x_out,x_in, s_out,s_in,s_eff_out
y_veso = s_eff_out(x_in,s_in,x_out,s_out)*x_out**2/(x_out+1)*dexp(x_out-x)/x

```



```

RETURN
END
!C*****
inner layer
      REAL*8 function s_eff_in(x_in,s_in,x_out,s_out)      !for vesicles effective surf charge density of
      IMPLICIT none
      REAL*8 x_out,x_in, s_out,s_in,epsilon_hc,y_memb
      integer, parameter :: ch = 9
      real*8 MconstA(ch), MconstB(ch)
      REAL*8  T,Pi,psi,k,e,Nav,sigmaw,sigmaA,sigmaB,sigmasA,sigmasB
      real*8 epsilon,nzero,krDeb,dchpotCH2,dchpotCH3,Cadd,CsurA,CsurB
      COMMON /A/ T,Pi,psi,k,e,Nav,sigmaw,sigmaA,sigmaB,sigmasA,sigmasB,&
      epsilon,MconstA, MconstB,nzero,krDEb,dchpotCH2,dchpotCH3,Cadd,CsurA,CsurB

      epsilon_hc=2.1
      s_eff_in=s_in+epsilon_hc*x_out*y_memb(x_in,s_in,x_out,s_out)/(x_in*epsilon*(x_in-x_out))
RETURN
END
!C*****
outer layer
      REAL*8 function s_eff_out(x_in,s_in,x_out,s_out)      !for vesicles effective surf charge density of
      IMPLICIT none
      REAL*8 x_out,x_in, s_out,s_in,epsilon_hc,y_memb
      integer, parameter :: ch = 9
      real*8 MconstA(ch), MconstB(ch)
      REAL*8  T,Pi,psi,k,e,Nav,sigmaw,sigmaA,sigmaB,sigmasA,sigmasB
      real*8 epsilon,nzero,krDeb,dchpotCH2,dchpotCH3,Cadd,CsurA,CsurB
      COMMON /A/ T,Pi,psi,k,e,Nav,sigmaw,sigmaA,sigmaB,sigmasA,sigmasB,&
      epsilon,MconstA, MconstB,nzero,krDEb,dchpotCH2,dchpotCH3,Cadd,CsurA,CsurB
      epsilon_hc=2.1
      s_eff_out=s_out-epsilon_hc*x_in*y_memb(x_in,s_in,x_out,s_out)/(x_out*epsilon*(x_in-x_out))
RETURN
END
!C*****
      REAL*8 function g_ion_nlin(alfa,b,c,sh)
      IMPLICIT none
      REAL*8 b, c, sh, alfa
      REAL*8 m, s, theta, x0, alfagion, delta, adelta
      REAL*8 Evans1984,Evans1983,DUM_Ohshima1982
      integer, parameter :: ch = 9
      real*8 MconstA(ch), MconstB(ch)
      ! 1 2 3 4 5 6 7 8 9
      ! Nc Vs ls a0 ap delta deltaH logic ddip
      real*8 Ohshima_g_diff,achrg

```

```

REAL*8 T,Pi,psi,k,e,Nav,sigmaw,sigmaA,sigmaB,sigmasA,sigmasB,&
epsilon,nzero,krDeb,dchpotCH2,dchpotCH3,Cadd,&
      CsurA,CsurB
COMMON /A/ T,Pi,psi,k,e,Nav,sigmaw,sigmaA,sigmaB,sigmasA,sigmasB,&
epsilon,MconstA, MconstB,nzero,krDeb,dchpotCH2,dchpotCH3,Cadd,&
CsurA,CsurB

      call alf_ion_Deb(alfa,alfagion,delta)

      if (alfagion<1.0d-15) then          ! no ionic surfactants in the system
      g_ion_nlin = 0.0d0
      return
      endif

      achrg=adelta(sh,alfa,b,c,delta)          ! surface per molecule at      b+delta
      s =4*Pi*alfagion*e**2/(epsilon*krDeb*achrg*(1.0d-8)*k*T)
      x0 = krDeb*(b + delta)

      IF (sh.eq.3) then
      theta = 3.d0/4.d0*Pi
      m = (c+2*b*cos(theta))/(c+b*cos(theta))
      g_ion_nlin = Evans1984(m, x0, s) /s
      ! g_ion_nlin = DUM_Ohshima1982(m, x0, s)/s
      ! g_ion_nlin = Ohshima_g_diff(m, x0, s)
      ! print*, 'NONLINEAR',g_ion_nlin,m,s,achrg,krDeb,x0

      ELSE
      IF (sh.eq.2) then
      g_ion_nlin = DUM_Ohshima1982(2.d0, x0, s)/s ! or Ohshima_g_diff(2.0d0, x0, s)
      ! g_ion_nlin = Ohshima_g_diff(2.0d0, x0, s)
      ELSE
      IF (sh.eq.1) then
      g_ion_nlin = Ohshima_g_diff(1.0d0, x0, s)          ! or Evans1984(1.d0, x0, s)/s
      Ohshima_g_diff(1.0d0, x0, s)
      ! g_ion_nlin = DUM_Ohshima1982(1.d0, x0, s)/s
      ELSE
      IF (sh.eq.0) then
      ! print*, 'sh=',sh,alfa,b,c,delta,'Deb=',krDeb,s

      g_ion_nlin = Evans1984(0.d0, x0, s)/s
      ! g_ion_nlin = DUM_Ohshima1982(0.d0, x0, s)/s
      ! g_ion_nlin = Ohshima_g_diff(0.0d0, x0, s)
      ELSE
      write(*,*) "Error in g_ion_nlin()"
      ENDIF

```

```

ENDIF
ENDIF
ENDIF
RETURN
END
!C*****
REAL*8 function g_zwitter(alfa,b,c,sh)
IMPLICIT none
      REAL*8 b, c, sh, alfa
REAL*8 m, theta, alfag_dip, delta_dip,a_dip,adelta,l_B,&
      m1,coef,Ddip,Rdip
integer, parameter :: ch = 9
real*8 MconstA(ch), MconstB(ch)
      ! 1 2 3 4 5 6 7 8 9
      ! Nc Vs ls a0 ap delta deltaH logic ddip
REAL*8 T,Pi,psi,k,e,Nav,sigmaw,sigmaA,sigmaB,sigmasA,sigmasB,&
epsilon,nzero,krDeb,dchpotCH2,dchpotCH3,Cadd,&
      CsurA,CsurB
COMMON /A/ T,Pi,psi,k,e,Nav,sigmaw,sigmaA,sigmaB,sigmasA,sigmasB,&
epsilon,MconstA, MconstB,nzero,krDeb,dchpotCH2,dchpotCH3,Cadd, &
CsurA,CsurB

      call alf_dip(alfa,alfag_dip,delta_dip,Ddip) ! given fraction of A surfactant calculate
fraction of dipolar molecules and location of dipole and transfer the dipole length Ddip
      ! write(*,*)'alfa= ',alfa,'alfa_dip= ',alfag_dip,'sh=',sh
      if (alfag_dip<1.0d-15.or.Ddip==0.) then ! no dipole moments
in the surfactant system
      g_zwitter = 0.0d0
      return
      endif
      a_dip=adelta(sh,alfa,b,c,delta_dip) ! calculate surface per molecule at
location of dipoles

      l_B = e**2/(epsilon*k*T)*1.0d8 ! [A] CGSE units
      coef=alfag_dip*2.0d0*l_B/a_dip ! here a_dip/alfag_dip gives
the surface per dipolar molecule at location of dipoles
      Rdip = b + delta_dip

      IF (sh.eq.3) then
      theta = 3.d0/4.d0*pi
      m = (c+2*b*cos(theta))/(c+b*cos(theta))
      m1=m-1.0d0
      ! write(*,*) "m=", m
      g_zwitter=coef*Rdip*( 1.0d0-(Rdip/(Rdip+Ddip))**m1 )/m1 !toroidal capacitor
ELSE

```

```

IF (sh.eq.2) then
    g_zwitter = coef*Rdip*Ddip/(Rdip + Ddip)    ! spherical capacitor
ELSE
IF (sh.eq.1) then
    g_zwitter = coef*Rdip*dlog(1.0d0+Rdip/Ddip) ! cylindric capacitor
ELSE
IF (sh.eq.0) then
    g_zwitter = coef*Ddip                        ! planar capacitor
ELSE
    write(*,*) "Error in g_ion_nlin()"
ENDIF
ENDIF
ENDIF
ENDIF
RETURN
END

!C*****
subroutine DUM_Ohshima_f(sh, y0, x0, f, df)
implicit none
real*8 sh, y0, x0, f, df
!c  On entry:
!c  y0 - variable
!c  x0, sh - parameters
!c  On exit:
!c  f, df - function and its derivative
real*8 t
t = dtanh(0.25*y0)
f = 2.0*dsinh(0.5*y0)+2.0*sh/x0*t
df = dcosh(0.5*y0)+0.5*sh/x0*(1.0-t*t)
end

!C*****
real*8 function DUM_Ohshima1982(sh, x0, s)
implicit none
real*8 sh, x0, s
!c  On entry:
!c  sh - shape factor, 2 for spheres and 1 for cylinders
!c  x0 - reduced radius of the surface (x0=kappa*R)
!c  s - reduced surface charge density
!c
!c  On exit:
!c  returns integral \int_0^s y_0 ds
!c
real*8 f, df, dy0, y0, z, integral
z=1.0d0+sh/x0

```

```

      z=dsqrt(z*z+0.25*s*s)-sh/x0
!c   Initial estimation according to Evans et al. 1984
      y0=2.*dlog(z+dsqrt(z*z-1.))
      do
        call DUM_Ohshima_f(sh,y0,x0,f,df)
        dy0 =-(f-s)/df
        y0 = y0+dy0
!c   write (*,*) y0, " ", f
        if(dabs(dy0) < 1.0d-7) exit
      enddo
      integral = 4.0*dcosh(0.5*y0)+8.0*sh/x0*dlog(dcosh(0.25*y0))-4.0
      DUM_Ohshima1982 = s*y0 - integral
    end function
!*****
subroutine Ohshima_f(sh, y0, x0, f, df)
implicit none
real*8 sh, y0, x0, f, df
! On entry:
! y0 - variable
! x0, sh - parameters
! On exit:
! f, df - function and its derivative
real*8 t
t = dtanh(0.25*y0)
f = 2.0*dsinh(0.5*y0)+2.0*sh/x0*t
df =  dcosh(0.5*y0)+0.5*sh/x0*(1.0-t*t)
end
!*****
real*8 function Ohshima_g_diff(sh, x0, s)
implicit none
real*8 sh, x0, s,nom
!
! On entry:
! sh - shape factor, 2 for spheres and 1 for cylinders
! x0 - reduced radius of the surface (x0=kappa*R)
! s - reduced surface charge density
!
! On exit:
! returns reduced electric free energy per CHARGE
!
real*8 f, df, dy0, y0, z, integral
!print *, 'Ohshima'
z=1.+sh/x0
nom = 1.

```

```

z=dsqrt(z*z+0.25*s*s)-sh/x0
! print *, sh,x0, s, z
! Начальное приближение по Эвансу
y0=2.*dlog(z+dsqrt(z*z-1.))
do
  call Ohshima_f(sh,y0,x0,f,df)
  dy0 =-(f-s)/df
  y0 = y0+dy0
  ! write (*,*) y0, " ", f
  if(dabs(dy0) < 1.0d-6) exit
  if (nom>1.d+3) exit
  nom = nom + 1.
enddo
integral = 4.0*dcosh(0.5*y0)+8.0*sh/x0*dlog(dcosh(0.25*y0))-4.0
Ohshima_g_diff = y0 - integral/s
end function
! *****

      real*8 function Evans1984(m, x0, s)
      implicit none
      real*8 m, x0, s
!c   On entry:
!c   m - shape factor
!c   x0 - reduced radius of the surface (x0=kappa*R)
!c   s - reduced surface charge density
!c   On exit:
!c   returns integral \int_0^s y_0 ds
      REAL*8 z, y0
      if( s < 0.0) then
        write(*,*) "error in Evans1984(): s < 0"
        stop
      endif
      z=dsqrt((1.d0+m/x0)**2+0.25d0*s**2)-m/x0
!      print*, 'm= ',m,x0,s,'z= ',z,(dsqrt((1.d0+m/x0)**2)-m/x0)

      If(z.LE.1.d0)then
        Evans1984=0.d0
        return
      endif

      y0=2.d0*dlog(z+dsqrt(z*z-1.d0))
      Evans1984=      &
        y0*s-2.0*s*dsqrt((z+1.0)/(z-1.0)) + &
        8.0*dsqrt(1.0+m/x0)-8.0*m/x0*      &
        (dlog(dsqrt(z+1.0)+s/(2.0*dsqrt(z-1.0)))) &

```

```

-dlog(dsqr(2.d0)+dsqr(2.0+2.0*m/x0)))

!c      g_el10 := 2*darccosh(z)-2*dsqr((z+1)/(z-1))+8/s*dsqr(1+m/x0)-
!c      8*m/(x0*s)*(dlog(dsqr(z+1)+s/(2*dsqr(z-1)))-dlog(dsqr(2.)+dsqr(2+2*m/x0)));

!C 2.0*(dlog(s/2.0+dsqr(1.0+s*s/4.0)) +
!C> (1-sqr(1+s*s/4.0))*2.0/s -
!C> 2*m/(x0*s)*dlog((1.0+dsqr(1+s*s/4.0))/2.0))
      return
      END
!C*****

real*8 function Evans1983(m, x0, s)                                ! exact for plane
implicit none
real*8 m, x0, s

      Evans1983 = s*2.0d0*(dlog(s/2.0+dsqr(1.0d0+s*s/4.0d0))+ &
      (1-dsqr(1+s*s/4.0d0))*2.0d0 - &
      2.0d0*m/(x0)*dlog((1.0d0+dsqr(1+s*s/4.0d0))/2.0d0))
      return
      end function
!C*****

real*8 function fcyl (gg)
implicit none
real*8 gg(1,2), X1A,X1B,alfaA1,chpotcyl
real*8 alfa,R,RUbound,lsinf,lssup
common /monomers/ X1A,X1B,alfaA1
common /lsformin/ lsinf,lssup

if (alfaA1<1.0d-15.or.dabs(alfaA1-1)<1.0d-15)then
gg(1,2)=alfaA1
fcyl = chpotcyl(gg)
return
endif

alfa = gg(1,2)
R = gg(1,1)
!if((R>=RUbound(alfa)).or.(R<lsinf)) then                                ! add condition on alfa
.or.(alfa>=1.0d0)
!fcyl = 1.0d3*((R-RUbound(alfa))/(R+RUbound(alfa)))**2 +1.0d3 ! + 5.0d1*((alfa-0.5d0)/(alfa+0.5d0))**2
! original fcyl = 1.0d3*((R-3.0d0*lsinf)/(R+3.0d0*lsinf))**2 +1.0d3 + 5.0d1*((alfa-
0.5d0)/(alfa+0.5d0))**2
!return
!endif
!fcyl = -(X1A**gg(1,2))*(X1B**(1.0d0 - gg(1,2)))*dexp(- chpotcyl(gg))

```

```
fcyl = -alfa*dlog(X1A)- (1.0d0-alfa)*dlog(X1B)+chpotcyl(gg)
!print*, 'cyl ', fcyl
return
end function

! *****

real*8 function fsph (gg)
implicit none
real*8 gg(1,2)
real*8 alfacylopt,Rcylopt,gcylopt, R, alfa,chpot,nsph,J,lnK,vs
common /optcyl/ alfacylopt,Rcylopt,gcylopt
real*8 X1A,X1B,alfaA1
real*8 RUbound,lrsinf,lssup
common /monomers/ X1A,X1B,alfaA1
common /lsformin/ lrsinf,lssup

if (alfaA1<1.0d-15.or.dabs(alfaA1-1)<1.0d-15)then
gg(1,2)=alfaA1
alfa = gg(1,2)
R = gg(1,1)
nsph = 4./3.*3.1415926*R**3/vs(alfa)
lnK = nsph*(chpot(gg) - gcylopt)
fsph = lnK
return
endif

alfa = gg(1,2)
R = gg(1,1)
nsph = 4./3.*3.1415926*R**3/vs(alfa)
J = nsph*(alfa - alfacylopt)
lnK = nsph*(chpot(gg) - gcylopt)
!write (*,*) 'X1A/B sph=',X1A,X1B
!fsph = -(X1A**J)*(X1B**(1.d0 - J))*dexp(- lnK) ! inf cycling with NLPB: might be necessary to
turn on the next string

!if((R>=RUbound(alfa))) then
! add condition on alfa
.or.(alfa>=1.0d0)
!fsph = 1.0d3*((R-RUbound(alfa))/(R+RUbound(alfa)))**2 +1.0d3 ! + 5.0d1*((alfa-0.5d0)/(alfa+0.5d0))**2
!return
!elseif(R<lrsinf) then
!fsph = 1.0d3*((R-0.2d0*RUbound(alfa))/(R+0.2d0*RUbound(alfa)))**2 +1.0d3
!return
!endif

fsph = - (J*dlog(X1A) + (1.0d0- J)*dlog(X1B) - lnK) ! overflow c LPB, works with NLPB
$$$$$$$$$$$$$$$$$$$$$$$$$$$$$$$$$$$$$$$$$$$$$$$$$$$$$$$$$$$$
```



```

!fsph = -(X1A**gg(1,2))*(X1B**(1. - gg(1,2)))*dexp(- chpot(gg))      ! similar but easier
return
end function
!*****

real*8 function fsph_max (gg)
implicit none
real*8 gg(1,2)
real*8 R, alfa,chpot,nsph,vs
real*8 X1A,X1B,alfaA1
common /monomers/ X1A,X1B,alfaA1

R = gg(1,1)

      if (alfaA1<1.0d-15.or.dabs(alfaA1-1.0d0)<1.0d-15)then      !
pure A or B
      gg(1,2)=alfaA1
      alfa = gg(1,2)
      nsph = 4./3.*3.1415926*R**3/vs(alfa)
      fsph_max = nsph*(chpot(gg) - dlog(X1A*alfaA1+X1B*(1.0d0-alfaA1)))      !      alfaA1      toggles
between X1A and X1B for pure components
      return
    endif
    !      MIXTURES A+B:
    alfa = gg(1,2)
    nsph = 4./3.*3.1415926*R**3/vs(alfa)
    fsph_max = nsph*(chpot(gg) - alfa*dlog(X1A)-(1.0d0-alfa)*dlog(X1B))
    return
end function

!*****

real*8 function fsph_gmax (gg)
implicit none
real*8 gg(1,2)
real*8 R, alfa,chpot,nsph,vs
real*8 X1A,X1B,alfaA1
common /monomers/ X1A,X1B,alfaA1

R = gg(1,1)

      if (alfaA1<1.0d-15.or.dabs(alfaA1-1.0d0)<1.0d-15)then      !
pure A or B
      gg(1,2)=alfaA1
      alfa = gg(1,2)
      nsph = 4./3.*3.1415926*R**3/vs(alfa)

```

```

      fsph_gmax = nsph*(chpot(gg) - dlog(X1A*alfaA1+X1B*(1.0d0-alfaA1)))-dlog(nsph)  !      alfaA1
toggles between X1A and X1B for pure components
      return
    endif
    !      MIXTURES A+B:
    alfa = gg(1,2)
    nsph = 4./3.*3.1415926*R**3/vs(alfa)
    fsph_gmax = nsph*(chpot(gg) - alfa*dlog(X1A)-(1.0d0-alfa)*dlog(X1B))-dlog(nsph)
    return
  end function
!*****
!      type of surfactants: 1 - cationic, 2 - anionic, 3 - nonionic (if Ddip>0 zwitterionic)
SUBROUTINE fcn_pl(n,x,f)
  IMPLICIT none
  INTEGER n
      REAL*8 lsinf,lssup,X1A,X1B,alfaA1
      COMMON/alfabound/right_alfa,left_alfa
      common /lsformin/ lsinf,lssup
      common /monomers/ X1A,X1B,alfaA1
      REAL*8 right_alfa,left_alfa
  REAL*8 x(n), f, g_pl,x1,x2,bright,bleft,RUbound
  EXTERNAL g_pl

      x1=x(1)*lssup
      x2=x(2)
  bright=RUbound(x2)
  bleft =0.3d0*bright
      if (x1.GT.bright) then
        x1=bright
        f=1000.0d0
        return
      end if
      if (x1.LT.bleft) then
        x1=bleft
        f=1000.0d0
        return
      end if
      if (x2.GT.right_alfa) then
        x2=right_alfa
        f=1000.0d0
        return
      end if
      if (x2.LT.left_alfa) then
        f=1000.0d0

```

```

        x2=left_alfa
        return
    end if
    f=g_pl(x1,x2)
RETURN
END
!C*****
SUBROUTINE fcn_pl_pure(m,x,f)
IMPLICIT none
INTEGER m
    REAL*8 lsinf,lssup,X1A,X1B,alfaA1
!    common /lsformin/ lsinf,lssup
    common /monomers/ X1A,X1B,alfaA1
REAL*8 x(m), f, g_pl,x1,x2,bright,bleft,RUbound
EXTERNAL g_pl

bright=RUbound(alfaA1)
bleft =0.3d0*bright

    x1=x(1)*bright
    x2=alfaA1
    if (x1.GT.bright) then
        x1=bright
        f=1000.0d0
        return
    end if
    if (x1.LT.bleft) then
        x1=bleft
        f=1000.0d0
        return
    end if
    f=g_pl(x1,x2)
RETURN
END
!C*****
SUBROUTINE fcn_tor(n,x,f)
IMPLICIT none
INTEGER n
REAL*8 x(n), f, g_tor,x1,x2,x3,X1A,X1B,alfaA1
    REAL*8 lssup,lsinf,right_alfa,left_alfa,bleft,bright,RUbound
COMMON/alfabound/right_alfa,left_alfa
    common /lsformin/ lsinf,lssup
    common /monomers/ X1A,X1B,alfaA1
EXTERNAL g_tor

```

```

x1=x(1)*lssup
x2=x(2)*lssup
x3=x(3)
  bright=RUbound(x3)
bleft =0.3d0*bright

  if (x1.GT.bright) then
    x1=bright
    f=1000.0d0
    return
  end if
  if (x1.LT.bleft) then
    x1=bleft
    f=1000.0d0
    return
  end if
  if (x3.GT.right_alfa) then
    x3=right_alfa
    f=1000.0d0
    return
  end if
  if (x3.LT.left_alfa) then
    f=1000.0d0
    x3=left_alfa
    return
  end if
  if ((x2/x1).LT.1.10d0) then
    x2=1.10d0*x1
    f=1000.0d0
    return
  endif
  if ((x2/x1).GT.100.0d0) then
    x2=100.0d0*x1
    f=1000.0d0
    return
  endif
  f=g_tor(x1,x2,x3)

```

RETURN

END

!C*****

SUBROUTINE fcn_jun(n,x,f)

IMPLICIT none

INTEGER n,depend

```

REAL*8 x(n), f, g_jun,g_jun2,x1,x2,x3,X1A,X1B,alfaA1
      REAL*8 lssup,lsinf,right_alfa,left_alfa,bleft,bright,RUbound
      COMMON/alfabound/right_alfa,left_alfa
      common /lsformin/ lsinf,lssup
      common /monomers/ X1A,X1B,alfaA1
COMMON/control/depend
EXTERNAL g_jun, g_jun2

      x1=x(1)*lssup
      x2=x(2)*lssup          !x2 - c
      x3=x(3)                !x3 - alfa in torus or other, see g_jun

bright=RUbound(x3)
bleft =0.3d0*bright

      if (x1.LT.bleft) then
      x1=bleft
      f=1000.0d0
      return
      endif
      if (x1.GT.bright) then
      x1=bright
      f=1000.0d0
      return
      endif
      if (x3.LT.left_alfa) then
      x3=left_alfa
      f=1000.0d0
      return
      end if
      if (x3.GT.right_alfa) then
      x3=right_alfa
      f=1000.0d0
      return
      endif
      if ((x2/x1).LT.1.30d0) then
      x2=1.30d0*x1
      f=1000.0d0
      return
      endif
      if ((x2/x1).GT.100.0d0) then
      x2=100.0d0*x1

```

was 1.1

!!!!!!!!!!!!!!!!!!!!!! originally

```

        f=1000.0d0
        return
    endif
    if(depend) then
        f = g_jun(x1,x2,x3)                                !works when depend=1

        !f = -x3*dlog(X1A)- (1.0d0-x3)*dlog(X1B)+g_jun(x1,x2,x3)    ! here x3 is not exactly the
        average composition - trial
    else
        f = g_jun2(x1,x2,x3)                                !works when depend=0

        !f = -x3*dlog(X1A)- (1.0d0-x3)*dlog(X1B)+g_jun2(x1,x2,x3)    ! here x3 is not exactly the
        average composition - trial

        ! write(*, '(A9,E14.5,2(2X,F12.7),E14.5)') 'fcnjun = ',f, x1,x2,x3
    endif
    RETURN
END
!C*****
SUBROUTINE fcn_junMAX(n,x,f)
IMPLICIT none
INTEGER n,depend

REAL*8 x(n), f, g_jun,g_jun2,x1,x2,x3,X1A,X1B,alfaA1
REAL*8
lssup,lsinf,right_alfa,left_alfa,bleft,bright,RUbound,r_patch,alfa_pl,alf_JUN,Jun_alf,g_patch,n_tor,n_pl,njun
COMMON/alfabound/right_alfa,left_alfa
common /lsformin/ lsinf,lssup
common /monomers/ X1A,X1B,alfaA1
COMMON/optpl/r_patch,alfa_pl,g_patch
COMMON/control/depend
EXTERNAL g_jun, g_jun2

x1=x(1)*lssup
x2=x(2)*lssup          !x2 - c
x3=x(3)                !x3 - alfa in torus or other, see g_jun

bright=RUbound(x3)
bleft =0.3d0*bright

if (x1.LT.bleft) then
    x1=bleft
    f=1000.0d0
    return

```

```

endif
if (x1.GT.bright) then
x1=bright
f=1000.0d0
return
endif
if ((x2/x1).LT.1.30d0) then
was 1.1
x2=1.30d0*x1
f=1000.0d0
return
endif
if ((x2/x1).GT.100.0d0) then
!!!!!!!!!!!!!!!!!!!!!! originally
x2=100.0d0*x1
f=1000.0d0
return
endif

!           pure A or B
!           if (alfaA1<1.0d-15.or.dabs(alfaA1-1.0d0)<1.0d-15)then

!x3=alfaA1
!if(depend) then
!f = -dlog(X1A*alfaA1+X1B*(1.0d0-alfaA1))+g_jun(x1,x2,x3)      !works when depend=1   alfaA1
toggles between X1A and X1B for pure components
!           else
!f = -dlog(X1A*alfaA1+X1B*(1.0d0-alfaA1))+g_jun2(x1,x2,x3)      !works           when
depend=0           alfaA1 toggles between X1A and X1B for pure components
!           endif
!return
!endif

!           MIXTURES A+B:
if (x3.LT.left_alfa) then
x3=left_alfa
f=1000.0d0
return
end if
if (x3.GT.right_alfa) then
x3=right_alfa
f=1000.0d0
return
endif

call Av_alf_jun(x1,x2,r_patch,alfa_pl,x3,alf_JUN,n_tor,n_pl,njun)
!alf_JUN = Jun_alf(x1,x2,r_patch,alfa_pl,x3)      ! average fraction in junction

if(depend) then

```

```

      f = (-alf_JUN*dlog(X1A)-      (1.0d0-alf_JUN)*dlog(X1B)+g_jun(x1,x2,x3))*njun      -dlog(njun)
!works when depend=1
      else
      f = (-alf_JUN*dlog(X1A)-      (1.0d0-alf_JUN)*dlog(X1B)+g_jun2(x1,x2,x3))*njun -dlog(njun)
      !works when depend=0
    endif
    RETURN
  END
!C*****
      SUBROUTINE fcn_jun_pure(m,x,f)
      IMPLICIT none
      INTEGER m,depend

      REAL*8 x(m), f, g_jun,g_jun2,x1,x2,x3,X1A,X1B,alfaA1
      REAL*8 lssup,lsinf,bleft,bright, RUbound
!      common /lsformin/ lsinf,lssup
      COMMON/control/depend
      common /monomers/ X1A,X1B,alfaA1
      EXTERNAL g_jun, g_jun2

      bright=RUbound(alfaA1)
      bleft =0.3d0*bright
      x1=x(1)*bright
      x2=x(2)*bright
      x3=alfaA1

      if (x1.LT.bleft) then
      x1=bleft
      f=1000.0d0
      return
      endif
      if (x1.GT.bright) then
      x1=bright
      f=1000.0d0
      return
      endif

      if ((x2/x1).LT.1.30d0) then
      !!!!!!!!!!!!!!!!!!!!!!! originally
      x2=1.30d0*x1
      f=1000.0d0
      return
      endif
      if ((x2/x1).GT.200.0d0) then
      ! was 100

```

was 1.1


```

        x2=100.0d0*x1
        f=1000.0d0
        return
    endif
    if(depend) then
f = g_jun(x1,x2,x3)                                !works when depend=1
    else
f = g_jun2(x1,x2,x3)                                !works when depend=0
!      write(*, '(A9,E14.5,2(2X,F12.7),E14.5)') 'fcnjun = ',f, x1,x2,x3
    endif
    RETURN
    END
!C*****
        SUBROUTINE fcn_jun_pureMAX(m,x,f)
        IMPLICIT none
        INTEGER m,depend
        REAL*8 x(m), f, g_jun,g_jun2,x1,x2,x3,X1A,X1B,alfaA1, r_patch,alfa_pl, g_patch,alf_JUN, n_tor,n_pl,
njun
        REAL*8 lssup,lsinf,bleft,bright, RUbound
        COMMON/control/depend
        common /monomers/ X1A,X1B,alfaA1
        COMMON/optpl/r_patch,alfa_pl,g_patch
        EXTERNAL g_jun, g_jun2
        bright=RUbound(alfaA1)
        bleft =0.3d0*bright
        x1=x(1)*bright
        x2=x(2)*bright
        x3=alfaA1

        if (x1.LT.bleft) then
            x1=bleft
            f=1000.0d0
            return
        endif
        if (x1.GT.bright) then
            x1=bright
            f=1000.0d0
            return
        endif
        if ((x2/x1).LT.1.30d0) then
            x2=1.30d0*x1
            f=1000.0d0
            return
        endif

```

```

        if ((x2/x1).GT.200.0d0) then
            x2=100.0d0*x1
            f=1000.0d0
            return
        endif
        call Av_alf_jun(x1,x2,r_patch,alfa_pl,x3,alf_JUN,n_tor,n_pl,njun)
        if(depend) then
            f = (-dlog(X1A*alfaA1+X1B*(1.0d0-alfaA1))+g_jun(x1,x2,x3))*njun -dlog(njun)
            !works when
            depend=1      alfaA1 toggles between X1A and X1B for pure components
        else
            f = (-dlog(X1A*alfaA1+X1B*(1.0d0-alfaA1))+g_jun2(x1,x2,x3))*njun -dlog(njun)
            !works when depend=0      alfaA1 toggles between X1A and X1B for pure components
        endif
        return
    end
    !*****
SUBROUTINE f2ves(n,x,f)
    IMPLICIT none
    INTEGER n
    Common /ves_dumpol/r_ves
    Common /ves_dumpol1/alfao,alfai
    REAL*8 lssup,lsinf,right_alfa,left_alfa,ls_min,alfao
    COMMON/alfabound/right_alfa,left_alfa
    common /lsformin/ lsinf,lssup
    integer, parameter :: ch = 9
    real*8 MconstA(ch), MconstB(ch)
    REAL*8 T,Pi,psi,k,e,Nav,sigmaw,sigmaA,sigmaB,sigmasA,sigmasB
    real*8 epsilon,nzero,krDeb,dchpotCH2,dchpotCH3,Cadd,CsurA,CsurB
    COMMON /A/ T,Pi,psi,k,e,Nav,sigmaw,sigmaA,sigmaB,sigmasA,sigmasB, &
    epsilon,MconstA, MconstB, &
    nzero,krDEb,dchpotCH2,dchpotCH3,Cadd,CsurA,CsurB
    common /monomers/X1A,X1B,alfaA1
    real*8 X1A,X1B,alfaA1
    REAL*8 r_ves,alfa,alfai,agg_vo,agg_veso,agg_v,agg_ves
    REAL*8 x(n), f, g_ves, x1,x2,x3,x4,x5,x6,C,agg_vi,agg_vesi
    EXTERNAL g_ves
    Common /tauotaui/C
    ls_min=lsinf/0.3d0
        left_alfa = 1.0d-14      !0.0d0
        right_alfa = 1.0d0-1.0d-14      !1.0d0
        x1=r_ves
        x2=x(1)*ls_min/(1+C)      !tauo
        x3=C*x2
        x4=alfao      !alfao

```

x5=alfai

!alfai

```
agg_vo=agg_veso(r_ves,x2,x3,x4)
agg_v=agg_ves(r_ves,x2,x3,x4,x5)
alfa = (x4*agg_vo+ x5*agg_vi)/agg_v
```

```
if (x2.GT.ls_min) then
x2=ls_min
f=1000.0d0
return
end if
if (x2.LT.lsinf) then
x2=lsinf
f=1000.0d0
return
end if
if (x3.GT.ls_min) then
x3=ls_min
f=1000.0d0
return
end if
if (x3.LT.lsinf) then
x3=lsinf
f=1000.0d0
return
end if
if (x5.GT.right_alfa) then
x5=right_alfa
f=1000.0d0
return
end if
if (x5.LT.left_alfa) then
f=1000.0d0
x5=left_alfa
return
end if
if (x4.GT.right_alfa) then
x4=right_alfa
f=1000.0d0
return
end if
if (x4.LT.left_alfa) then
f=1000.0d0
x4=left_alfa
```

```

        return
    end if
    f=-alfa*dlog(X1A)-(1.0d0-alfa)*dlog(X1B)+g_ves(x1,x2,x3,x4,x5)
RETURN
END
! *****Numerical *****
subroutine coordsquare(FF,Xzero,a,b,epsab,c,d,epsd,XXeps,minXX,minZ)
! минимизация f = FF(XX), где XX =( XX(1,1), XX(1,2) ) - вектор
! XX(1,1) принадлежит [a,b]
! XX(1,2) принадлежит [c,d]
! epsab - точность поиска по первой составляющей вектора XX
! epsd - -- // --          второй -- // --
! XXeps - точность определения минимума
! ( одномерный поиск - метом золотого сечения)
! minXX,minZ - выходные параметры
implicit none
real*8 logicalcoord,Xzero(1,2),minXX(1,2),minZ,XX(1,2),X0(1,2),delX(1,2)
real*8 a,b,epsab,c,d,epsd,XXeps(1,2)
real*8 FF,miny,minx,bright,RUbound,alfa,aleft
external FF,RUbound
common /coordsquarecom / logicalcoord,XX
X0 = Xzero
do
    XX = X0
    logicalcoord = 1.
    call golden (FF,c,d,epsd,minx,miny)
    XX(1,2) = minx
    alfa = minx
    logicalcoord = 2.
    ! R-optimization
    if (b>RUbound(alfa)) then
        bright=RUbound(alfa)
    else
        bright=b
    endif
    if (a<bright*0.4d0) then
        controlling minimal R - excluding premicellar aggregates
        aleft= bright*0.4d0
    else
        aleft=a
    endif
    call golden (FF,aleft,bright,epsab,minx,miny)
    XX(1,1) = minx
    delX = XX - X0

```

```

    if ((dabs(delX(1,1))<= XXeps(1,1)).and.(dabs(delX(1,2))<= XXeps(1,2))) exit
    X0 = XX
end do
minXX = XX
minZ = FF(XX)
end subroutine
!*****

real*8 function f(x,FF)
implicit none
real*8 x,XX(1,2),logicalcoord,ff
external ff
common /coordsquarecom / logicalcoord,XX
if (logicalcoord == 1.) then
XX(1,2) = x
f = FF(XX)
else
XX(1,1) = x
f = FF(XX)
end if
end function
!*****

subroutine golden (FF,left,right,eps,minx,miny)
implicit none
real*8 ff,a,b,eps,minx,miny,x1,x2,y1,y2,h,left,right,f
external ff,f
! нахождение минимума функции одной переменной
! методом золотого сечения
! left,right,eps - входные параметры
! minx,miny - выходные параметры
a = left
b = right
x1 = a + 0.382*(b - a)
x2 = a + 0.618*(b - a)
y1 = f(x1,ff)
y2 = f(x2,ff)
do
if(y1>y2) then
a = x1
h = (b - a)/2.
if(h<= eps) exit
x1 = x2
y1 = y2
x2 = a + 0.618*(b - a)
y2 = f(x2,ff)

```

! try to include equality

```

elseif (y1<y2) then
  b = x2
  h = (b - a)/2.
  if(h<= eps) exit
  x2 = x1
  y2 = y1
  x1 = a + 0.382*(b - a)
  y1 = f(x1,ff)
else
  a = x1
  b = x2
  h = (b - a)/2.
  if(h<= eps) exit
  x1 = a + 0.382*(b - a)
  x2 = a + 0.618*(b - a)
  y1 = f(x1,ff)
  y2 = f(x2,ff)
end if
! print *, 'a==',a,'b==',b
end do
minx = (a + b)/2.
miny = f(minx,ff)
end subroutine

!*****
subroutine dihotom (a, del, eps,minx,miny)
implicit none
real*8 a, del, eps,minx,miny
real*8 x1,x2,y1,y2,chag
logical Ybig1
! debugging:
real*8 X1A,X1B,alfaA1
common /monomers/ X1A,X1B,alfaA1
!CMC (X1,Ybig1,CMCfun)
! одномерная минимизация методом
! дихотомии
! a - начальная точка
! del - веществ. число,
! начальная величина шага
! a, del, eps - входные параметры
! minx,miny - выходные параметры
chag = del
x1 = a
x2 = x1 + chag
do

```

```

if(dabs(x1 - x2)<eps) exit
call CMC (x1,Ybig1,y1)
! print *, '1 olya!! ', x1,y1,chag,Ybig1,alfaA1
if (Ybig1 .eqv..true.) then
    if(x1<=dabs(2*chag)) chag = chag/2.d0
    x1 = x1 + chag
    x2 = x1 + chag
    cycle
end if
call CMC (x2,Ybig1,y2)
!print *, '2 oppa!! ', x2,y2,chag,Ybig1
if(y1>y2) then
    if(x2<=2*dabs(chag)) chag = chag/2.d0
    x1 = x2
    x2 = x1 + chag
else
    x1 = x2
    chag = - chag/2.d0
    x2 = x1 + chag
end if
end do
miny = y2
minx = (x1 + x2)/2.d0
return
end subroutine
!*****
subroutine indsurf(H,VheadA,VheadB,VtailA,VtailB,CH2lgth,ntailA,ntailB)
! divides surfactant A, surfactant B into head and tail portion
! assigns H-shell thickness and functional groups to surfA, surfB and solvent(water)
IMPLICIT REAL*8 (A-H,O-Z)
integer, parameter :: ch = 9
real*8 MconstA(ch), MconstB(ch)
! 1 2 3 4 5 6 7 8 9
! Nc Vs ls a0 ap delta deltaH logic ddip
REAL*8 T2,Pi,psi,k,e,Nav,sigmaw,sigmaA,sigmaB,sigmasA,sigmasB,epsilon,&
    nzero,krDeb,dchpotCH2,dchpotCH3,Cadd
COMMON /A/ T2,Pi,psi,k,e,Nav,sigmaw,sigmaA,sigmaB,sigmasA,sigmasB,epsilon,MconstA, MconstB,&
    nzero,krDeb,dchpotCH2,dchpotCH3,Cadd
COMMON /S/ X(10),X1(10),X2(10),XX(10),Y(10),GAM1(10),GAM2(10)
COMMON /B/ W(10,10),WT(10,10),WTT(10,10),REDT(10,10)
COMMON /C/ QT,RT,T,TT,R(10),RS(10,10),Q(10),QS(10,10)
COMMON /D/ ZZ,ZR,NK,NG,JX,IJ
COMMON /H/ BLIS(10,10),AL(10),ALI(10),ET(10,10),GP(10)
TT=298.16d0

```

$CH3lgth = 1.50$
 $CH2lgth = 1.265$
 $OHlgth = 1.17$
 $CMIMlgth = 11.0 \quad !10.02 (Cl) \quad !6.02$

$volCH3 = 54.6 + 0.124*(T - 298.)$
 $volCH2 = 26.9 + 0.0146*(T - 298.)$
 $volOH = 25.0*1.0076$
 $volMIM = 25.0*5.1893$

$nAch2 = 1.0$
 $nBch2 = 3.0$
 $PolAlgth = nAch2*CH2lgth + CMIMlgth$
 $PolBlgth = nBch2*CH2lgth + OHlgth$

$volPolarA = volMIM + nAch2*volCH2$
 $volPolarB = volOH + nBch2*volCH2$

! solvent-water:

$vsolv = 30.0$

$nheadA = 1.0 \quad !(only\ ch2-groups\ count)$
 $nheadB = 2.0$

$NcA = MconstA(1)$
 $NcB = MconstB(1)$
 $ntailA = NcA - nheadA \quad !\ all\ polar\ groups\ in\ the\ head:\ 1-polar\ group\ and\ several\ repeated\ CH2\ groups$
 $ntailB = NcB - nheadB$
 $nheadA = nheadA + 1$
 $nheadB = nheadB + 1$
 $VheadA = add(nheadA, volCH2, volMIM)$
 $VheadB = add(nheadB, volCH2, volOH)$
 $H = add(nheadA, CH2lgth, CMIMlgth)$
 $VtailA = add(ntailA, volCH2, volCH3)$
 $VtailB = add(ntailB, volCH2, volCH3)$
 $NK = 3.0$
 $NG = 7.0$
 $ZZ = 10.0$
 $ZR = 0.5*ZZ$

do I=1,NG
do J=1,NG
 $W(I,J) = 0.0d0$
 $WT(I,J) = 0.0d0$
 $WTT(I,J) = 0.0d0$


```

end do
end do

! GROUP #  1   2   3   4   5   6   7
! GROUPS  CH3  CH2  O(OH) H(OH) O(water) 2H(water) MIM

do 1300 I=1,NK
do 1300 J=1,NG
W(J,J)=0.0
! if there's no group in the molecule then Rs=0 and Ls=1
RS(I,J)=0.0
1300  BLIS(I,J)=1.0
! surfactant A (MIM) - head partion
RS(1,1)= 0.0d0          !1.9621
BLIS(1,1)=1.0d0          !0.5
RS(1,2)=nAch2*1.0865
RS(1,7)= 3.1893          !3.1893    works
BLIS(1,7)=0.5

! propanol
RS(2,1)=0.0d0          !1.9621
BLIS(2,1)=1.0d0          !0.5
RS(2,2)=nBch2*1.0865
RS(2,3)=1.0076
BLIS(2,3)=0.9
RS(2,4)=0
BLIS(2,4)=0.5

! solvent : water
RS(3,5)=1.1903
BLIS(3,5)=1.0
RS(3,6)=0.0
BLIS(3,6)=0.0

! CH3- other groups:
W(1,2)=0.0256
W(1,3)=0.2639
W(1,4)=0.2639
W(1,5)=0.0345
W(1,6)=0.0345
W(1,7)=-0.45

! CH2- other groups:
W(2,3)=0.0345  !as w.water    !0.2639    original
W(2,4)=0.0345  !as w.water    !0.2639    original

```

```

W(2,5)=0.0345
W(2,6)=0.0345
W(2,7)=-0.45          ! original -0.45          ! weak repulsion 0.03
! O(OH)- other groups:
W(3,4)=-4.2668
W(3,6)=-4.2693
W(3,7)=-5.5          ! original -3.50          ! strong attraction -5.50 !
attraction - 0.5          ! try ysical: repulsion 2.0          weak

! H(OH)- other groups:
W(4,5)=-5.7439
W(4,7)=0.0          ! 0.0 original 2.0 repulsion -4.5 attraction
! O(H2O)- other groups:
W(5,6)=-4.988
W(5,7)=-3.5
! H(H2O)-mim:
W(6,7)=0.0
! athermal
! W(1,3)=0.
! W(1,4)=0.
! W(2,3)=0. etc.
do 1400 I=1,NG-1
do 1400 J=I+1,NG
1400 W(J,I)=W(I,J)
call param(T,TT)
DO 1000 I=1,NK
R(I)=0.0
Q(I)=0.0
GP(I)=0.0
DO 1000 J=1,NG
QS(I,J)=RS(I,J)-2.0*(BLIS(I,J)+RS(I,J)-1.0)/ZZ
R(I)=R(I)+RS(I,J)
1000 Q(I)=Q(I)+QS(I,J)
DO 1500 I=1,NK
DO 1600 J=1,NG
1600 AL(J)=QS(I,J)/Q(I)
CALL IKS
DO 1500 J=1,NG
1500 GP(I)=GP(I)-ZZ*QS(I,J)*DLOG(XX(J))
! for debugging: test call
! X1(1)=0.5
! X1(2)=0.5
! X1(3)=0.0
! call ACTCF(X1,GAM1)

```

```

!      continue
      return
    end

! Quasichem Free Energy
REAL*8 FUNCTION add(n,unrept,unterm)
Implicit REAL*8 (A-H,O-Z)
      add=(n-1.0)*unrept+unterm
RETURN
END

!*****
SUBROUTINE PARAM(T,TT)
IMPLICIT REAL*8 (A-H,O-Z)
COMMON /B/ W(10,10),WT(10,10),WTT(10,10),REDT(10,10)
COMMON /D/ ZZ,ZR,NK,NG,JX,IJ
COMMON /H/ BLIS(10,10),AL(10),ALI(10),ET(10,10),GP(10)
      C1=TT/T
      C2=C1-1.0
      C1=DLOG(C1)-C2
DO 5 I=1,NG
DO 5 J=1,NG
      5 ET(I,J)=DEXP(-W(I,J)-WT(I,J)*C2-WTT(I,J)*C1)
RETURN
END

!*****
SUBROUTINE IKS
IMPLICIT REAL*8 (A-H,O-Z)
REAL*8 RXX(10)
COMMON /S/ X(10),X1(10),X2(10),XX(10),Y(10),GAM1(10),GAM2(10)
COMMON /D/ ZZ,ZR,NK,NG,JX,IJ
COMMON /H/ BLIS(10,10),AL(10),ALI(10),ET(10,10),GP(10)
      RE=1.0
      J1=0
DO 1 K=1,NG
      XX(K)=RE
      1 RE=RE-1.0D-04
      19 J1=J1+1
DO 2 K=1,NG
      2 XX(K)=DABS(XX(K))
DO 3 K=1,NG
      BB=0.0
DO 4 I=1,NG
      4 BB=BB+AL(I)*XX(I)*ET(K,I)
      3 RXX(K)=1.0/BB
DO 6 K=1,NG

```

```

6 XX(K)=(XX(K)+RXX(K))/2.0
DO 7 K=1,NG
IF (DABS(XX(K)-RXX(K)).GT.1.0D-12) GO TO 19
7 CONTINUE
20 RETURN
END

!*****
Subroutine shell(shape,XA,Rc,gsh)
! input: shape - cyl or sphere
!           XA -core composition
!           Rc- core radius
! output gsh - shell free energy
IMPLICIT REAL*8 (A-H,O-Z)
CHARACTER*3 shape
COMMON /S/ X(10),X1(10),X2(10),XX(10),Y(10),GAM1(10),GAM2(10)
COMMON /B/ W(10,10),WT(10,10),WTT(10,10),REDT(10,10)
COMMON /C/ QT,RT,T,TT,R(10),RS(10,10),Q(10),QS(10,10)
COMMON /D/ ZZ,ZR,NK,NG,JX,IJ
COMMON /H/ BLIS(10,10),AL(10),ALI(10),ET(10,10),GP(10)
COMMON /E/ P,CP,CV,CO,RO
COMMON /Z/ UM,VEC,HEC,GMC,GGA(10)
COMMON /Y/ H,VheadA,VheadB,VtailA,VtailB,CH2lgth
common /out/ ldamp
if(shape.eq.'sph') k=2.0
if(shape.eq.'cyl') k=1.0
      FiA=XA*fisurf(Rc,k,H,VheadA,VtailA)
      FiB=(1.0-XA)*fisurf(Rc,k,H,VheadB,VtailB)
      !FiA=0.0
      fisolv=1.0-FiA-FiB
! calculate mol fractions from volume fractions
      XNR=FiA/R(1)+FiB/R(2)+fisolv/R(3)
      !write (*,*) fisolv,FiA,FiB
      X(3)=fisolv/(R(3)*XNR)
      X(2)=FiB/(R(2)*XNR)
      X(1)=FiA/(R(1)*XNR)
      gloc=ANCOR (Rc,k,H,CH2lgth)
call bondmixshell(gmxbond)
      gsh=gmxbond    !+gloc
if (ldamp.GT.0) then
if(shape.eq.'sph') write (15,'(4(2X,F8.4),3(2X,E12.5))') XA,FiA,FiB,fisolv,gloc, gmxbond, gsh
if(shape.eq.'cyl') write (12,'(4(2X,F8.4),3(2X,E12.5))') XA,FiA,FiB,fisolv,gloc, gmxbond, gsh
endif
return
end

```

```
!*****
```

```
SUBROUTINE bondmixshell(gmxbond)
```

```
IMPLICIT REAL*8 (A-H,O-Z)
```

```
REAL*8 QREM(10),XREM(10),GPR(10),QSREM(10,10),RREM(10),XXRE(10)
```

```
COMMON /S/ X(10),X1(10),X2(10),XX(10),Y(10),GAM1(10),GAM2(10)
```

```
COMMON /B/ W(10,10),WT(10,10),WTT(10,10),REDT(10,10)
```

```
COMMON /C/ QT,RT,T,TT,R(10),RS(10,10),Q(10),QS(10,10)
```

```
COMMON /D/ ZZ,ZR,NK,NG,JX,IJ
```

```
COMMON /H/ BLIS(10,10),AL(10),ALI(10),ET(10,10),GP(10)
```

```
COMMON /E/ P,CP,CV,CO,RO
```

```
COMMON /Z/ UM,VEC,HEC,GMC,GGA(10)
```

```
common /out/ ldamp
```

```
! store composition and parameters:
```

```
    QTR=QT
```

```
    DO 111 J=1,NG
```

```
111    XXRE(J)=XX(J)
```

```
    DO 1 I=1,NK
```

```
    XREM(I)=X(I)
```

```
    RREM(I)=R(I)
```

```
    QREM(I)=Q(I)
```

```
    GPR(I)=GP(I)
```

```
    DO 2 J=1,NG
```

```
2    QSREM(I,J)=QS(I,J)
```

```
1    CONTINUE
```

```
    NKREM=NK
```

```
! infinite dilution X's unsymmetric residual reference act coef. - GP(I)
```

```
    X(1)=0.0
```

```
    X(2)=0.0
```

```
    X(3)=1.0
```

```
    DO 1600 I=1,NK
```

```
    DO 1600 J=1,NG
```

```
1600 AL(J)=QS(I,J)*X(I)/Q(3)
```

```
    CALL IKS
```

```
    DO 1500 I=1,NK
```

```
    GP(I)=0.0
```

```
    DO 1500 J=1,NG
```

```
1500 GP(I)=GP(I)-ZZ*QS(I,J)*DLOG(XX(J))
```

```
!    call ACTCF(X,GAM1)
```

```
! GGA- act coeff with symmetric reference combinatorial and unsymmetric reference residual parts
```

```
! this is OK for solvent
```

```
    call ACTSHELL(XREM,GGA)
```

```
! for surfactants - correct for bonding and different ref.state in combinatorial, see page11
```

```
    AAC=XREM(1)+XREM(2)
```

```

        gmxbond=0.0
        DO 13 I=1,NK-1
13      gmxbond=gmxbond+XREM(I)*Dlog( GGA(I) )/AAC
        call ACTCF(XREM,GAM1)
        gmxwater=XREM(3)*Dlog( GAM1(3)*XREM(3) )/AAC
        if (ldamp.GT.0) write (17,'(3(2X,F8.4),3(2X,E12.5))')
XREM(1),XREM(2),XREM(3),gmxbond,gmxwater,(gmxbond+gmxwater)
        gmxbond=gmxbond+gmxwater
333    format(2X,F10.4,4(4X,E14.6))
        RETURN
        END
!*****
SUBROUTINE ACTSHELL(DX,GAM)
! calculates activity coeff., not LN(Gam) !!!!!!!!!!!!!!!!!!!!!!!!!!!!!!!!!!!!!!!
IMPLICIT REAL*8 (A-H,O-Z)
REAL*8 DX(10),GAM(10)
COMMON /S/ X(10),X1(10),X2(10),XX(10),Y(10),GAM1(10),GAM2(10)
COMMON /C/ QT,RT,T,TT,R(10),RS(10,10),Q(10),QS(10,10)
COMMON /D/ ZZ,ZR,NK,NG,JX,IJ
COMMON /H/ BLIS(10,10),AL(10),ALI(10),ET(10,10),GP(10)
        RT=0.0
        QT=0.0
        !write (*,*) DX(1),DX(2),DX(3),Q(3),R(3)
        !stop
        DO 1 I=1,NK
        RT=RT+R(I)*DX(I)
1      QT=QT+Q(I)*DX(I)
        DO 2 I=1,NK
        A=R(3)/RT
        BB=A*QT/Q(3)
2      GAM(I)=-ZR*Q(I)*DLOG(BB)
        DO 3 L=1,NG
        A=0.0
        DO 4 J=1,NK
4      A=A+QS(J,L)*DX(J)
3      AL(L)=A/QT
        CALL IKS
        DO 5 I=1,NK
        DO 6 L=1,NG
6      GAM(I)=GAM(I)+ZZ*QS(I,L)*DLOG(XX(L))
        GAM(I)=DEXP(GAM(I)+GP(I))
5      continue
        RETURN
END

```

```

!*****
REAL*8 FUNCTION ANCOR (Rc,k,H,SegL)
  Implicit REAL*8 (A-H,O-Z)
  !I-----
  !I SegL-segment length, Rc-core radius; k=2 for sphere, k=1 for cylinder
  !I-----

      k1=k+1.0
      ANCOR=dlog( ((Rc+H)**k1-Rc**k1)/(k1*SegL*Rc**k) )
RETURN
END
!*****

SUBROUTINE ACTCF(DX,GAM)
! calculates activity coeff., not LN(Gam)
IMPLICIT REAL*8 (A-H,O-Z)
REAL*8 DX(10),GAM(10)
COMMON /S/ X(10),X1(10),X2(10),XX(10),Y(10),GAM1(10),GAM2(10)
COMMON /C/ QT,RT,T,TT,R(10),RS(10,10),Q(10),QS(10,10)
COMMON /D/ ZZ,ZR,NK,NG,JX,IJ
COMMON /H/ BLIS(10,10),AL(10),ALI(10),ET(10,10),GP(10)
      RT=0.0
      QT=0.0
DO 1 I=1,NK
      RT=RT+R(I)*DX(I)
      1 QT=QT+Q(I)*DX(I)
DO 2 I=1,NK
      A=R(I)/RT
      BB=A*QT/Q(I)
      2 GAM(I)=-ZR*Q(I)*(1.0-BB+DLOG(BB))+1.0-A+DLOG(A)
DO 3 L=1,NG
      A=0.0
DO 4 J=1,NK
      4 A=A+QS(J,L)*DX(J)
      3 AL(L)=A/QT
CALL IKS
DO 5 I=1,NK
DO 6 L=1,NG
      6 GAM(I)=GAM(I)+ZZ*QS(I,L)*DLOG(XX(L))
      5 GAM(I)=DEXP(GAM(I)+GP(I))
RETURN
END
!*****

REAL*8 FUNCTION fisurf(Rc,k,H,Vhead,Vtail)
Implicit REAL*8 (A-H,O-Z)
!I Rc-core radius; k=2 for sphere, k=1 for cylinder

```

```

k1=k+1.0
VA=H*(1.0+0.5*k*(H/Rc)**2.0+k*(k-1.0)*(H/Rc)**3.0/6.0)
fisurf=Vhead*Rc/(k1*VA*Vtail)
RETURN
END
!*****

```

Б. Программное обеспечение FORTRAN для расчета в приближении НЛПБ электростатических потенциалов и электростатической свободной энергии заряженной диэлектрической капсулы заданной геометрии, находящейся в водно-солевом растворе

! Numerical solution of NLPB OUTSIDE and INSIDE of the charged spherical shell of given radii Rin,Rout [nm] and given dielectric permittivity;

!surface charge density sigma in [C/m^2] at different salinities;

!Calculates the electrostatic free energy

! S, x0, y0 - reduced charge density, reduced R and reduced el.potential at x0 (the surfaces) ; dydx0 - derivative at the charged surfaces

IMPLICIT NONE

DOUBLE PRECISION S, X0, X_INF, Y0_INIT, NP_FACT, M, TOL

C constants declaration

REAL*8 Pi, e0, k, Na,epsVac, epsW, epsM

PARAMETER (Pi=3.141592653589793,e0=0.160217733d-18,

+ k=1.380658d-23,Na = 6.0221367d+23,

& epsVac=8.85418d-12, epsW=78.2d0, epsM=2.1d0)

C other things declaration

DOUBLE PRECISION F_el, y0, Y0_Y_INF, dydx0

REAL*8 T, R, sigma, lgCsalt1, lgCsalt2, lgCsalt,

+ l_B, fact1, fact2, kappa

real*8 lc,vstar,tauin,tauout,tau,Rin,Rout,Naggr,NagIN,NagOUT,

& sigmaIN,sigmaOUT,alp_in,alp_out,S_chden,Qfix_in,Qfix_out,

& Qeff_in,Qeff_out,u_inREM,lckap,M2,S2,NC1,NC2,v_tail,

& Qmob_out,Qmob_in,u_in,u_out,d_tin,d_tout,d_u,Lapla,x_in,xx,dxx

LOGICAL DUMP

COMMON M2,S2,lckap,DUMP

external FCN_EQN,FCN_JAC,FCN_BCIN,FCN_BCOUT,Naggr,S_chden, ! FCNPEQ, FCNPBC

& Lapla,v_tail

C code section

T=298.16d0

DUMP=.FALSE.

! R=3.0d-9

! [m]


```

!      sigma=0.025d0
!      C/m^2

l_B=e0**2/(4.0d0*Pi*epsW*epsVac*k*T)
independent epsW (0.542090973336016e-7*dexp(0.46e-2*T)/T)
fact2=4.0d0*Pi*l_B/e0
fact1=dsqrt(8.0d0*Pi*10**3*Na*l_B)

NC1=8.0d0
! C8-surfactant
NC2=8.0d0

!      vstar =(54.6d0+(NC2-1.0d0)*26.9d0)*1.0d-30      ![A^3] ---> [m^3]
lc =(1.5d0+NC2*1.265d0)*1.0d-10      ![A] ---> [m]
tauin=0.6d0*lc
!      inner thickness of bilayer
tauout=0.6d0*lc
!      outer thickness of bilayer
alp_in=0.52d0
! charge fractions in the inner and outer layers
alp_out=0.56d0
tau=tauin+tauout      ![m]
Rin=5.0d0*lc      ![m]
GIVE RIN
Rout=Rin+tau
vstar=alp_in*v_tail(NC1)+(1.0d0-alp_in)*v_tail(NC1)
NagIN = Naggr((Rin+tauin),Rin,vstar)
vstar=alp_out*v_tail(NC1)+(1.0d0-alp_out)*v_tail(NC1)
NagOUT= Naggr(Rout,(Rin+tauin),vstar)
sigmaIN = S_chden(alp_in,NagIN,Rin)      ![C/m^2] fixed inner charge -
surf charge density at the inner membrane
sigmaOUT = S_chden(alp_out,NagOUT,Rout)      ![C/m^2] fixed outer charge -
surf charge density at the outer membrane
Qfix_in = 4.0d0*Pi*Rin**2*sigmaIN/e0      ! fixed charge in electrons
Qfix_out= 4.0d0*Pi*Rout**2*sigmaOUT/e0
write(*,*) Qfix_in,Qfix_out,(Qfix_in+Qfix_out)

lgCsalt1=dlog10(1.0d-6)      ![M]
lgCsalt2=dlog10(6.0d0)
lgCsalt1=dlog10(1.0d-5)      ![M]
lgCsalt = lgCsalt1
X_INF = 20D0
Y0_INIT = 12      ! do not forget about
anionic (put "-"Y0_INIT) OR cationic (put "+"Y0_INIT) vesicle
M = 2.0D0
NP_FACT=0.1d0
TOL = 1.0D-4
OPEN(unit=20,file='plotin.dat')

```

```

Open(unit=11,file='laplace.dat')
Open(unit=12,file='transme.dat')
WRITE(*,'(1X,2(A9, F10.5))' ) "sigmaIN=",sigmaIN,"Rin=",Rin*1.0d9
WRITE(*,'(1X,2(A9, F10.5))' ) "sigmaOUT=",sigmaOUT,"Rout="
&,Rout*1.0d9
WRITE(20,'(8X, 6(A8,6X),3(A8,3X))' ) "lgCsalt ", "S      ", " x0  "
&," y0      ", "F_el ", "Y0_Y_INF", "delta_S", "Qfix+mob", "Qfix"

do lgCsalt = lgCsalt1, lgCsalt2, 0.1
DUMP=.FALSE.
u_inREM = Y0_INIT
!   sigma=2.1d0*sigmaIN
!           ! effective charge seen from inner
sigma=1.1d0*sigmaIN
!           ! effective charge seen from inner
kappa=fact1*dsqrt(10**lgCsalt)
lckap=lc*kappa
s=fact2*sigma/kappa
112  x0=kappa*Rin
Qeff_in=s*Rin**2*kappa/l_B
!           ! effective charge seen from inner
CALL PB_NUM_IN(S, X0, X_INF, Y0_INIT, NP_FACT, M, TOL, F_el, y0,
!           ! inner domain
calculation
+ Y0_Y_INF, dydx0,Qmob_in)
Qmob_in=4.0d0*Pi*Rin**2*Qmob_in*Na*(10**lgCsalt)*1.0d3/kappa
d_tin=s-fact2*sigmaIN/kappa
d_u = d_tin*(epsW/epsM)*(Rin/Rout)*(Rin-Rout)*kappa
!
transmembrane potential
u_out = y0-d_u
u_in = y0
x_in =x0
d_tout = - d_tin*(Rin/Rout)**2
s=fact2*sigmaOUT/kappa
!fixed outer charge
s = d_tout+s
! effective charge seen from outer
Qeff_out=s*Rout**2*kappa/l_B
x0=kappa*Rout
CALL PB_NUM_OUT(S, X0, X_INF, Y0_INIT, NP_FACT,M, TOL, F_el, y0,
+ Y0_Y_INF, dydx0,Qmob_out)
Qmob_out=4.0d0*Pi*Rout**2*Qmob_out*Na*(10**lgCsalt)*1.0d3/kappa
write(*,*) 'potentials ',(u_out-y0),d_u,(u_in-y0),u_in
write(*,*) 'zero?', dydx0+s

if (dabs(u_out-y0).GT.1.0d-5.OR.dabs(u_in-u_inREM).GT.1.0d-5)then
u_inREM=u_in
d_u=u_in-y0
s = d_u*(epsM/epsW)*(Rout/Rin)/((Rin-Rout)*kappa)+

```

```

& fact2*sigmaIN/kappa
goto 112
else
! print out the result
DUMP=.TRUE.
d_u=u_in-y0
s = d_u*(epsM/epsW)*(Rout/Rin)/((Rin-Rout)*kappa)+
& fact2*sigmaIN/kappa
Qeff_in=s*Rin**2*kappa/l_B
x0=kappa*Rin
CALL PB_NUM_IN(S, X0, X_INF, Y0_INIT, NP_FACT, M, TOL, F_el, y0,
& Y0_Y_INF, dydx0,Qmob_in)
Qmob_in=4.0d0*Pi*Rin**2*Qmob_in*Na*(10**lgCsalt)*1.0d3/kappa
WRITE(20,'(9(F14.5))') lgCsalt, S, x0, y0, F_el,
& Y0_Y_INF, (dydx0-s),(Qfix_in+Qmob_in),Qfix_in

s=d_tout+fact2*sigmaOUT/kappa
Qeff_out=s*Rout**2*kappa/l_B
x0=kappa*Rout
CALL PB_NUM_OUT(S, X0, X_INF, Y0_INIT, NP_FACT,M, TOL, F_el, y0,
& Y0_Y_INF, dydx0,Qmob_out)
write(*,*) 'zero?', dydx0+s
Qmob_out=4.0d0*Pi*Rout**2*Qmob_out*Na*(10**lgCsalt)*1.0d3/kappa
WRITE(20,'(9(F14.5))') lgCsalt, S, x0, y0, F_el,
& Y0_Y_INF, (dydx0+s),(Qfix_out+Qmob_out),Qfix_out
write (12,'(F14.2,F14.8,F14.4)') Rin/lc, (10**lgCsalt), d_u
endif

write(*,*) 'netrality,%',(Qeff_out+Qeff_in-Qfix_in-Qfix_out),
&(Qeff_out-Qfix_out-Qfix_in-Qmob_in),
&(Qeff_in-Qfix_out-Qfix_in-Qmob_out),
&(1.d0+(Qmob_out+Qmob_in)/(Qfix_out+Qfix_in))*100
write(*,*) 'eff. charge IN OUT',Qeff_in,Qeff_out
dxx=(x0-x_in)/2.0d+1
xx=x_in
do while (xx.LE.x0)
write(11,'(1X, 2(F14.7,3X))') xx/lckap, Lapla(xx,u_in,y0,x_in,x0)
xx = xx + dxx
enddo
enddo
!end of salt-cycle
close(20)
close(11)
close (12)
stop
END

```

```

C*****
      SUBROUTINE PB_NUM_IN(S, X0, X_INF, Y0_INIT, NP_FACT, M, TOL, F_el,
+ y0, Y0_Y_INF,dydx0,Qmob)
C
C      This subroutine uses IMSL library to solve one-dimentional Poisson-Boltzamn equation
C
C          
$$d^2y/dx^2 + m/x * dy/dx = \sinh(y)$$

C      between  $x=0$  and  $x=x0$  with boundary conditions  $dy/dx=s$  at  $x=x0$  and  $dy/dx=0$  at  $x=0$ .
C
C      On entry:
C      S - reduced charge density
C      X0 - reduced surface coordimate
C      X_INF - effective infinity in reduced units
C      Y0_INIT - initial approximation for reduced surface potential
C      M - shape-dependent parameter
C      NP_FACT - ratio of initial number of mesh points to the maximal number of mesh points,  $0 < NP\_FACT$ 
< 1
C      TOL - absolute tolerance for solution
C      On exit:
C      F_el - electrostatic free energy per elementary charge
C      y0 - surface potential
C      Y0_Y_INF - ratio of potential at infinity to that at the surface
C      dydx0 - actual value of  $dy/dx$  at  $x=x0$ , must be  $s+dydx0=0$ 
      IMPLICIT NONE
      INTEGER N,MNP,LIW, LW,NINIT,NFINAL,LDYINI,LDYFIN,MXGRID
      PARAMETER      (N=2,MNP=100000,LW=MNP*(3*N*N+6*N+2)+4*N*N+4*N, !      2N(3N      *
MXGRID + 4N + 1) + 2 * MXGRID(7N + 2) + 2N * MXGRID + N + MXGRID
      &      LIW=MNP*(2*N+1)+N*N+4*N+2,LDYINI=N,LDYFIN=N)
      Real*8 S, X0, X_INF, Y0_INIT, NP_FACT, M, TOL
      Real*8 F_el, y0, Y0_Y_INF, dydx0,Qmob,Q
*      .. Scalars in Common ..
      Real*8 M2,S2
      Logical linear,print1,DUMP
      Real*8 F, F0, SUM0,SUM1,lckap
      Real*8 A, B, LOG_A, LOG_B, STEP,TLEFT,TRIGHT,PISTEP
      INTEGER I,J,NP,NLEFT,NCUPBC
      Real*8 X(MNP),YINIT(N,MNP),YFINAL(N,MNP),TFINAL(MNP),ERREST(N)
!      INTEGER      IW(LIW)
*      .. Intrinsic Functions ..
      INTRINSIC      DBLE
      COMMON      M2,S2,lckap,DUMP
      external FCN_EQN,FCN_JAC,FCN_BCIN      ! FCNPEQ, FCNPBC

      OPEN(UNIT=10,FILE='solution.dat')
      M2=M

```

```

      S2=S
      NP = INT(NP_FACT*MNP)

      A = X0
      B = X0+X_INF

C   MESH SECTION
!   y0_init
      X(1)=1.0d-08
      step = A/dble(np-1)
      do i=2,np-1
        X(i)= x(1)+(i-1)*step
      enddo
      X(NP) = A
!      yinit(1,NP) = y0_init
      do i=1,np
        yinit(1,i)=y0_init    !0.001d0*S*(dsinh(x(i))/x(i))*A**2/(A*dccosh(A)-dsinh(A))
!      WRITE(10,*) i, X(i), yinit(1,i)
!      WRITE(10,*) i, X(i),
!      &  S*(dsinh(x(i))/x(i))*A**2/(A*dccosh(A)-dsinh(A))
      enddo

C
C   SOLUTION SECTION
!      x(1)=1.0d0-8
      NLEFT = 1                      ! number of boundary conditions at the left side
      NCUPBC = 0                     ! number of bnd conditions involving both sides
      TOL = .001                     ! relative error control
      TLEFT = x(1)
      TRIGHT = x(np)
      PISTEP = 0.0
      PRINT1 = .false.
      LINEAR = .FALSE.
      NINIT = NP
      MXGRID = MNP

      CALL DBVPFD (FCN_EQN,fcn_jac,fcn_bcin,FCN_EQN,FCN_BCIN, N,
&  NLEFT, NCUPBC, TLEFT, TRIGHT, PISTEP, TOL,
&  NINIT, X, YINIT, LDYINI, LINEAR, PRINT1,
&  MXGRID, NFINAL, TFINAL, YFINAL, LDYFIN, ERREST)

! FCNEQN — User-supplied SUBROUTINE to evaluate derivatives. The usage is CALL FCNEQN (N, T, Y,
P, DYDT), where
!N — Number of differential equations. (Input)
!T — Independent variable, t. (Input)
!Y — Array of size N containing the dependent variable values, y(t). (Input)

```

!P — Continuation parameter, p. (Input)

!DYDT — Array of size N containing the derivatives $y'(t)$. (Output)

!The name FCNEQN must be declared EXTERNAL in the calling program.

!FCNJAC — User-supplied SUBROUTINE to evaluate the Jacobian. The usage is CALL FCNJAC (N, T, Y, P, DYPDY), where

!N — Number of differential equations. (Input)

!T — Independent variable, t. (Input)

!Y — Array of size N containing the dependent variable values. (Input)

!P — Continuation parameter, p. (Input)

!DYPDY — N by N array containing the partial derivatives $a_{i,j} = df_i/dy_j$ evaluated at (t, y). The values $a_{i,j}$ are returned in DYPDY(i, j). (Output)

!The name FCNJAC must be declared EXTERNAL in the calling program.

!FCNBC — User-supplied SUBROUTINE to evaluate the boundary conditions. The usage is CALL FCNBC (N, YLEFT, YRIGHT, P, H), where

!N — Number of differential equations. (Input)

!YLEFT — Array of size N containing the values of the dependent variable at the left endpoint. (Input)

!YRIGHT — Array of size N containing the values of the dependent variable at the right endpoint. (Input)

!P — Continuation parameter, p. (Input)

!See Comment 3.

!H — Array of size N containing the boundary condition residuals. (Output)

!The boundary conditions are defined by $h_i = 0$; for $i = 1, \dots, N$. The left endpoint conditions must be defined first, then, the conditions involving both endpoints, and finally the right endpoint conditions.

!The name FCNBC must be declared EXTERNAL in the calling program.

!FCNPEQ — User-supplied SUBROUTINE to evaluate the partial derivative of y' with respect to the parameter p. The usage is CALL FCNPEQ (N, T, Y, P, DYPDP), where

!N — Number of differential equations. (Input)

!T — Dependent variable, t. (Input)

!Y — Array of size N containing the dependent variable values. (Input)

!P — Continuation parameter, p. (Input)

!See Comment 3.

!DYPDP — Array of size N containing the partial derivatives $a_{i,j} = \partial f_i / \partial y_j$ evaluated at (t, y). The values $a_{i,j}$ are returned in DYPDP(i, j). (Output)

!The name FCNPEQ must be declared EXTERNAL in the calling program.

!FCNPBC — User-supplied SUBROUTINE to evaluate the derivative of the boundary conditions with respect to the parameter p. The usage is CALL FCNPBC (N, YLEFT, YRIGHT, P, H), where

!N — Number of differential equations. (Input)

!YLEFT — Array of size N containing the values of the dependent variable at the left endpoint. (Input)

!YRIGHT — Array of size N containing the values of the dependent variable at the right endpoint. (Input)

!P — Continuation parameter, p. (Input)

!See Comment 3.

!H — Array of size N containing the derivative of f_i with respect to p. (Output)

!The name FCNPBC must be declared EXTERNAL in the calling program.

!N — Number of differential equations. (Input)

!NLEFT — Number of initial conditions. (Input)

!The value NLEFT must be greater than or equal to zero and less than N.

!NCUPBC — Number of coupled boundary conditions. (Input)

!The value NLEFT + NCUPBC must be greater than zero and less than or equal to N.

!TLEFT — The left endpoint. (Input)

!TRIGHT — The right endpoint. (Input)

!PISTEP — Initial increment size for p. (Input)

!If this value is zero, continuation will not be used in this problem. The routines FCNPEQ and FCNPBC will not be called.

!TOL — Relative error control parameter. (Input)

!The computations stop when $\text{ABS}(\text{ERROR}(J, I)) / \text{MAX}(\text{ABS}(Y(J, I)), 1.0) \cdot \text{LT} \cdot \text{TOL}$ for all $J = 1, \dots, N$ and $I = 1, \dots, \text{NGRID}$. Here, $\text{ERROR}(J, I)$ is the estimated error in $Y(J, I)$.

!NINIT — Number of initial grid points, including the endpoints. (Input)

!It must be at least 4.

!TINIT — Array of size NINIT containing the initial grid points. (Input)

!YINIT — Array of size N by NINIT containing an initial guess for the values of Y at the points in TINIT. (Input)

!LDYINI — Leading dimension of YINIT exactly as specified in the dimension statement of the calling program. (Input)

!LINEAR — Logical .TRUE. if the differential equations and the boundary conditions are linear. (Input)

!PRINT — Logical .TRUE. if intermediate output is to be printed. (Input)

!MXGRID — Maximum number of grid points allowed. (Input)

!NFINAL — Number of final grid points, including the endpoints. (Output)

!TFINAL — Array of size MXGRID containing the final grid points. (Output)

!Only the first NFINAL points are significant.

!YFINAL — Array of size N by MXGRID containing the values of Y at the points in TFINAL. (Output)

!LDYFIN — Leading dimension of YFINAL exactly as specified in the dimension statement of the calling program. (Input)

!ERREST — Array of size N. (Output)

!ERREST(J) is the estimated error in Y(J).

!2. Informational errors

!Type Code

! 4	1	More than MXGRID grid points are needed to solve the problem.
! 4	2	Newton's method diverged.
! 3	3	Newton's method reached roundoff error level.

!3. If the value of PISTEP is greater than zero, then the routine BVPFD assumes that the user has embedded the problem into a one-parameter family of problems:

! $y\ddot{y} = y\ddot{y}(t, y, p)$

! $h(y_{\text{tleft}}, y_{\text{tright}}, p) = 0$

!such that for $p = 0$ the problem is simple. For $p = 1$, the original problem is recovered. The routine BVPFD automatically attempts to increment from $p = 0$ to $p = 1$. The value PISTEP is the beginning increment used in this continuation. The increment will usually be changed by routine BVPFD, but an arbitrary minimum of 0.01 is imposed.

```

      Y0=YFINAL(1,NFINAL)
      Y0_Y_INF=YFINAL(1,1)/YFINAL(1,NFINAL)
      dydx0=YFINAL(2,NFINAL)
      WRITE(*,'(1X,A8,2(2X,F14.7))')'dy/dx|0=',
        &          YFINAL(1,NFINAL),YFINAL(2,NFINAL)
      if (DUMP) WRITE (10,'(1X, 2(F14.7, 5X), F14.7)')
        &      (X(I)/lckap,(YFINAL(J,I),J=1,N),I=1,NFINAL)
      ! writing to file when 1
C   INTEGRATION SECTION
C

```

```

      SUM0=0.0D0
      SUM1=0.0d0
      I=1
      Q = DSINH(YFINAL(1,I))*(X(I)/A)**M

      F0=(0.5D0*YFINAL(2,I)**2+YFINAL(1,I)*DSINH(YFINAL(1,I))
&-DCOSH(YFINAL(1,I))+1.0d0)*(X(I)/A)**M
      DO I=2,NFINAL
      F=(0.5D0*YFINAL(2,I)**2+YFINAL(1,I)*DSINH(YFINAL(1,I))
&-DCOSH(YFINAL(1,I))+1.0d0)*(X(I)/A)**M
      SUM0=SUM0+(X(I)-X(I-1))*(F+F0)
      F0=F
      Qmob=      DSINH(YFINAL(1,I))*(X(I)/A)**M
      SUM1= SUM1+(X(I)-X(I-1))*(Qmob+Q)
      Q = Qmob
      ENDDO
      Qmob=-SUM1
      F_el=SUM0/(2.0D0*S)
      CLOSE(UNIT=10)
      END

```

C*****

```

      subroutine FCN_BCIN(N, YLEFT, YRIGHT, P, H)
      implicit none
      integer N
      real*8 YLEFT(N),YRIGHT(N),H(N),P,M,S
      Common M,S

```

!H — Array of size N containing the boundary condition residuals. (Output)

!The boundary conditions are defined by $h_i = 0$; for $i = 1, \dots, N$. The left endpoint conditions must be defined first,

!then, the conditions involving both endpoints, and finally the right endpoint conditions.

!The name FCNBC must be declared EXTERNAL in the calling program.

```

      H(1)=YLEFT(2)      !left boundary - derivative
      H(2)=YRIGHT(2)-S    !Y2|inf=0 derivative
      return
      end

```



```

C*****
      real*8 function Lapla(x,uin,uout,xin,xout)
      implicit none
      real*8 x,uin,uout,xin,xout
      Lapla = xout*(uin-uout)*(1.0d0-xin/x)/(xin-xout)+uin
      return
      end function
C*****
SUBROUTINE PB_NUM_OUT(S,X0, X_INF, Y0_INIT,NP_FACT, M, TOL, F_el, + y0, Y0_Y_INF, dydx0,
Qmob)
C      This subroutine uses IMSL library to solve one-dimentional Poisson-Boltzmann equation
C      
$$d^2y/dx^2 + m/x * dy/dx = \sinh(y)$$

C      between  $x=x_0$  and  $x=\text{infinity}$  with boundary conditions  $dy/dx=-s$  at  $x=x_0$  and  $dy/dx=0$  at  $x=\text{infinity}$ .
C
C      On entry:
C      S - reduced charge density
C      X0 - reduced surface coordinate
C      X_INF - effective infinity in reduced units
C      Y0_INIT - initial approximation for reduced surface potential
C      M - shape-dependent parameter
C      NP_FACT - ratio of initial number of mesh points to the maximal number of mesh points,  $0 < NP\_FACT$ 
C
C      TOL - absolute tolerance for solution
C      On exit:
C      F_el - electrostatic free energy per elementary charge
C      y0 - surface potential
C      Y0_Y_INF - ratio of potential at infinity to that at the surface
C      dydx0 - actual value of  $dy/dx$  at  $x=x_0$ , must be  $s+dydx_0=0$ 
      IMPLICIT NONE
      INTEGER N,MNP,LIW, LW,NINIT,NFINAL,LDYINI,LDYFIN,MXGRID
      PARAMETER (N=2,MNP=10000,LW=MNP*(3*N*N+6*N+2)+4*N*N+4*N, ! 2N(3N
MXGRID + 4N + 1) + 2 * MXGRID(7N + 2) + 2N * MXGRID + N + MXGRID
      &      LIW=MNP*(2*N+1)+N*N+4*N+2,LDYINI=N,LDYFIN=N)
      Real*8 S, X0, X_INF, Y0_INIT, NP_FACT, M, TOL
      Real*8 F_el, y0, Y0_Y_INF, dydx0
      *      .. Scalars in Common ..
      Real*8 M2,S2,lckap
      Logical linear,print1,DUMP
      Real*8 F, F0, SUM0, SUM1, Qmob,Q
      Real*8 A, B, LOG_A, LOG_B, STEP,TLEFT,TRIGHT,PISTEP
      INTEGER I, J, NP,NLEFT,NCUPBC

      Real*8 X(MNP),YINIT(N,MNP),YFINAL(N,MNP),TFINAL(MNP),ERREST(N)
      !      INTEGER      IW(LIW)

```

```

* .. Intrinsic Functions ..
INTRINSIC      DBLE
COMMON        M2,S2,lckap,DUMP
external FCN_EQN,FCN_JAC,FCN_BCOUT  ! FCNPEQ, FCNPBC

OPEN(UNIT=10,FILE='solution.dat',access='append')
      M2=M
      S2=S
NP = INT(NP_FACT*MNP)

A = X0
      B = X0+X_INF
C  MESH SECTION
C
C  X(1) = A
C  DO I = 2, NP - 1
C      X(I) = (DBLE(NP-I)*A+DBLE(I-1)*B)/DBLE(NP-1)
C  ENDDO
C  X(NP) = B

      LOG_A = DLOG(A)
      LOG_B = DLOG(B)
      STEP = (LOG_B-LOG_A)/DBLE(NP-1)
X(1) = A
      yinit(1,1) = y0_init
DO I = 2, NP - 1
      X(I) = DEXP(LOG_A + (I-1)*STEP)
      yinit(1,i) = y0_init*dexp(A-x(i))
C      WRITE(10,*) I, X(I), yinit(1,i)
ENDDO
X(NP) = B
      yinit(1,NP) = 0.0d0

C  SOLUTION SECTION
      NLEFT = 1                                ! number of boundary conditions at the left side
NCUPBC = 0                                     ! number of bnd conditions involving both sides
TOL = .001                                     ! relative error control
TLEFT = A
TRIGHT = B
PISTEP = 0.0
PRINT1 = .FALSE.
LINEAR = .FALSE.
      NINIT = NP
      MXGRID = MNP

```

```

      CALL DBVPFD (FCN_EQN,fcn_jac,fcn_bcout,FCN_EQN,FCN_BCOUT, N,
&    NLEFT, NCUPBC, TLEFT, TRIGHT, PISTEP, TOL,
&    NINIT, X, YINIT, LDYINI, LINEAR, PRINT1,
&    MXGRID, NFINAL, TFINAL, YFINAL, LDYFIN, ERREST)

```

! FCNEQN — User-supplied SUBROUTINE to evaluate derivatives. The usage is CALL FCNEQN (N, T, Y, P, DYDT), where

```

!N — Number of differential equations. (Input)
!T — Independent variable, t. (Input)
!Y — Array of size N containing the dependent variable values, y(t). (Input)
!P — Continuation parameter, p. (Input)
!DYDT — Array of size N containing the derivatives  $y'(t)$ . (Output)
!The name FCNEQN must be declared EXTERNAL in the calling program.

```

!FCNJAC — User-supplied SUBROUTINE to evaluate the Jacobian. The usage is CALL FCNJAC (N, T, Y, P, DYPDY), where

```

!N — Number of differential equations. (Input)
!T — Independent variable, t. (Input)
!Y — Array of size N containing the dependent variable values. (Input)
!P — Continuation parameter, p. (Input)
!DYPDY — N by N array containing the partial derivatives  $a_{i,j} = df_i/dy_j$  evaluated at (t, y). The values  $a_{i,j}$  are
returned in DYPDY(i, j). (Output)
!The name FCNJAC must be declared EXTERNAL in the calling program.

```

!FCNBC — User-supplied SUBROUTINE to evaluate the boundary conditions. The usage is CALL FCNBC (N, YLEFT, YRIGHT, P, H), where

```

!N — Number of differential equations. (Input)
!YLEFT — Array of size N containing the values of the dependent variable at the left endpoint. (Input)
!YRIGHT — Array of size N containing the values of the dependent variable at the right endpoint. (Input)
!P — Continuation parameter, p. (Input)
!See Comment 3.
!H — Array of size N containing the boundary condition residuals. (Output)
!The boundary conditions are defined by  $h_i = 0$ ; for  $i = 1, \dots, N$ . The left endpoint conditions must be defined
first, then, the conditions involving both endpoints, and finally the right endpoint conditions.
!The name FCNBC must be declared EXTERNAL in the calling program.

```

!FCNPEQ — User-supplied SUBROUTINE to evaluate the partial derivative of y' with respect to the parameter p. The usage is CALL FCNPEQ (N, T, Y, P, DYPDP), where

```

!N — Number of differential equations. (Input)
!T — Dependent variable, t. (Input)
!Y — Array of size N containing the dependent variable values. (Input)
!P — Continuation parameter, p. (Input)
!See Comment 3.
!DYPDP — Array of size N containing the partial derivatives  $a_{i,j} = \partial f_i / \partial y_j$  evaluated at (t, y). The values  $a_{i,j}$ 
are returned in DYPDP(i, j). (Output)
!The name FCNPEQ must be declared EXTERNAL in the calling program.

```

!FCNPBC — User-supplied SUBROUTINE to evaluate the derivative of the boundary conditions with respect to the parameter p . The usage is CALL FCNPBC (N, YLEFT, YRIGHT, P, H), where

!N — Number of differential equations. (Input)

!YLEFT — Array of size N containing the values of the dependent variable at the left endpoint. (Input)

!YRIGHT — Array of size N containing the values of the dependent variable at the right endpoint. (Input)

!P — Continuation parameter, p . (Input)

!See Comment 3.

!H — Array of size N containing the derivative of f_i with respect to p . (Output)

!The name FCNPBC must be declared EXTERNAL in the calling program.

!N — Number of differential equations. (Input)

!NLEFT — Number of initial conditions. (Input)

!The value NLEFT must be greater than or equal to zero and less than N.

!NCUPBC — Number of coupled boundary conditions. (Input)

!The value NLEFT + NCUPBC must be greater than zero and less than or equal to N.

!TLEFT — The left endpoint. (Input)

!TRIGHT — The right endpoint. (Input)

!PISTEP — Initial increment size for p . (Input)

!If this value is zero, continuation will not be used in this problem. The routines FCNPEQ and FCNPBC will not be called.

!TOL — Relative error control parameter. (Input)

!The computations stop when $\text{ABS}(\text{ERROR}(J, I))/\text{MAX}(\text{ABS}(Y(J, I)), 1.0) \cdot \text{LT} \cdot \text{TOL}$ for all $J = 1, \dots, N$ and $I = 1, \dots, \text{NGRID}$. Here, $\text{ERROR}(J, I)$ is the estimated error in $Y(J, I)$.

!NINIT — Number of initial grid points, including the endpoints. (Input)

!It must be at least 4.

!TINIT — Array of size NINIT containing the initial grid points. (Input)

!YINIT — Array of size N by NINIT containing an initial guess for the values of Y at the points in TINIT. (Input)

!LDYINI — Leading dimension of YINIT exactly as specified in the dimension statement of the calling program. (Input)

!LINEAR — Logical .TRUE. if the differential equations and the boundary conditions are linear. (Input)

!PRINT — Logical .TRUE. if intermediate output is to be printed. (Input)

!MXGRID — Maximum number of grid points allowed. (Input)

!NFINAL — Number of final grid points, including the endpoints. (Output)

!TFINAL — Array of size MXGRID containing the final grid points. (Output)

!Only the first NFINAL points are significant.

!YFINAL — Array of size N by MXGRID containing the values of Y at the points in TFINAL. (Output)

!LDYFIN — Leading dimension of YFINAL exactly as specified in the dimension statement of the calling program. (Input)

!ERREST — Array of size N. (Output)

!ERREST(J) is the estimated error in $Y(J)$.

!2. Informational errors

!Type Code

! 4 1 More than MXGRID grid points are needed to solve the problem.

```

! 4      2      Newton's method diverged.
! 3      3      Newton's method reached roundoff error level.

```

!3. If the value of PISTEP is greater than zero, then the routine BVPFD assumes that the user has embedded the problem into a one-parameter family of problems:

```

!y'' = y''(t, y, p)
!h(ytleft, ytright, p) = 0

```

!such that for $p = 0$ the problem is simple. For $p = 1$, the original problem is recovered. The routine BVPFD automatically attempts to increment from $p = 0$ to $p = 1$. The value PISTEP is the beginning increment used in this continuation. The increment will usually be changed by routine BVPFD, but an arbitrary minimum of 0.01 is imposed.

```

Y0=YFINAL(1,1)
Y0_Y_INF=YFINAL(1,NFINAL)/YFINAL(1,1)
dydx0=YFINAL(2,1)
WRITE(*,'(1X, A8,2(2X,F14.7))')dy/dx|0=',YFINAL(1,1),YFINAL(2,1)

if(DUMP) WRITE (10,'(1X, 2(F14.7, 5X), F14.7)')           ! writing to file when 1
+   (X(I)/lckap,(YFINAL(J,I),J=1,N),I=1,NFINAL)
C  INTEGRATION SECTION
SUM0=0.0D0
SUM1=0.0d0
I=1
Q = DSINH(YFINAL(1,I))*(X(I)/X(1))**M

F0=(0.5D0*YFINAL(2,I)**2+YFINAL(1,I)*DSINH(YFINAL(1,I))
&-DCOSH(YFINAL(1,I))+1)*(X(I)/X(1))**M
DO I=2,NFINAL
F=(0.5D0*YFINAL(2,I)**2+YFINAL(1,I)*DSINH(YFINAL(1,I))
&-DCOSH(YFINAL(1,I))+1)*(X(I)/X(1))**M
SUM0=SUM0+(X(I)-X(I-1))*(F+F0)
F0=F
Qmob=DSINH(YFINAL(1,I))*(X(I)/X(1))**M
SUM1=SUM1+(X(I)-X(I-1))*(Qmob+Q)
Q = Qmob
ENDDO
Qmob = -SUM1
F_el=SUM0/(2.0D0*S)
CLOSE(UNIT=10)
return
END

```

```

C*****

```

```

subroutine FCN_EQN(N, X, Y, P, DYDX)
implicit none
integer N
real*8 Y(N),DYDX(N),X,P,M,S

```

```

Common M,S
DYDX(1)=Y(2)
DYDX(2)= DSINH(Y(1))-M*Y(2)/X
return
end
C*****
subroutine FCN_JAC(N, X, Y, P, DYDPY)
implicit none
integer N
real*8 Y(N),DYDPY(N,N),X,P,M,S
Common M,S
DYDPY(1,1)=0.0d0
DYDPY(1,2)=1.0d0
DYDPY(2,1)=DCOSH(Y(1))
DYDPY(2,2)=-M/X
return
end
C*****
subroutine FCN_BCOUT(N, YLEFT, YRIGHT, P, H)
implicit none
integer N
real*8 YLEFT(N),YRIGHT(N),H(N),P,M,S
Common M,S
!H — Array of size N containing the boundary condition residuals. (Output)
!The boundary conditions are defined by  $h_i = 0$ ; for  $i = 1, \dots, N$ . The left endpoint conditions must be defined
first,
!then, the conditions involving both endpoints, and finally the right endpoint conditions.
!The name FCNBC must be declared EXTERNAL in the calling program.
H(1)=YLEFT(2)+S !left boundary - derivative
H(2)=YRIGHT(2) !Y2|inf=0 derivative
return
end
C*****
real*8 function Naggr(Rout,Rin,vstar)
implicit none
real*8 vstar, Rin, Rout,Pi
PARAMETER (Pi=3.141592653589793d0)
Naggr= 4.0d0*Pi*(Rout**3-Rin**3)/(3.0d0*vstar)
return
end function
C*****
real*8 function S_chden(alp,Nag,R)
implicit none
real*8 alp, R, Nag,Pi,e0

```

```

PARAMETER (Pi=3.141592653589793,e0=0.160217733d-18)
S_chden= (2.0d0*alp-1.0d0)*Nag*e0/(4.0d0*Pi*R**2)
return
end function

C*****
real*8 function v_tail(NC)
implicit none
real*8 NC
v_tail=(54.6d0+(NC-1.0d0)*26.9d0)*1.0d-30
return
end function

C*****

```